

NILU  
TEKNISK NOTAT 14/77  
REFERANSE: 00475  
DATO: NOVEMBER 1977

NORDFORSK  
ATMOSFÆRISK KORROSJON MED SPESIELL  
HENSYN TIL FORHOLDENE PÅ BYGNINGER

Delprosjekt 1.3: Bestemmelse av  
korrosionen under korte forurensnings-  
episoder utendørs

SVEIN HAAGENRUD

NORSK INSTITUTT FOR LUFTFORSKNING  
POSTBOKS 130, 2001 LILLESTRØM  
NORGE

INNHOLDSFORTEGNELSE

	Side
<u>SYMBOLER</u> .....	5
<u>Korrosjon</u> .....	5
<u>Fuktighet</u> .....	5
<u>Nedbør</u> .....	6
<u>Nedbørkjemi</u> .....	6
<u>Luft</u> .....	7
1 <u>SAMMENDRAG</u> .....	9
2 <u>KONKLUSJONER</u> .....	10
2.1 <u>Ulegert stål</u> .....	10
2.2 <u>Rusttregt stål</u> .....	11
2.3 <u>Sink</u> .....	11
2.4 <u>Sink - døgnmålinger med elektrokjemisk Zn/Zn celle</u> .....	12
3 <u>INNLEDNING</u> .....	14
4 <u>MÅLINGER OG ANALYSER</u> .....	15
4.1 <u>Korrosjon</u> .....	15
4.1.1 <u>Vekttap - månedlig og 1,3,6,12,24,36 og 60 måneders eksponering</u> .....	15
4.1.2 <u>Elektrokjemisk metode - Zn/Zn-celle</u> .....	15
4.2 <u>Meteorologiske og atmosfærisk/kjemiske målinger</u> .....	17
4.2.1 <u>I luft</u> .....	17
4.2.2 <u>I nedbør</u> .....	18
4.3 <u>Regresjonsanalyser</u> .....	18
5 <u>ULEGERT STÅL - RESULTATER OG DISKUSJON</u> .....	19
5.1 <u>Resultater</u> .....	19
5.1.1 <u>Månedlig og 1,3,6,12 og 24 måneders eksponering</u> .....	19
5.1.2 <u>Regresjonsanalyser - månedskorrosjon</u> .....	20
5.2 <u>Diskusjon</u> .....	22
5.2.1 <u>Miljøaggressivitet</u> .....	22
5.2.2 <u>Regresjonsanalyser - månedskorrosjon som funksjon av miljøet</u> .....	22
<u>Nedbørkjvalitet</u> .....	22
<u>Sur nedbør</u> .....	23
<u>SO<sub>2</sub> i luft</u> .....	25

	Side
6 <u>RUSTTREGT STÅL</u> .....	28
6.1 <u>Månedlig og 1,3,6,12 og 24 måneders eksponering</u>	28
7 <u>SINK - RESULTATER OG DISKUSJON</u> .....	28
7.1 <u>Resultater</u> .....	28
7.1.1 <u>Månedlig og 1,3,6,12 og 24 måneders eksponering</u>	29
7.1.2 <u>Regresjonsanalyser månedskorrosjon som funksjon av miljøet</u>	29
7.2 <u>Diskusjon</u> .....	31
7.2.1 <u>Miljøaggressivitet</u> .....	31
7.2.2 <u>Regresjonsanalyse - månedskorrosjon som funksjon av miljøet</u> .....	31
8 <u>DØGNMÅLINGER MED ELEKTROKJEMISK Zn/Zn-celle - RESULTATER OG DISKUSJON</u> .....	32
8.1 <u>Resultater</u> .....	32
8.1.1 <u>Døgnverdier - Zn/Zn-celle</u> .....	32
8.1.2 <u>Kvantitativ cellefaktor - månedlige vekttap fra samtidig eksponerte vektplater og elektrokjemisk celle</u> .....	35
<u>Vektplater</u> .....	35
<u>Elektrokjemisk celle</u> .....	35
<u>Kvantitativ cellefaktor</u> .....	36
8.1.3 <u>Regresjonsanalyser</u> .....	37
<u>Totalstrøm</u> .....	37
<u>Våttiden</u> .....	40
<u>Tørrstrøm</u> .....	41
8.2 <u>Diskusjon</u> .....	41
8.2.1 <u>Funksjonsdyktighet/kortslutningseffekter</u> .....	41
8.2.2 <u>Våttiden</u> .....	43
8.2.3 <u>Korrasjonen uttrykt ved totalstrømmen</u> .....	44
<u>SO<sub>2</sub></u> .....	44
9 FORSLAG TIL VIDERE UNDERSØKELSER .....	45
REFERANSELISTE .....	46
Bilag 1 .....	49
Bilag 2: Ulegert stål .....	55
Bilag 3: Zink .....	93
Bilag 4: Zink - døgnmålinger med elektronisk Zn/Zn-cell .....	119

## SYMBOLER

### Korrosjon

- |                       |   |
|-----------------------|---|
| STÅL (ev.med indeks)  | - korrosjonshastighet av stål<br>(g/m <sup>2</sup> ), indeks angir antall<br>observasjoner.         |
| SINK (ev. med indeks) | - korrosjonshastighet av sink<br>(g/m <sup>2</sup> ) indeks angir antall<br>observasjoner.          |
| ZN                    | - korrosjonshastighet av sink.  |
| SMEV                  | - "våt" cellestrømmengde<br>(A · sek · 10 <sup>-4</sup> ).<br>Cellestrømstyrken > 1 µA.             |
| SMET                  | - "tørr" cellestrømmengde<br>(A · sek · 10 <sup>-4</sup> )<br>Cellestrømstyrken < 1 µA.             |
| STOT                  | - total cellestrømmengde<br>(A · sek · 10 <sup>-4</sup> ) for Zn/Zn-<br>cellen (STOT= SMEV + SMET). |
| VÅTT                  | - våttiden (timer) registrert<br>på strømintegratoren som den<br>tiden strømstyrken er > 1 µA.      |

## TEMPERATUR

- |       |   |
|-------|---|
| TMID  | - månedlig eller døgnlig middel-<br>temperatur, 0°C.  |
| T < 0 | - antall timer under 0°C pr.<br>måned eller pr. døgn. |
| D < 0 | - antall døgn under 0°C pr. måned.                    |

### FUKTIGHET

RELF	-	månedlig midlere relativ fuktighet (%)	
FMID	-	døgnlig	" " "
T85	-	antall timer pr. måned med relativ fuktighet > 85%	
F > 85	-	" " "	døgn " " " "
T90	-	" " "	måned " " " 90%
F > 90	-	" " "	døgn " " " "
T95	-	" " "	måned " " " 95%
F > 95	-	" " "	døgn " " " "

### NEDBØR

TNED	-	antall timer nedbør pr. måned eller pr.døgn.
DNED	-	antall døgn med nedbør pr. måned.
MMP	-	mm nedbør pr. måned målt med pluviograf
MMPL	-	" " " døgn " " "
MMN	-	" " " måned med NILUs nedbørsamler.
MMOE	-	" " " døgn " " " "

### NEDBØRKJEMI

PH	-	surhetsgrad i nedbøren
NH <sub>4</sub>	-	ammonium i nedbøren (g/m <sup>2</sup> )
CA	-	kalsium i nedbøren (g/m <sup>2</sup> )
MG	-	magnesium i nedbøren (g/m <sup>2</sup> )
SO <sub>4</sub>	-	sulfat i nedbøren (g/m <sup>2</sup> )
Cl	-	klorid i nedbøren (g/m <sup>2</sup> )
NO <sub>3</sub>	-	nitrat i nedbøren (g/m <sup>2</sup> )

Dersom symbollet etterfølges av N betyr dette konsentrasjon i nedbøren, ( $\mu\text{g}/\text{ml}$ ), mens B eller ingen angivelse betyr belastning ( $\text{g}/\text{m}^2$ ).

H<sup>+</sup> - sterk syre ( $\mu\text{ekv/l}$ )  
MMS - mm nedbør med pH < 4.05 pr. måned  
MS85 - produktet av MMS og timer > 85% relativ fuktighet  
MS95 - " " " " " > 95% " "  
MSTN - " " " " " timer nedbør.

LUFT

SO<sub>2</sub> - svoveldioksydkonsentrasjon pr. måned eller  
pr. døgn ( $\mu\text{g/m}^3$ )  
SO<sub>4</sub>L - sulfatkonsentrasjon pr. måned eller pr. døgn  
( $\mu\text{g/m}^3$ )

NORDFORSK  
ATMOSFÆRISK KORROSJON MED SPESIELL  
HENSYN TIL FORHOLDENE PÅ BYGNINGER

Delprosjekt 1.3: Bestemmelse av korrosjonen under korte forurensnings-episoder utendørs

1 SAMMENDRAG

For å undersøke innvirkningen av langtransporterte luftforurensninger på korrosjonen av de vanligste bruksmetaller har NILU siden oktober 1974 utført korrosjon- og miljømålinger på målestasjonen Birkenes på Sørlandet.

Målingene som omhandles i den foreliggende rapport omfatter:

- Bestemmelse av meteorologiske og atmosfærisk/kjemiske parametre i luft og nedbør på døgn- og månedsbasis
- Bestemmelse av korrosjonen av ulegert stål, rusttregt stål og sink målt som vekttap på måneds- og årsbasis
- Bestemmelse av korrosjonen av sink på døgnbasis ved kontinuerlig registrering og integrering av strømmen i elektrokjemiske Zn/Zn-cellere.

Måledataene er analysert ved hjelp av regnemaskin for å bestemme sammenhengen mellom korrosjonshastigheter og miljø, og med spesiell vekt på eventuell innvirkning av langtransporterte luftforurensninger.

Den elektrokjemiske cellemetodikken er gitt en relativt grunnleggende behandling fordi den praktiske anvendelsen av denne er forholdsvis ny.

Det foreliggende datamateriale er meget omfattende, og bør arbeides ytterligere. En vil også foreslå kompletterende undersøkelser, både på Birkenes og to andre bakgrunnsstasjoner.

2 KONKLUSJONER

2.1 Ulegert stål

- 1) Basert på 1- og 2-års målinger for perioden oktober 1974 til oktober 1976 må korrosjonsmiljøet for ulegert stål på Birkenes i sammenligning med utenlandske målinger karakteriseres som middels aggressiv landatmosfære.
- 2) Korrosjonshastigheten avtar med tiden. For 25 månedsekspoleringer er gjennomsnittlig månedskorrosjon  $27 \text{ g/m}^2$  måned, for 1 år  $14 \text{ g/m}^2$  måned og for 2 år ca.  $10 \text{ g/m}^2$  måned.
- 3) November 1974 har en korrosjonshastighet som tilsvarer sterkt sur industriatmosfære ( $102 \text{ g/m}^2$ ). Nest høyeste månedskorrosjon er februar 1976 som har  $41 \text{ g/m}^2$ , mens september 1975, mai og oktober 1976 også er høyere enn  $30 \text{ g/m}^2$ . Ellers varierer månedskorrosjonen lite.
- 4) Regresjonsanalyse viser at det er nært sammenheng mellom månedlig korrosjonshastighet og miljøet. For samtlige 25 måneder kan 81% av variasjonen i observerte verdier forklares av relasjonen:

$$\text{STÅL}^{2.5} = 2.3\text{MS}\cdot 95 + 0.96 \text{ SO}_2 + 0.01 \text{ Cl}^- + 12.0 \quad (\text{R}=0.90)$$

Månedskorrosjonen av stål øker derfor sterkt med mengden av sur nedbør ( $\text{pH} < 4.05$ ). Denne opptrer imidlertid relativt sjeldent, og hovedparten av den høye korrelasjonen i ovennevnte likning skyldes den store mengden sur nedbør i november 1974. Ser en bort fra denne måneden er korrosjonen i de resterende 24 måneder best beskrevet av:

$$\text{STÅL}^{2.4} = 0.83 \text{ SO}_2 + 0.01 \text{ SO}_4 + 14.6 \quad (\text{R}=0.74)$$

som forklarer 54% av variasjonen.

Tilsvarende som for sur nedbør ( $\text{pH} < 4$ ) er det derfor fra ovenstående klart at langtransporterte luftforurensninger i form av høye  $\text{SO}_2$ -konsentrasjoner ( $> 16-32 \mu\text{g}/\text{m}^3$ ) har en klar økende effekt på månedskorrosjonen av ulegert stål. Disse  $\text{SO}_2$ -konsentrasjonene opptrer imidlertid relativt sjeldent, og hovedparten av den høye korrelasjonen med  $\text{SO}_2$  i ovennevnte likning skyldes februar 1976, som har en midlere  $\text{SO}_2$ -konsentrasjon på  $23 \mu\text{g}/\text{m}^3$  og med maksimum døgnverdi på  $62 \mu\text{g}/\text{m}^3$ .

- 5) For gjeldende måleperiode, 1974-10-01 -- 1976-11-01, har frekvensen av "aggresive" måneder vært for liten til at den har påvirket korrosjonshastigheten målt over lengre perioder, 3, 6, 12 og 24 måneder. Korrosjonsproduktene som bygges opp har altså en korrosjonsutjevnende effekt.

## 2.2 Rusttregt stål

- 1) Den månedlige korrosjonshastigheten for rusttregt stål varierer helt i takt med hastigheten for ulegert stål, men ligger for det meste noe lavere. For 3, 6, 12 og 24 måneders eksponering er korrosjonen av rusttregt stål ca. 70% av korrosjonen av ulegert stål.

## 2.3 Sink

- 1) Basert på 1- og 2-års målinger for perioden oktober 1974 til oktober 1976 må korrosjonsmiljøet for sink på Birkenes i sammenligning med utenlandske målinger karakteriseres som meget aggressiv landatmosfære.
- 2) Månedskorrosjonen på Birkenes er meget høy, oftest høyere enn i sur industriatmosfære, og varierer dessuten meget. Kun en liten del av variansen (15-20%) kan forklares av variasjoner i våttiden. (Uttrykt ved fuktighetsparametre).

Den resterende del av variansen skyldes trolig mer metallurgiske forhold på sinkoverflaten, med rask oppløsning av opprinnelig oksydfilm og deretter sakte gjendannelse av ny og mer beskyttende overflatefilm.

- 3) Etter 3 til 6 måneders eksponering blir korrosjonshastigheten av sink relativt konstant. På grunn av "korttids-effektene" med oppløsning av overflatefilm i løpet av de første 14 dagene, er imidlertid månedskorrosjonen oftest av samme størrelsesorden som korrosjonen etter 3 til 6 måneder.
- 4) Som følge av de metallurgiske "korttidseffektene" er det dårlig sammenheng mellom månedskorrosjonen av sink og de målte miljøparametre. For én variabel er 14% av variansen beskrevet ved:

$$\text{SINK}^{25} = 0.01 \cdot T90 + 3.1 \quad (R=0.38)$$

som er signifikant på 95% nivå.

Det er ingen signifikant effekt av økende surhetsgrad i nedbøren i pH-intervallet 4.9 - 3.9.

#### 2.4 Sink - døgnmålinger med elektrokjemisk Zn/Zn-celle

- 1) Cellen har vist "kortslutningseffekter" for i alt 25 av de 524 døgn målingene har foregått.

"Kortslutningene" skyldes antakelig spesielt aggressive korrosjonsforhold med en sterkt sur, svovelforurensset kondensfilm på overflaten. Under slike forhold dannes korrosjonsprodukter som antakelig er elektronledende.

Avvasking av korrosjonsprodukter ved regn får cellene til å fungere normalt igjen. Fratrukket "kortslutnings-episodene" viser cellen en kvantitativ cellefaktor med samtidig eksponerte vektplater i området 0.2 - 0.5.

- 2) Våttiden målt med cellen er godt korrelert med fuktighets-, temperatur- og nedbørparametre. Best er relasjonen:

$$VATT = 0.3 \cdot TNED - 0.3 \cdot T<0 + 0.5 \cdot F>90 + 0.1MMOE - 3.0$$

med en korrelasjonsfaktor på 0.78 og med en uforklart restvarians på 39%.

- 3) Korrosjonen målt som totalstrøm er meget godt korrelert med våttiden. For samtlige døgn unntatt "kortslutningsdøgnene" gjelder således relasjonen:

$$(9) STOT = 79.2 \cdot VATT + 75.8$$

med en korrelasjonsfaktor på 0.87 og med en uforklart restvarians på 27%. 84% av korrosjonen skjer i døgn med nedbør, som utgjør 19% av totalt antall døgn.

- 4) Når parameteren våttid utelukkes er korrosjonen målt som totalstrøm best korrelert med temperatur, fuktighet og nedbørkjemiske parametre etter likningen:

$$(8) STOT = -48.4TMID - 37.6 \cdot T<0 + 42.3 \cdot F>90 + 3.4SO_4B + 347.1$$

med en korrelasjonsfaktor på 0.69 og en uforklart restvarians på 52%.

- 5) Effekten av langtransporterte forurensninger på korrosjonen av sink er liten. Det er en viss effekt av sulfatbelastningen i nedbøren (konkl.4), men hovedeffekten ligger her i selve nedbørmengden. Når høye SO<sub>2</sub>-konsentrasjoner med derav følgende stor tørravsetning opptrer i sammenheng med kondensfilm på overflaten fåes også meget korrosive forhold (konkl. 1). Dette skjer imidlertid såvidt sjeldent at det ikke har noen tydelig effekt på langtidskorrosjonen.

### 3 INNLEDNING

Sør-Norge er sterkt utsatt for langtransport av luftforurensninger i Europa. Forholdet er kartlagt gjennom et samarbeidsprosjekt i regi av OECD (1).

På denne bakgrunn startet NILU i 1974 målinger for å undersøke eventuell virkning av langtransporterte luftforurensninger på korrosjonen av de vanligste bruksmetallene. Målingene foregår på målestasjonen Birkenes på Sørlandet.

Undersøkelsene består av flere måleprogrammer. De som nå er avsluttet har inngått i det gjeldende samarbeidsprosjekt i regi av NORDFORSK. Disse målingene omfatter:

- Bestemmelse av meteorologiske og atmosfærisk/kjemiske parametre i luft og nedbør på døgn- og månedsbasis.
- Bestemmelse av korrosjonen av ulegert stål, rusttregt stål og sink på måneds- og årsbasis.
- Bestemmelse av korrosjonen av sink på døgnbasis ved registrering og integrering av strømmen i elektrokjemiske Zn/Zn-cellere.

Måledataene er analysert ved hjelp av regnemaskin for å bestemme sammenhengen mellom korrosjonshastighet og miljø, og eventuell innvirkning av episoder av langtransporterte luftforurensninger.

Registrering av døgnkorrosjonen med den elektrokjemiske cellen er en relativt ny metodikk (2), som fortsatt er under utvikling, blant annet i det foreliggende NORDFORSK-prosjekt. Endel av rapporten omhandler derfor også cellemetodikken som sådan uten spesiell hensyntagen til ovennevnte miljøsammenheng.

4

MÅLINGER OG ANALYSER

Målingene har foregått på stasjonen Birkenes, 30 km nord/nord-øst for Kristiansand. Geografisk beliggenhet og bilde av stasjonen er vist i Bilag 1, figur 1 og 2.

4.1 Korrosjon

4.1.1 Vekttap - månedlig og 1, 3, 6, 12, 24, 36 og 60 måneders eksponering

Korrosjonshastigheten er bestemt som vekttapet av plater, 100 x 150 x 1 mm, eksponert på stativer i 45° vinkel med horisontalplanet og vendt mot syd (figur 2).

Hver måned er 2 plater av hvert materiale hentet inn og nye plater satt ut. Eksponerte materialer har vært ulegert stål, rusttregt stål og ren sink. Analysene av disse materialene er gitt i Bilag 1, tabell 1. Etter innhenting av plater er de renset for korrosjonsprodukter etter standard-metoder (tabell 1) før vekttapet er bestemt.

Det har vært foretatt 25 suksessive månedsekspонeringer fra 1974-10-01 til 1976-11-01. På grunn av manglende materiale er det bare foretatt 11 eksponeringer for rusttregt stål. Dessuten pågår et eksponeringsprogram med innhenting av plater etter 1, 3, 6, 24, 36 og 60 måneders eksponering. Innhentingene etter 36 og 60 måneder gjenstår.

4.1.2 Elektrokjemisk metode - Zn/Zn-cell

Metoden bygger på måling av strømmen i elektrokjemiske celler som kan sies å være modeller av de korrosjonsceller som opptrer på metalloverflaten ved atmosfærisk korrosjon.

Måleutstyret for den elektrokjemiske metodikken er vist i Bilag 1, figur 3. Utstyret består av en elektrokjemisk målecelle og en strømintegrator.

Cellen består av 20 parallelle plater av samme metall. Platenes dimensjoner er 1 x 32 x 15 mm. De er isolert fra hverandre med en 0.1 mm tykk plastfolie. Annenhver plate i cellen er parallell-koblet til hverandre. Det ene settet av 10 plater fungerer som anode og det andre settet som katode. Hele cellekonstruksjonen er innstøpt i Spesifix epoxy plast. Cellen er slipt på en side slik at platenes tverrsnitt utgjør eksponeringsflaten. Elektrolytten utgjøres av den fuktfilm som oppstår på overflaten under eksponeringen.

En ytre elektromotorisk kraft påtrykkes anoden og katoden, og strømmen gjennom cellen registreres enten kontinuerlig med et nullmotstandsampleremeter, eller akkumuleres ved hjelp av en spesielt utviklet strømintegrator. Spenningskilden, i ett instrument.

Strømintegratoren integrerer strømmen i to separate integrasjonsområder, et "vått" og et "tørt" område. Integratoren har automatisk omskifting mellom disse to områdene. I de foreliggende forsøk har 1  $\mu$ A vært benyttet som grense mellom "tørt" og "vått" område. Integratoren har også et telleverk som registrerer den tiden strømmen har oversteget denne grenseverdien. Denne tiden kalles ofte "våttiden", og er en viktig korrosjonsparameter.

Cellestrømmen uttrykker forskjellen i korrosjon på anoden og katoden, og utgjør derfor kun en del av den totale korrosjonen. Den reelle korrosjonen måles som vekttapet av samtidig eksponerte plater. Cellestrømmengden kan omregnes til vekttap ved hjelp av Faradays lover, og forholdet mellom beregnet og reelt vekttap uttrykkes derfor ved en såkalt kvantitativ cellefaktor:

$$\text{kvantitativ cellefaktor} = \frac{\text{beregnet vekttap (celle)}}{\text{reelt vekttap (plater)}}$$

For sink har det vist seg at den kvantitative cellefaktoren ligger mellom 0.1 - 0.7 (10-70%), og for stål mellom 0.02 - 0.10 (2-10%). Variasjonene er blant annet betinget av cellekonstruksjonen (3, 4).

Den elektrokjemiske metodikken er først utviklet av Kucera og Mattson ved Korrosionsinstitutet (KI) (2). Innenfor delprosjekt 3.1 i det foreliggende NORDFORSK-prosjekt har KI og NILU i samarbeid foretatt en videreutvikling av cellene med hensyn til konstruksjon og anvendelse (3).

I det foreliggende prosjekt har en hatt følgende måleprogrammer for elektrokjemisk Zn/Zn-celle og motsvarende vektplater:

- Månedsvise eksponeringer av ny celle og nye vektplater, tidsperiode 1975-03-01 til 1975-08-15.
- Kontinuerlig eksponering av celle og vektplater som hentes inn etter 1, 2, 3, 4, 5, 6, 7, 8, 9, 10, 11 og 12 måneders eksponering. Dessuten suksessive eksponeringer av vektplater hver måned. Tidsperiode 1975-11-06 til 1976-10-27.

De eksponerte vektplater har samme areal som cellene, 6.4 cm<sup>2</sup>, og er tildekket på baksiden. Platene er forbehandlet ved sliping med 320 mesh papir på samme måte som cellene. Oppsettet er vist i Bilag 1, figur 2.

#### 4.2 Meteorologiske og atmosfærisk/kjemiske målinger

##### 4.2.1 I luft

Prøver av luften tas daglig og innholdet av SO<sub>2</sub> og sulfataerosoler bestemmes (1). Luften suges med ca. 3 m<sup>3</sup>/døgn gjennom et Whatman 41 filter for oppsamling av sulfat. Sulfatet analyseres ved røntgenfluorescens. Etter filtrering bobles luften gjennom en oppløsning av 0.3% H<sub>2</sub>O<sub>2</sub> for absorpsjon av SO<sub>2</sub> i luften. Mengde sulfat som dannes i løsningen bestemmes ved Thorin-metoden.

#### 4.2.2 I nedbør

Regnet samles i en polyetylenflaske med en trakt med 20 cm i diameter. Trakten som er plassert 2 m over terrenget i en holder, har kvartsull for filtrering av regnvann og renses med destillert vann hver dag. På vinteren brukes en åpen polyetylenbeholder med samme oppsamlingsareal. Holderen har en ring over bøtten for å hindre kontaminering fra fugler.

Nedbørprøvene analyseres på pH, sterk syre, sulfat, magnesium, nitrat, ammonium, kalsium, og klorid (1).

Av meteorologiske parametre registreres temperatur og fuktighet og nedbørmengde kontinuerlig. Utskriftene avleses og dataene bearbeides med regnemaskin til ønsket form.

#### 4.3 Regresjonsanalyser

Regresjonsanalysene er kjørt etter standard programmer utviklet ved NILU. Analysene inneholder følgende deler:

1. Middelverdi, standardavvik, max- og min-verdier for variable.
2. Korrelasjonsmatrise
3. Plott av korrosjonshastighet som funksjon av utvalgte variable.
4. Lineære regresjonslikninger for én parameter og de 10 beste av summen av henholdsvis 2,3 og 4 variable, med angivelse av korrelasjonsfaktor (R), uforklart restvarians (RR) og signifikansnivå.

Når det gjelder beregning av signifikansnivå er dette basert på antagelse av normalfordelte datapunkter. Signifikansnivåene 99,5%, 99% og 95% er angitt med henholdsvis xxx, xx og x. Enkelte steder er også angitt signifikansnivå 90% med (x). For det meste har en valgt å betegne signifikansnivå < 95% som insignifikant.

5. Beregning av korrosjonshastighet ut fra den beste regresjonslikningen og plotting av sammenhengen  
Obs = Ber + konst.

I forbindelse med regresjonsanalysene er det lagt vekt på å foreta en samtidig vurdering av de fysikalske prosesser som foregår, og av fordelingen av målepunktene.

## 5 ULEGERT STÅL - RESULTATER OG DISKUSJON

### 5.1 Resultater

I Bilag 1, tabell 2, er vist målte og beregnede månedsverdier for korrosjon, luft/nedbørsammensetning og meteorologi for Birkenes i perioden 1974-10-01 til 1976-12-31.

#### 5.1.1 Månedlig og 1, 3, 6, 12 og 24 måneders eksponering

Korrosjonshastigheten for ulegert stål er vist i Bilag 2, figur 4.

Ser en bort fra november 1974 som har ekstremt høy stål-korrosjon, varierer månedskorrosjonen for ulegert stål på Birkenes i området  $25 \pm 15 \text{ g/m}^2$ . Korrosjonen for november 1974 var  $102 \text{ g/m}^2$ . Dette er av samme størrelsesorden som måneds-korrosjonen i sur industriatmosfære på Borregaard (5).

Den høye korrosjonen i november 1974 har ikke gitt seg utslag i høy korrosjon på eksponeringen over hele perioden, oktober, november og desember.

Korrosjonshastigheten av stål er avtagende med tiden. Mens midlere månedlig korrosjonshastighet er  $27 \text{ g/m}^2$  er midlere månedlig korrosjonshastighet for ett års eksponering ca.  $14 \text{ g/m}^2$ , og for to års eksponering ca.  $10 \text{ g/m}^2$ .

### 5.1.2 Regresjonsanalyser - månedssdata

Regresjonsanalysene for stål er gitt i Bilag 2. Tabell 3 viser korrelasjonsmatrisen og middelverdi, maksimum og standardavvik for samtlige variable. Tabell 4 viser enfaktor-regresjonsligningene, og de 10 beste regresjonsligningene for summen av 2, 3 og 4 parametre. Figurene 5-24 viser plott av enfaktor-regresjonslikningene fra tabell 4.

Det framgår av tabell 4 at av de kjemiske parametrerne er  $\text{Cl}^-$  signifikant på 99.5% nivå,  $\text{NH}_4^+$  signifikant på 99% nivå, mens  $\text{Ca}^{2+}$  og  $\text{SO}_4^{2-}$  er signifikante på 95% nivå. Disse kjemiske parametre har alle korrelasjonskoeffisienter mellom 0.4 og 0.53.  $\text{pH}$ ,  $\text{H}^+$  og  $\text{NO}_3^-$  faller utenfor disse signifikansområdene, og har vesentlig lavere korrelasjonskoeffisienter, henholdsvis ca. 0.1 og ca. 0.2.

Fuktighet- og nedbørparametrerne er alle sammen signifikante på 95% nivå, med en korrelasjonskoeffisient på ca. 0.4.

Temperaturen er ikke signifikant korrelert med korrosjonshastigheten på 95% nivå.

$\text{SO}_2$  i luft viser ingen korrelasjon med korrosjonshastigheten når man regner med samtlige 25 måneder.

Når det gjelder regresjonsligningene med summen av 2, 3 eller 4 variable så viser ingen av disse noen signifikant økning av korrelasjonen på 95 eller 99% nivå i forhold til enfaktorrelasjonene.

Med de her angitte parametre er derfor månedskorrosjonen av ulegert stål på Birkenes gjennom perioden oktober 1974 til og med oktober 1976 best beskrevet av relasjonen:

$$(1) \text{ STÅL}^{2^5} = 0.03 \text{ Cl}^- + 19.6$$

som er signifikant på 99% nivå med en korrelasjonskoeffisient på 0.53. Uforklart restvarians er hele 72%.

Observerte verdier og beregnede verdier ut fra denne ligningen er vist i figur 25.

Fordi november 1974 har så vesentlig høyere korrosjonshastighet enn de andre månedene er det også kjørt regresjonsanalyser uten denne månedsverdi. Resultatet er vist i Bilag 2, tabell 5.

Uten november 1974 blir det en fundamental forskjell i sammenhengen mellom korrosjonshastigheten og miljøet. SO<sub>2</sub> i luft blir nå signifikant korrelert med korrosjonshastigheten på 99% nivå, med en korrelasjonskoeffisient på 0.48.

Ved summen av to variable fås en signifikant økning av korrelasjonen på 99% nivå. For summen av 3 og 4 variable er det ingen signifikant økning. Månedskorrosjonen uten november 1974 beskrives da best av relasjonen:

$$(2) \text{ STÅL}^{2^4} = 0.83 \cdot \text{SO}_2 + 0.01 \cdot \text{SO}_4 + 14.6$$

med en korrelasjonskoeffisient på 0.74 og med en uforklart restvarians på 46%.

Observerte verdier og beregnede verdier ut fra ligning 2 er vist i Bilag 2, figur 26.

## 5.2 DISKUSJON

### 5.2.1 Miljøaggresivitet

For 12 og 24 måneders målingene har en sammenlignbar målinger fra andre steder. For 12 og 24 måneder er korrosjonen på Birkenes henholdsvis 167 og 239 g/m<sup>2</sup> (Bilag 1, tabell 2). På Tuentangen ved Lillestrøm er tilsvarende korrosjonshastigheter henholdsvis 142 og 230 g/m<sup>2</sup> (5), det vil si praktisk talt det samme. Sammenlignet med ett- og to-årsdata fra en rekke steder i utlandet må korrosjonsmiljøet for ulegert stål på Birkenes karakteriseres som middels aggressiv landatmosfære (6).

### 5.2.2 Regresjonsanalyser - månedskorrosjon som funksjon av miljøet.

Av enfaktor-relasjonene framgår det at nedbørkvalitet, nedbørvarighet og varighet av høy relativ fuktighet alle sammen har signifikant betydning for månedskorrosjonen av stål (Bilag 2, Tabell 3).

#### Nedbørkvalitet

Interkorreleringen mellom de enkelte parametre gjør det vanskelig å avgjøre nøyaktig den enkelte faktors innvirkning. Av de kjemiske parametre synes således både NH<sub>4</sub><sup>+</sup>, Ca<sup>2+</sup>, SO<sub>4</sub><sup>2-</sup> og Cl<sup>-</sup> å ha signifikant innvirkning. Av disse ionene er det bare anionene Cl<sup>-</sup> og SO<sub>4</sub><sup>2-</sup> som man kjenner til kan ha korrosjonsstimulerende effekt (7, 8, 9). En vil derfor ikke tillegge korrelasjonen med NH<sub>4</sub><sup>+</sup> og Ca<sup>2+</sup> noen betydning. Den skyldes heller det forhold at nedfallet kommer i form av CaCl<sub>2</sub>, NH<sub>4</sub>Cl, CaSO<sub>4</sub> og (NH<sub>4</sub>)<sub>2</sub>SO<sub>4</sub> oppløst i nedbøren. Ved de videre regresjonsanalysene har en derfor også sett bort ifra disse ionene.

Av tabell 3 ser en også at Cl<sup>-</sup> og SO<sub>4</sub><sup>2-</sup> er meget godt korrelert med nedbørmengde og nedbørvarighet, som også har klar betydning for korrosjonen. Hvor stor del av korrosjonen som skyldes Cl<sup>-</sup>

eller  $\text{SO}_4^{2-}$ -mengden som sådan, eller rett og slett det forhold at  $\text{Cl}^-$  og  $\text{SO}_4^{2-}$  kommer med nedbøren er derfor umulig å avgjøre ved å benytte ionebelastningen som parameter. Ved å benytte ionekonsentrasjonen vil en få nærmere svar på dette. Det vil bli gjort senere. Enfaktorforsøkene i laboratoriet indikerer at det er liten eller ingen effekt av økende sulfatkonsentrasjon i konsentrasjonsområdet 1-10 mg/l (10).

#### Sur nedbør

Korrosjonshastigheten er tilsynelatende uavhengig av nedbørens surhetsgrad (figur 5). Bortsett fra februar 1976 som har månedsmiddel pH 3.93 er imidlertid alle de andre middelverdiene høyere enn pH 4. At korrosjonen da tilsynelatende er uavhengig av pH er i bra overensstemmelse med Whitmans undersøkelser av korrosjonen av stål neddykket i vann som funksjon av vannets surhetsgrad (11). Disse undersøkelsene viste at korrosjonen var uavhengig av pH ned til ca. pH 4 - 4.5, men med en klar økning av korrosjonen ved lavere pH.

Enfaktorforsøkene i laboratoriet (10) indikerte at denne sammenhengen også var gyldig for atmosfærisk korrosjon. Ved økende surhetsgrad i regnet fra pH 4.2 til pH 3.7 var det flere gangers økning av korrosjonen.

For Birkenes finnes døgnmålinger av nedbøren i hele den aktuelle måleperioden, (12,13,14), og ut fra disse har en sammenstilt mm nedbør surere enn pH 4.05 pr. måned (Bilag 2, tabell 6). En har deretter kjørt regresjonsanalyser med denne parameter (MMS), og dessuten med produktet av MMS og timer over 85% og 95% relativ fuktighet (MS85) og (MS95), og produktet av MMS og timer nedbør (MSTN). Prøvenes reelle våttid vil ha betydning, og ved å ta produktet av disse størrelser har man villet forsøke å ta hensyn til denne. Våttiden har ofte vist seg å overensstemme relativt bra med tiden over 85-90% relativ fuktighet (15). Den beste fuktighetsparameteren i den foreliggende undersøkelse er T>95 (Tabell 3).

Korrelasjonsmatrisen og enfaktor-regresjonsligningene er vist i Bilag 2, tabell 7.

Det viser seg da at det er en klar sammenheng mellom korrosjonshastigheten av stål og surhetsgraden uttrykt som nedbørsmengde surere enn pH 4.05. Korrelasjonsfaktoren for denne parameter er  $R = 0.62$  med en uforklart restvarians på 62%. Når en dessuten tar hensyn til "våttiden" gjennom produktet (MS95) øker korrelasjonen til  $R = 0.85$  med en uforklart restvarians på 28%, for likningen:

$$(3) \text{ STÅL}^{2.5} = 2.3\text{MS95} + 20.9$$

Observerte og beregnede verdier ut fra denne likningen er vist i Bilag 2, figur 27.

Både MMS, MS85, MS95 og MSTN er signifikante på 99.5% nivå.

Ved summen av 2 variable får man en signifikant økning av korrelasjonen på 95% nivå når  $\text{SO}_2$  kommer med. Månedskorrosjonen beskrives da best av relasjonen:

$$(4) \text{ STÅL}^{2.5} = 2.5\text{MS95} + 0.9\text{SO}_2 + 14.7$$

med en korrelasjonsfaktor på 0.88 og med en uforklart restvarians på 22%.

Ved summen av 3 variable er den beste relasjonen:

$$(5) \text{ STÅL}^{2.5} = 2.3\text{MS95} + 0.96\text{SO}_2 + 0.01 \text{Cl}^- + 12.0$$

med en korrelasjonsfaktor på 0.9 og med en uforklart restvarians på 19%. Økningen i korrelasjonen ved at  $\text{Cl}^-$  kommer med er kun signifikant på 90% nivå. For 4 variable er det ingen signifikant økning av korrelasjonen.

Observerte verdier og beregnede verdier ut fra likning 5 er vist i Bilag 2, figur 28. Av de observerte verdier framgår at månedene november 1974, september 1975 og februar, mai, oktober 1976 skiller seg ut med høye verdier, hvorav november 1974 er ekstremt høy. Den meget høye korrosjonen i november 1974 kan forklares av stor mengde sur nedbør i kombinasjon med lang våttid. Dette framgår ved sammenligning av tabell 7, 8 og 9 som viser korrelasjonsmatriser for henholdsvis 25, 24 (uten november 1974) og 23 måneder (uten november 1974 og februar 1976). Korrelasjonsfaktoren for MMS for disse tre datasettene er henholdsvis 0.62, 0.32 og 0.1.

Det er derfor klart at langtransporterte luftforurensninger i form av sur nedbør med  $\text{pH} < 4$  har en klar korrosjonsøkende effekt på månedskorrosjonen av stål.

På den annen side opptrer denne spesielt sure nedbøren på Birkenes såvidt sjeldent at det er stor tvil hvorvidt disse episodene har noen signifikant innvirkning på korrosjonen over lengre tid. Korrosjonen målt etter 3, 6, 12 og 24 måneders eksponering synes ikke å ha noen spesielt høy verdi som følge av november 1974 (Bilag 2, figur 4).

Siden måneder med såvidt stor mengde sur nedbør som november 1974 synes å være en så sjeldent foretakelse, har det også vært av interesse å se på hvilke relasjoner som gjelder for korrosjonen og miljøet under mer normale variasjoner. Det er derfor også kjørt regresjonsanalyser uten november 1974 (punkt 5.1.2).

#### SO<sub>2</sub> i luft

Denne analysen viste . at korrosjonen i de øvrige 24 måneder var godt beskrevet av likningen:

$$(2) \text{ STÅL}^{2.4} = 0.83\text{SO}_2 + 0.01\text{SO}_4 + 14.6$$

med en korrelasjonskoeffisient på  $R = 0.74$  og en uforklart restvarians på 46% (Figur 26).

Selv når parametrene MS85 og MS95 tas med, er likning 2 den beste for 24 måneder.

Tilsvarende som november 1974 bestemte mye av den gode sammenhengen med sur nedbør, bestemmer nå februar 1976 mye av den gode sammenhengen med  $\text{SO}_2$ . Denne måneden har spesielt høyt  $\text{SO}_2$ -nivå med  $23 \mu\text{g}/\text{m}^3$  som middelverdi. 16 av døgnene har  $\text{SO}_2 > 20 \mu\text{g}/\text{m}^3$  og maksimumsverdien er så høy som  $62 \mu\text{g}/\text{m}^3$  (Bilag 4, tabell 13).

Betydningen av februar 1976 for  $\text{SO}_2$ -korrelasjonen framgår tydelig ved en korrelasjonsanalyse på 23 datasett, hvor både november 1974 og februar 1976 er utelatt (Bilag 2, tabell 9). Ved utelatelse av februar 1976 avtar korrelasjonskoeffisienten for  $\text{SO}_2$  fra 0.48 til 0.2, som er insignifikant på 95% nivå.

Med 23 data er mm nedbør og sulfat i nedbøren signifikante på 99.5% nivå med en korrelasjonskoeffisient på henholdsvis 0.55 og 0.54.  $\text{Cl}^-$  i nedbøren og T85 er signifikante på 95% nivå med korrelasjonskoeffisienter henholdsvis 0.41 og 0.33.

Innvirkningen av  $\text{SO}_4$  og  $\text{Cl}^-$  kan også skyldes at disse er godt korrelert med nedbørmengden som tidligere diskutert.

Når det gjelder summen av 2, 3 og 4 variable for 23 måneder får man ingen økning av korrelasjonen som er signifikant på 95% nivå.

Selv om denne relativt klare sammenhengen med  $\text{SO}_2$  framkommer, er det relativt sjeldent at  $\text{SO}_2$  viser høye verdier på Birkenes. Som oftest kommer svovelforurensningene som sulfat i nedbør (1), og av de 25 månedsverdiene for  $\text{SO}_2$  er bare 5 verdier  $> 10 \mu\text{g}/\text{m}^3$ , (juli-75, febr. mars, juli og august -76).

Når korrosjonen beregnes ut fra likning 5 utgjør SO<sub>2</sub>-bidraget til korrosjon ca. 50% av den målte korrosjonen i disse månedene (tabell fig. 28).

I tsjekkiske undersøkelser angis konsentrasjoner i området 16-32 µg SO<sub>2</sub>/ m<sup>3</sup> som en nedre grense for SO<sub>2</sub>'s økende effekt på korrosjonen av ulegert stål (16). Her er det for få data til at det kan foretas en representativ sammenligning.

Tilsvarende som for sur nedbør med pH < 4 er det derfor klart at langtransporterte luftforurensninger i form av høye SO<sub>2</sub>-konsentrasjoner har en klar økende effekt på månedskorrosjonen av ulegert stål. Disse konsentrasjonene opptrer imidlertid såvidt sjeldent at det er tvilsomt om de har noen signifikant innvirkning på korrosjonen over lengre tid, jfr. korrosjonsforløpet for 3, 6, 12 og 24 måneders eksponering (figur 4).

Totalt sett er altså korrosjonen for samtlige 25 måneder best beskrevet av likning 5.

De to høye månedsverdiene som ikke forklares av denne relasjonen er september 1975 og mai 1976. Disse to månedene kan forklares av lange regntider generelt, slik det framgår av figur 29.

En kan derfor konkludere med at den "normale" månedskorrosjonen på Birkenes er relativt konstant og lav, og at den i stor grad bestemmes av nedbør og fuktighetsforhold, men også i noen grad av SO<sub>2</sub>. I måneder med spesielt store mengder sur nedbør pH < 4.05 eller relativt høy SO<sub>2</sub>-belastning gir dette seg utslag i en klar økning i korrosjonshastigheten (november 1974 og februar 1976). Slik enkeltstående høy månedskorrosjon ser på den annen side ikke ut for å ha noen særlig økende effekt på langtidskorrosjonen.

## 6. RUSTTREGT STÅL

### 6.1. Månedlig og 1, 3, 6, 12 og 24 måneders eksponering

Resultatene er vist i Bilag 1, tabell 2. På grunn av materialmangel er det bare foretatt 11 månedsekspesifiseringer.

Det framgår at den månedlige korrosjonshastigheten for rusttregt stål varierer i takt med hastigheten for ulegert stål, (se også Bilag 2, fig. 23).

For det meste ligger månedskorrosjonen lavere for rusttregt stål, spesielt er dette tydelig i den aggressive måneden november 1974. For 3, 6, 12 og 24 måneders eksponering er korrosjonen av rusttregt stål ca. 70% av korrosjonen av ulegert stål. Dette er i bra overensstemmelse med andre undersøkelser (17).

Materialmangelen har gjort at det er for få data til at regresjonsanalyser har noen hensikt. Av denne grunn har en heller ikke gjennomført noen diskusjon av dataene for rusttregt stål.

## 7. SINK - RESULTATER OG DISKUSJON

### 7.1 Resultater

#### 7.1.1 Månedlig og 1, 3, 6, 12 og 24 måneders eksponering

Korrosjonshastigheten for sink er vist i Bilag 1, tabell 2 og Bilag 3, figur 30.

Den månedlige korrosjonen av sink er meget høy og varierer meget. Middelkorrosjonen er  $5.1 \text{ g/m}^2$  måned som tilsvarer en tykkelsesreduksjon på ca.  $0.7 \mu\text{m/pr. måned}$ . Denne korrosjonen er av samme størrelsesorden og ofte større enn månedskorrosjonen i sur industriatmosfære på Borregaard (5).

De månedlige variasjonene viser ingen særlig sammenheng verken med korrosjonen av ulegert stål eller med årstidene (Bilag 2, figur 4 og 24). Fem måneder har spesielt høy sinkkorrosjon, nemlig oktober 1975 ( $12.3 \text{ g/m}^2$ ), november 1975 ( $7.2 \text{ g/m}^2$ ), mai 1976 ( $9.0 \text{ g/m}^2$ ), juni 1976 ( $6.7 \text{ g/m}^2$ ) og oktober 1976 ( $7.8 \text{ g/m}^2$ ).

Den meget høye månedskorrosjonen medfører ikke tilsvarende høy korrosjon for 3, 6, 12 og 24 måneders eksponering. Månedskorrosjonen er ofte lik eller større enn 3 og 6 måneders korrosjonen. Det er altså helt tydelige "korttidseffekter" som gir meget høy korrosjon i startfasen.

Av figur 30 framgår det at korrosjonshastigheten av sink på Birkenes blir relativt konstant etter ca. 3-6 måneders eksponering. Mens den månedlige middelkorrosjonen var  $5.1 \text{ g/m}^2$  er den månedlige middelkorrosjonen for 12 og 24 måneders eksponering henholdsvis  $0.8$  og  $0.6 \text{ g/m}^2$  pr. måned.

#### 7.1.2 Regresjonsanalyser månededata

Regresjonsanalysene for sink er gitt i Bilag 3. Tabell 10 viser korrelasjonsmatrisen og middelverdi, maksimum og standardavvik for samtlige variable. Tabell 11 viser enfaktorregresjonsligningene, og tabell 12 viser de ti beste regresjonsligningene for summen av 2, 3 og 4 parametre. Figur 31 til 47 viser plottene av enfaktorrelasjonene.

Det framgår av tabell 10 og 11 at ingen av de enkelte faktorer er signifikant på 99% nivå, mens kun timer over 90% relativ fuktighet er signifikant på 95% nivå. Signifikant på 90% nivå er sulfat i nedbøren, relativ fuktighet, timer over 85% relativ fuktighet, timer nedbør og mm nedbør i tillegg til timer over 90% relativ fuktighet.

$\text{SO}_2$  i luft viser ingen korrelasjon med sinks korrosjonshastighet.

Når det gjelder regresjonsligningene med summen av 2 variable så viser 3 av ligningene en signifikant økning av korrelasjonen på 95% nivå ved overgang fra 1 til 2 variable, tabell 12. Alle 3 ligningene inneholder middelfuktighet og 1 temperaturvariabel. Middelfuktigheten er imidlertid kun signifikant på 90% nivå (tabell 11). Ved summen av 3 variable får man en signifikant økning av korrelasjonen på 90% nivå når  $\text{Cl}^-$  i nedbøren kommer inn med negativt fortegn. Dette gir imidlertid ingen fysikalsk mening.

For summen av tre og fire variable er det ingen av ligningene med signifikant økning av korrelasjonen som gir noen fysikalsk mening (tabell 12).

Månedskorrosjonen på Birkenes for 25 måneder beskrives derfor best av ligningen:

$$(6) \quad \text{SINK}^{2.5} = 0.01 \text{ T90} + 3.1$$

som er signifikant på 95% nivå med en korrelasjonskoeffisient på 0.38 og med en uforklart restvarians på hele 86%.

Observerte verdier og beregnede verdier etter ligning (6) er vist i Bilag 3, figur 48.

En har også forsøkt å kjøre regresjonsanalyser på 24 data, dvs. uten oktober 1975, som har eksepsjonelt høy sinkkorrosjon. Dette ga imidlertid ingen vesentlig forbedring av korrelasjonsfaktorene, verken for 1, 2, 3 eller 4 variable.

## 7.2 Diskusjon

### 7.2.1 Miljøaggresivitet

For 12 og 24 måneders målingene har en sammenlignbare målinger fra andre steder. For 12 og 24 måneder er korrosjonen på Birkenes henholdsvis 10.3 og 15.2 g/m<sup>2</sup> (Bilag 1, tabell 2). På Tuentangen ved Lillestrøm er tilsvarende korrosjonshastigheter henholdsvis 6.3 og 8.4 g/m<sup>2</sup>, dvs. klart lavere. Sammenlignet med ett- og to-års data fra en rekke steder i utlandet må derfor korrosjonsmiljøet for sink på Birkenes karakteriseres som meget aggressiv landatmosfære (6).

### 7.2.2 Regressjonsanalyser- månedskorrosjon som funksjon av miljøet

Månedskorrosjonen av sink er meget høy og varierende, og er dårlig korrelert med miljøparametrerne.

Andre har også observert tilsvarende store variasjoner ved korrosjonsprøvning av sink (18 og 19). Spesielt var variasjonene store ved relativt kortvarige eksponeringer. Her observerte man såkalte "korttidseffekter", hvor det var meget store forskjeller i platenes korrosjon ved de første 14 dagers eksponering. Forløpet i disse 14 dagene bestemmer ofte korrosjonen for lang tid framover, ved at prøver som korroderer raskt i startfasen gjerne fortsetter med dette i lang tid.

Mye av de observerte variasjonene kunne forklares ut fra variasjoner i prøvenes våttid og SO<sub>2</sub>-innholdet i luften (18). Våttiden målt med Seredas metode (15) viste seg å være meget godt korrelert med tiden over 86.5% relativ fuktighet. Selv om man korrigerte målt korrosjonshastighet mot reell våttid ble det likevel tilbake en signifikant spredning og uforklart varians i målingene. For kortvarige eksponeringer (2000 timer våttid) hadde man fremdeles uforklarte variasjoner på over 100%.

På Birkenes er  $\text{SO}_2$ - konsentrasjonen i luft som oftest negligerbar, og ifølge ovennevnte skulle derfor endel av korrosjonen kunne forklares av variasjonene i våttiden. Denne skulle igjen være godt korrelert med tiden over 86.5%. Dette stemmer bra med de foreliggende målingene. Tiden over 90% relativ fuktighet gir best enfaktorkorrelasjon, men korrelasjonskoeffisienten er ikke bedre enn 0.38 og uforklart restvarians er hele 86%.

Antagelig kan denne høye restvariansen forklares utfra en kompleks prosess med oppløsning av den opprinnelige porøse overflatefilmen av sinkoksyd og sinkkarbonat, og gjendannelse av ny, mer beskyttende film (20). Oppløsningen av filmen skjer trolig lett, mens gjendannelsen i sterk grad er avhengig både av frekvensen av fuktighetsfilm på overflaten og dennes surhet.

Når det gjelder korrelasjonen mellom den reelle våttiden for sink og tiden over visse fuktighetsgrenser viser man til kapitlet om målinger med den elektrokjemiske Zn/Zn celle (kap.8). Denne celle tillater nettopp måling av den reelle våttiden.

Tilsvarende som for ulegert stål er det også kjørt regresjonsanalyser med mm sur nedbør surere enn pH 4.05 og tiden over 90% relativ fuktighet som variable. Dette ga imidlertid ingen forbedring av korrelasjonene. Korrelasjonskoeffisienten mellom korrosjonen av sink og produktet av mm sur nedbør og tiden over 90% fuktighet var kun 0.21.

## 8. DØGNMÅLINGER MED ELEKTROKJEMISK Zn/Zn CELLE - RESULTATER OG DISKUSJON

### 8.1 Resultater

#### 8.1.1 Døgnverdier - Zn/Zn-celle

Målingene omfatter ialt 524 døgnverdier for de to periodene 1975-03-01 til 1975-08-15 og 1975-11-06 til 1976-10-27. Dataene er gitt i Bilag 4, tabell 13.

For den elektrokjemiske Zn/Zn cellen oppstår av og til såkalte "kortslutningseffekter". Disse kommer til uttrykk ved at cellestrømmen blir "unormalt høy", gjerne vesentlig over 100  $\mu$ A, og ved at den totale strømmengden i løpet av døgnet derfor blir 10-100 ganger større enn "normalt".

I den foreliggende måleserie er ialt 25 av de 524 døgnene karakterisert som "kortslutningsdøgn". Disse er i 1975 3-4 mars, 11-29 juni, 7-12, 14, 23, 24 juli og i 1976 1. januar, 2-6 mars, 18. juni 4-9, 16, 17 juli. I tabell 13 er disse datoene understreket.

Cellens registrerte korrosjon i disse døgnene er ikke reell. Dette viser seg ved å sammenligne de beregnede vekttapene fra cellen med vekttapene av samtidig eksponerte plater (punkt 8.1.2). Regner man med de nevnte "kortslutningsdøgn" blir den kvantitative cellefaktor nemlig vesentlig større enn 1.

Ved beregning av de kvantitative cellefaktorer og ved regresjonsanalysene har en derfor tatt vekk alle de nevnte "kortslutningsdøgn". Grenseverdien er satt ved  $3000 \times 10^{-4}$  Asek i "våt" strømmende pr. døgn.

Karakteristisk for denne kortslutningseffekten er ellers at cellen kommer tilbake til normal drift igjen av seg selv slik det framgår av tabell 13. Hendelsesforløpene vil bli nærmere diskutert under punkt 8.2.1.

Slike kortslutningseffekter for Zn/Zn cellen er også observert under delprosjekt 1.1 og 3.1 både av NILU og Korrosionsinstitutet (10,3).

Ellers er det tydelig at strømintegratoren ikke alltid har fungeret riktig ved kortvarige "våtstrømmer" ( $> 1 \mu\text{A}$ ). Som eksempel viser både 23. og 24. mai 1976  $40 \times 10^{-4} \text{Asek}$  våtstrøm, mens våttiden er 0. Våttiden registreres med 1/100 times nøyaktighet, dvs. våttid skal registreres når strømmen har vært større enn  $1 \mu\text{A}$  i 36 sekunder. Dette betyr da at når våt strømmengde f. eks. 23. og 24. mai 1976 har vært  $80 \times 10^{-4} \text{Asek}$  mens våttiden har vært 0, så må strømmen ha vært minst  $80/36 \times 10^{-4} \text{A} = 222 \mu\text{A}$  i kortere tid enn 36 sekunder. Dette virker meget usannsynlig.

Det er en rekke slike eksempler i målingene, og dette må da enten skyldes ytre forstyrrende forhold som gir meget høye, kortvarige strømpulser, eller så er det telleverket for "våttid" som "henger" igjen.

Kucera (2) har foreslått å benytte middelstrømstyrken i våt-periodene som et mål på korrosiviteten. På grunn av de ovennevnte uregelmessighetene vil imidlertid dette i de foreliggende målinger gi en rekke gale verdier for strømstyrken. En har derfor sett bort fra middelstrømstyrken og kun benyttet totalstrømmengden som et mål på de enkelte døgn korrosivitet.

Den alt vesentlige delen av korrosjonen skjer i døgn med nedbør. Som kriterium for om et døgn har nedbør har en valgt at minst én av nedbørparametrene, nemlig mm nedbør fra nedbørsamler, mm nedbør fra pluviograf eller timer med nedbør, er forskjellig fra 0. Etter dette har 98 av de 499 døgnene nedbør, dvs. ca. 19%. Korrosjonen i disse 98 døgnene, målt som totalstrøm, utgjør ca. 84% av den totale korrosjonen for hele måleperioden.

### 8.1.2 Kvantitativ cellefaktor - månedlige vekttap

#### fra samtidig eksponerte vektplater og elektrokjemisk celle

Resultatene er vist i Bilag 4, tabell 14 og figur 49. De eksponerte vektplatene har samme areal som cellen ( $6.4 \text{ cm}^2$ ), og er tildekket på baksiden. Eksponeringene er gjort i den andre måleperioden fra 1975-11-06 til 1976-10-27.

#### Vektplater

På samme måte som for de store sinkplatene (punkt 7.1.1) ser en at månedskorrosjonen for ferske, suksessivt eksponerte plater er vesentlig større enn månedskorrosjonen for kontinuerlig eksponerte plater. Tallene er henholdsvis  $3.4 \text{ g/m}^2$  og  $0.83 \text{ g/m}^2$  (middel). For de store platene med korrosjon på begge sider er de tilsvarende tallene henholdsvis  $5.1 \text{ g/m}^2$  og  $0.83 \text{ g/m}^2$ . For de kontinuerlig eksponerte platene er det således verken "størrelseseffekter" eller tegn til forskjellig korrosjon på forside og bakside.

Det er ingen jevnt stigende korrosjon. I flere av månedene har det sågar vært negativ korrosjon, figur 49. Den tilsynelatende negative korrosjonen skyldes trolig både en viss oksyddannelse, og tilfeldigheter på grunn av den dårlige reproducbarheten man ofte har for sink (18, 19).

Av figur 50 ser en at det er relativt bra overensstemmelse mellom månedskorrosjonen av store plater (punkt 5.3) og de små platene som er dekket på baksiden. Også de små, tildekkede platene har derfor tydelige "korttidseffekter" som gir meget høy korrosjon i startfasen. Dette skyldes trolig oppløsning av opprinnelig oksydfilm på overflatene (punkt 7.2.2).

#### Elektrokjemisk celle

For Zn/Zn-cellene har det vært månedsvise eksponeringer i den

første måleperioden, og kontinuerlig eksponering av samme celle i den andre måleperioden. For kontinuerlig eksponering viser cellen en mer jevnt økende korrosjon fra måned til måned enn vektplatene (figur 49). For de noe mer korrosive månedene som desember, september og oktober følger vektplatene og cellen hverandre godt. Den tidligere omtalte "korttidseffekten" på vektplatene kan ikke registreres i tilsvarende grad på cellen. Vekttapet for platene i de 11 månedene fra desember 1975 til oktober 1976 er  $6.2 \text{ g/m}^2$ , mens det for cellene er  $3.9 \text{ g/m}^2$ . I den første måneden, november 1975, er platens vekttap  $3.8 \text{ g/m}^2$ , mens cellens er  $0.8 \text{ g/m}^2$ .

Dette at man ikke kan observere den negative korrosjonen eller "korttidseffektene" hos cellen kan tyde på at forholdet med oppløsning og nydannelse av en oksydfilm på overflaten ikke kommer til uttrykk i cellestrømmen.

#### Kvantitativ cellefaktor

Den kvantitative cellefaktoren viser et jevnt stigende forløp fra 0.2 etter 1 måned til 0.47 etter 12 måneder (Tabell 14). Middelverdien for de 4 kvartalene er henholdsvis 0.24, 0.32, 0.40 og 0.49 med en middelverdi for hele perioden på 0.36. Verdiene er i bra overenstemmelse med verdiene fra andre forsøk (3,4).

Fordi "korttidseffektene" ikke reflekteres i tilsvarende grad av cellen er det sannsynlig at de reelle cellefaktorene egentlig er høyere og også mer konstante enn det som fremkommer. Ser en bort fra den første måneden blir cellefaktoren lik 0.62 for hele 11 måneders perioden.

Den kvantitative cellefaktoren for kontinuerlig celle mot suksessive vektplater er klart lavere, nemlig 0.1. Den viser heller ikke noe jevnt stigende forløp.

### 8.1.3 Regresjonsanalyser

Korrelasjonskoeffisientene for samtlige lineære enfaktorrelasjoner er vist i Bilag 4, tabell 15. Antall data i hver relasjon vil variere etter hvor mange observasjoner som finnes for vedkommende variabel. Eksempelvis vil kun nedbørdføgnene inngå i relasjonene for nedbørparametrene, mens samtlige døgn inngår i relasjonen for f. eks.  $\text{SO}_2$  i luft.

#### Totalstrøm

Det fremgår at korrosjonen uttrykt ved cellestrømmen er signifikant korrelert med fuktighet og nedbørparametrene på 99.5% nivå, med korrelasjonskoeffisienter omkring 0.5. Det er også en signifikant sammenheng med timer under  $0^\circ\text{C}$  på 99% nivå, men med vesentlig lavere korrelasjonskoeffisient, nemlig -0.12.

Av de nedbørkjemiske parametrene er nedbørens surhetsgrad signifikant korrelert med korrosjonen på 95% nivå med en korrelasjonsfaktor på -0.18. For de øvrige nedbørkjemiske parametre er det kjørt regresjonsanalyser både for konsentrasjonen av vedkommende ion i nedbøren og totalbelastningen ( $\text{g}/\text{m}^2 \cdot \text{døgn}$ ). En ser at dette gir en merkbar forskjell. For konsentrasjon er ingen av de nedbørkjemiske parametre signifikant korrelert, mens for belastning er samtlige parametre signifikant korrelert med totalstrømmen på 99.5% nivå med korrelasjonskoeffisienter i området 0.31 - 0.65. Årsaken til den store forbedringen i korrelasjon er at nedbørmengden, som har en korrelasjonsfaktor på ca. 0.5, kommer inn i relasjonen.

Heller ikke  $\text{SO}_2$  eller  $\text{SO}_4$  i luft er signifikant korrelert med korrosjonen.

Den desidert høyeste korrelasjonen med korrosjonen viser som ventet våttiden med en korrelasjonsfaktor på 0.87.

I Bilag 4, figur 51 -61 er vist plott av en del av de mest interessante enfaktorrelasjonene mellom totalstrømmen og øvrige parametre.

Sammenhengen mellom totalstrømmen og våttiden er vist i figur 51. Figur 52 viser plott av totalstrøm mot middeltemperaturen når samtlige data er medregnet, mens figur 53 viser plottet når alle totalstrømmer større enn  $3000 \times 10^{-4}$  Asek er tatt vekk. En ser da at de fleste av "kortslutningsdøgnene" ligger rundt døgn med middeltemperatur enten omkring  $0^{\circ}\text{C}$  eller ca  $15^{\circ}\text{C}$ . Ved å se på temperaturforløpet i døgnene rundt  $0^{\circ}\text{C}$  ser en at det må ha vært henholdsvis kondens, frysning og smelting på celleoverflaten. For døgnene med middeltemperatur rundt  $15^{\circ}\text{C}$  er det store temperaturforskjeller gjennom døgnet med derav følgende kondensfilm på overflaten under natten. Når en kutter ut alle data over  $3000 \times 10^{-4}$  Asek, slik at oppløseligheten blir større (figur 53), ser en at det også for de øvrige døgnene ligger et maksimum rundt  $0\text{-}5^{\circ}\text{C}$ , dvs. hvor en kan regne med frysing/smelting av kondensfilm.

Når det gjelder korrosjonen som funksjon av middel relativ fuktighet (figur 54) er det en tendens til svakt økende korrosjon med økende relativ fuktighet over 60% og vesentlig kraftigere økning av korrosjonen ved økende relativ fuktighet over 80-90%.

Fuktighetsparameteren timer over 90% relativ fuktighet er vist i figur 55 og nedbørparameterne mm nedbør pluviograf, timer nedbør og mm nedbør fra NILUs nedbørsamler er vist i henholdsvis figur 56, 57 og 58. Den beste fuktighetsparameteren er  $F > 90$ , med en korrelasjonskoeffisient på 0.53, mens den beste nedbørparameteren er TNED med en korrelasjonskoeffisient på 0.62.

Figur 59 viser sammenhengen mellom totalstrømmen og sulfatbelastningen. Likheten med relasjonen mellom totalstrømmen og nedbørsmengden i figur 58 er tydelig. Figur 60 viser sammenhengen mellom totalstrøm og kloridbelastningen. Her er det kun 18 data.

Figur 61 viser sammenhengen mellom totalstrøm og  $\text{SO}_2$  i luft.

På grunnlag av enfaktor-relasjonene er det kjørt en regresjonsanalyse med utvalgte parametere, nemlig middeltemperatur, timer under  $0^\circ\text{C}$ , timer relativ fuktighet over 90%, timer nedbør, nedbørsmengde, surhet i nedbør, belastning av nedbørkjemiske parametre med unntak av klorid i nedbør som bare har 18 data, svoveldioksyd og sulfat i luft. Med disse variable får en 98 datasett. Resultatet er vist i tabell 16.

For totalstrømmen er de beste relasjoner for henholdsvis 1, 2, 3 og 4 variable:

$$(7) \quad \text{STOT} = 55.2 \text{ F}>90 - 68.5 \\ R = 0.56, \text{ RR} = 0.68$$

$$(8) \quad \text{STOT} = 42.9 \text{ F}>90 + 3.5 \text{ SO}_4\text{B} - 54.8 \\ R = 0.63, \text{ RR} = 0.60$$

$$(9) \quad \text{STOT} = -19.9 \text{ T}<0 + 49.7 \text{ F}>90 + 2.9 \text{ SO}_4\text{B} - 60.0 \\ R = 0.66, \text{ RR} = 0.56$$

$$(10) \quad \text{STOT} = -48.4 \text{ TMID} - 37.6 \text{ T}<0 - 42.3 \text{ F}>90 + 3.4 \text{ SO}_4\text{B} + 347.1 \\ R = 0.69, \text{ RR} = 0.52$$

Alle disse relasjonene er signifikante på 99% nivå.

En ser altså at 48% av korrosjonen er forklart av en relasjon med middeltemperatur, timer under  $0^\circ\text{C}$ , timer over 90% relativ fuktighet og sulfatbelastningen i nedbøren. Korrosjonen avtar med økende temperatur og tiden med temperatur under  $0^\circ\text{C}$ , og øker med tiden over 90% relativ fuktighet og sulfatbelastningen.

Det framgår av tabell 16 at relasjonene (8), (9) og (10) er praktisk talt like gode når en erstatter sulfatbelastning med nedbørmengde. Plott av observerte og beregnede korrosjonshastigheter etter ligning (10) er vist i figur 62. Når bare disse 4 variable er med øker antall observasjonsdøgn fra 98 til 131 og R fra 0.69 til 0.72, og koeffisientene blir noe annerledes. En ser at uoverenstemmelsen er størst ved  $STOT > 2000 \cdot 10^{-4}$  Asek.

Når en korrelerer totalstrømmen med våttiden blir de andre parametrene insignifikante. For 494 observasjonsdøgn er da korrosjonen beskrevet av :

$$(11) \quad STOT = 79.2 \text{ VÅTT} + 75.8 \\ R = 0.87$$

For 134 nedbørddøgn er relasjonen:

$$(12) \quad STOT = 73.3 \text{ VÅTT} + 154.4 \\ R = 0.87, \text{ RR} = 0.27$$

Observerte og beregnede verdier etter ligning 12 er vist i figur 63.

#### Våttiden

På grunn av den høye korrelasjonen mellom totalstrøm og våttid er korrelasjonsfaktorene for våttid som funksjon av øvrige parametere nærmest identiske med de tilsvarende for totalstrømmen (tabell 15). Best korrelert er nedbørvarigheten med  $R = 0.7$ . (177 døgn).

Figur 64 viser våttiden som funksjon av middeltemperaturen for alle tørrdøgn, dvs. døgn uten nedbør definert ved at summen av TNED + MMPL + MMOE = 0. Tilsvarende som for totalstrømmen (figur 53) ser en de to maksima  $\pm 5^{\circ}\text{C}$  og pluss  $15^{\circ}\text{C}$ . "Kortslutningsepisodene" har også opptrådt i døgn uten nedbør, men med kondens.

Regresjonsanalysene for utvalgte variable viser at for summen av 2, 3, og 4 parametere får en nær de samme regresjonslikningene som for totalstrømmen (tabell 17). For summen av 4 variable har man således:

$$(13) \text{ VÅTT} = 0.3\text{TNED} - 0.3 \text{ T}<0 + 0.5 \text{ F}>90 + 0.1\text{MMOE} - 3.0 \\ R = 0.78, \quad RR = 0.39.$$

som er signifikant på 99% nivå, men med en uforklart restvarians på 39%. Også relasjonen med TMID, T<0, F>90 og MMOE gir nesten like god korrelasjon, men er kun signifikant på 95% nivå.

### Tørre strøm

Våt strømmengde utgjør ca. 84% av den totale korrosjonsstrømmengden (figur 65). Den tørre strømmengden er således relativt uinteressant. AV figur 66 ser en imidlertid at korrosjonen øker med fuktigheten allerede når denne øker over ca. 50%.

## 8.2 DISKUSJON

### 8.2.1 Funksjonsdyktighet/kortslutningseffekter

Som beskrevet under punkt 8.1.1 har det oppstått "kortslutningseffekter" som gir gale data i 25 av de 524 døgnene, dvs. i 4,7% av måleperioden. Cellen kommer imidlertid tilbake til normal virkemåte. Om en ser bort fra disse "kortslutningsepisodene" ser en ved sammenligning med samtidig eksponerte vektplater at cellestrømmen gir et realistisk bilde av korrosjonshastigheten (punkt 8.2.2).

Lignende kortslutningseffekter er observert ved andre undersøkelser (3). Det er en klar tendens til at større lamellavstand hos cellen og mindre aggressivt miljø minsker tendensen til slike effekter.

En har ingen entydig forklaring på kortslutningseffektene. Trolig henger de sammen med dannelsen av et elektronledende overflatesjikt.

En har gått systematisk gjennom alle døgnmålingene for å se om kortslutningene kan knyttes til spesielle fuktighets-/forurensningsforhold og eventuelt hvilke forhold som medfører tilbakegang til normal "drift" igjen (tabell 13).

For to av episodene, nemlig 2-6 mars 1976 og 4-9 juli 1976, som representerer 13 av de 25 døgnene har en funnet spesielle forhold, som gir grunnlag for en hypotese om årsaksforholdet.

I perioden 2-6 mars svinger temperaturen rundt  $\pm 1^{\circ}\text{C}$ , noe som vil gi kondens, rimdannelse og smelting på prøvene (figur 52). Dessuten har det vært meget høye  $\text{SO}_2$ -verdier både i februar og mars med derav følgende stor tørravsetning på prøvene. Nedbør har vasket vekk meget av dette, men så sent som 29. februar var  $\text{SO}_2$ -konsentrasjonen  $51 \mu\text{g}/\text{m}^3$ . En vil derfor i perioden 2-6 mars ha hatt en meget sur, svovelforurenset fuktighetsfilm på overflaten. Den 6-7 mars har det kommet vedvarende regn som har vasket av denne overflatefilmen (tabell 13).

I perioden 4-9 juli har en hatt pent, varmt vær, men med så store temperaturdifferanser dag/natt at en har fått kondensdannelse på overflaten. Mens middelfuktigheten er ca. 60% har det også vært i størrelsesorden 5-10 timer/døgn med relativ fuktighet større enn 90%. De 10 forutgående døgnene har det dessuten vært relativt høye  $\text{SO}_2$ -konsentrasjoner, med et maksimum på  $36 \mu\text{g}/\text{m}^3$  (3.juli) og minimum  $8 \mu\text{g}/\text{m}^3$  (30.juni), med en middelverdi på  $16 \mu\text{g}/\text{m}^3$  for perioden. Igjen har det altså vært stor tørravsetning som sammen med kondensfilm gir en sterkt sur, svovelforurenset fuktighetsfilm på overflaten. Den 10. juli har det vært kraftig nedbør som har vasket vekk den sterkt sure filmen. Kortslutningen stopper og normal drift opptrer igjen.

To av de lengste kortslutningsepisodene opptrer altså i forbindelse med en sterkt sur, svovelforurensset overflatefilm. Dette vil føre til oppløsning av den beskyttende overflatefilmen av sinkoksyd/ basisk sinkkarbonat og sterk korrosjon. Hvilken overflatefilm som så dannes og som i tilfelle er elektroledende, kan en imidlertid ikke si noe nærmere om uten å foreta samtidige målinger og analyser under slike episoder. Ifølge Schikorr (20) dannes det både ZnO, ZnS, ZnSO<sub>3</sub> og ZnSO<sub>4</sub>, hvorav ZnO og ZnS er halvledere (21).

De foreliggende miljødata gir ikke så tydelige indikasjoner for de andre "episodene".

Selv om kortslutningen av cellen gjør at en ikke får kvantitativt riktige tall, viser målingene klart at det er korrosjonseffekter på sink fra langtransporterte luftforurensninger. Når kondensfilm og høye SO<sub>2</sub>-konsentrasjoner opptrer samtidig gir dette en kraftig økning av korrosjonen.

Forholdene med høye SO<sub>2</sub>-konsentrasjoner i kombinasjon med kondensfilm opptrer imidlertid såvidt sjeldent og over såvidt kort tid at de ikke har betydning for korrosjonen over lengre tid. Når korrosjonsmiljøet for sink på Birkenes må karakteriseres som meget aggressiv landatmosfære skyldes dette de "aggressive" fuktighetsforholdene, med store nedbørmengder og lang tid med relativ fuktighet høyere enn 90%. En viss effekt av sulfatbelastningen i nedbøren kan også spores.

### 8.2.2 Våttiden

Som tidligere nevnt fant Guttmann (18) at korrosjonshastigheten av sink i det vesentlige var bestemt av den såkalte våttiden og konsentrasjonen av svoveldioksyd i luften. Våttiden ble da målt med Seredas metode (15), og målingene viste at denne våttiden var i meget god overensstemmelse med tiden over 86.5% relativ fuktighet.

Resultatene i denne undersøkelsen er i god overenstemmelse med Guttmans resultater. Våttiden er således korrelert på 99.5% nivå med fuktighetsparametrene (tabell 15) middelfuktighet og timer over henholdsvis 85% og 90% relativ fuktighet. Tilsvarende god sammenheng eksisterer med nedbørparametrene.

Likning 13 viser at våttiden kan beregnes ut fra en relasjon med timer nedbør, timer under 0°C, timer over 90% relativ fuktighet og mm nedbør med en uforklart restvarians på 39%. Praktisk talt like god er korrelasjonen om timer nedbør erstattes med middeltemperatur.

Årsaken til at våttiden avtar med begge temperaturparametrene framkommer av figur 53, som viser maksimum rundt 0-5°C. I dette området vil det være mange tilfeller av kondensdannelse med derav følgende høy korrosjon, mens man ved temperaturer under 0°C vil ha frysing på overflaten og minimal korrosjon.

#### 8.2.3 Korrosjonen uttrykt ved totalstrømmen

Når det gjelder korrosjonen uttrykt ved totalstrømmen så er denne meget godt korrelert med våttiden. Den er derfor også godt korrelert med fuktighet- og nedbørparametre, og i summen av 2, 3, og 4 variable inngår tilnærmet de samme parametre som for våttiden.

#### SO<sub>2</sub>

Som nevnt bestemmes sinkkorrosjonen ifølge Guttmann (18) av våttiden og SO<sub>2</sub>-konsentrasjonen i luften. Barton (9) angir imidlertid at det på tilsvarende måte som for stål finnes en nedre grense for innvirkning av SO<sub>2</sub> på korrosjonen av sink. Han angir denne til antakelig å være > 40 µg/m<sup>3</sup>. Benyttes denne grensen på de foreliggende data er det kun 7 døgn som har noe høyere SO<sub>2</sub>-nivå. Av disse døgnene har 3 døgn samtidig nedbør som vil vaske av og skjule eventuell SO<sub>2</sub>-effekt. Den dårlige korrelasjonen med SO<sub>2</sub> er derfor forklarlig.

Høye SO<sub>2</sub>-verdier fører på den annen side til stor tørravsetning, og som allerede diskutert ser det ut for at tørrperiode med høy SO<sub>2</sub> og derpå følgende kondensfilm kan medføre så aggressive forhold at cellen "kortslutter".

9. FORSLAG TIL VIDERE UNDERSØKELSER

Det foreliggende datamaterialet er meget omfattende, og bør bearbeides ytterligere. En vil foreslå:

1. Regresjonsanalyser for månedskorrosjon som funksjon av konsentrasjonen av oppløste ioner i nedbøren, jfr. pkt. 5.2.2.
2. Regresjonsanalyser av genererte ukesverdier fra målinger med den elektrokjemiske Zn/Zn celle. Resultatene sammenlignes med Korrosionsinstitutets resultater i det foreliggende prosjekt.

Siden det er funnet korrosjonseffekter på ulegert stål fra langtransporterte luftforurensninger på Birkenes, bør disse undersøkes mer i detalj med en elektrokjemisk Fe/Fe celle. Samtidige målinger med elektrokjemisk Zn/Zn med mellomlegg 300 µm bør foretas.

Birkenes ligger i det sterkest belastede området for langtransporterte luftforurensninger. For å få et bedre grunnlag for å avgjøre effekten av disse, vil en foreslå samtidige målinger på 3 stasjoner, nemlig:

- Birkenes
- Bakgrunnsstasjon med tilnærmet samme nedbørmengde, men med minst mulig belastning av langtransporterte luftforurensninger.
- Bakgrunnsstasjon i tørt innlandsområde med minst mulig belastning av langtransporterte luftforurensninger.

Det bør benyttes stasjoner som allerede er i drift. Målemetodikken for korrosjon blir tilnærmet den samme som i den foreliggende undersøkelse.

REFERANSELISTE

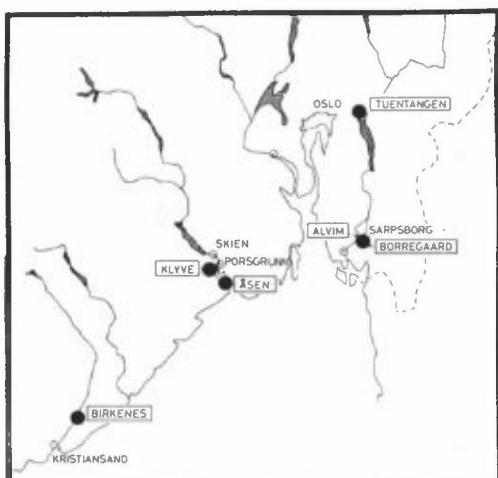
- (1) The OECD-Programme on Long Range Transport of Air Pollutants.  
- Measurements and Findings  
OECD 1977, Paris.
- (2) Kucera, V.,  
Mattson, E.  
Electrochemical Technique for Determination of the Instantaneous Rate of Atmospheric Corrosion.  
Corrosion in Natural Environments, ASTM STP 558, American Society for Testing and Materials, 1974, pp. 239-260.
- (3) NORDFORSK-prosjekt: Atmosfærisk korrosjon, Delprosjekt 3.1:  
"Videreutvikling av den elektrokjemiske teknikken for atmosfæriske korrosjonsundersøkelser, samt utforming av program for prøvning i klimaskap". Rapport under utarbeidelse.
- (4) Kucera, V.,  
Collin, M.  
Atmospheric Corrosion with special Regard to Short-term Variations - An Investigation using Electrochemical and Weight-loss Methods  
Proceedings 6th European Corrosion Conference, London 1977.
- (5) NORDFORSK-prosjekt: Atmosfærisk korrosjon, Delprosjekt 1.2:  
"Undersøkelser på feltstasjoner og bygninger". Rapport under utarbeidelse.
- (6) "Corrosiveness of various atmospheric test sites as measured by specimens of steel and zinc", Metal Corrosion in the Atmosphere, ASTM STP 435, ASTM 1968 pp. 360-391.

- (7) Hulthen, M.,  
Atmosfärisk korrosion, Meteologiska och atmosfärkemiska aspekter,  
Korrosion och Metallskydd nr 21,  
mars 1974, KTH, Stockholm.
- (8) Rozenfeld, I.L.  
Atmospheric Corrosion of Metals,  
s. 96, Houston, Texas, NACE, 1972.
- (9) Barton, K.  
Schutz gegen atmosphärische  
Korrosion, s. 46, Prag 1972.
- (10)  
NORDFORSK-prosjekt: Atmosfærisk  
korrosjon, Delprosjekt 1.1:  
"Enfaktorforsøk på laboratoriet"  
Rapport under utarbeidelse.
- (11) Whitman, G.W.,  
Russel, R.P.,  
Altieri, V.J.  
Effect of Hydrogen-Ion Concentration on the Submerged Corrosion of Steel, Ind. Eng. Chem., vol. 16, no. 7, s. 665-670.
- (12) Schjoldager, J.  
Svovelforurensninger i luft og nedbør ved norske bakgrunnsstasjoner. NILU TN nr. 9./75.
- (13) Schaug, J.  
Svovel- og nitrogenforurensninger ved norske bakgrunnsstasjoner. Døgnmålinger 1975. NILU TN nr. 13/77.
- (14) Schaug, J.  
Svovel- og nitrogenforurensninger ved norske bakgrunnsstasjoner. Rapport under utarbeidelse.
- (15) Guttmann, H.,  
Sereda, P.  
"Measurement of Atmospheric Factors Affecting the Corrosion of Metals". Metal Corrosion in the Atmosphere, ASTM STP 435, American Society for Testing and Materials, 1968, pp. 326-359.
- (16) Beranek, E.,  
Barton, K.  
Zum Begriff "Korrosionsaggressivität" der Atmosphäre in Bezug auf Kohlenstoffstähle, Werkstoffe u. Korrosion 24, Heft 5, 1973, s. 372-378.

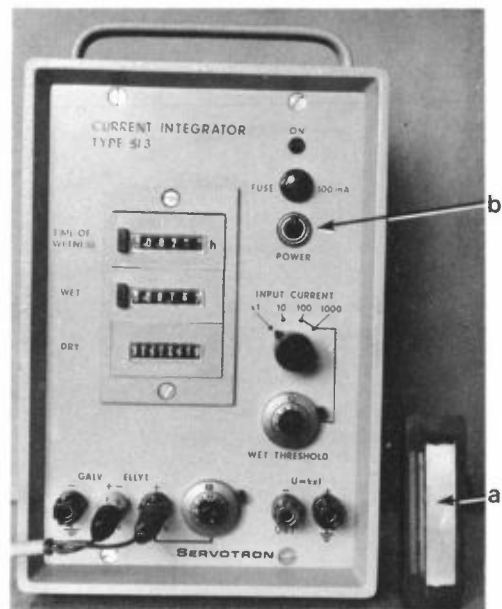
- (17) Atteraas, L,  
Hagerup, O.A.  
"Atmospheric Corrosion in Western  
Norway 4-year Test Results", 7. NKM  
pp. 57-70. Trondheim 1975
- (18) Guttmann, H.  
"Effects of Atmospheric Factors  
on the Corrosion of Rolled Zinc".  
Metal Corrosion in the Atmosphere,  
ASTM STP 435, American Society for  
Testing and Materials, 1968, pp.223-239.
- (19) Ellis, O.B.  
"Effect of Weather on the Initial  
Corrosion Rate of Sheet Zinc".  
Proceedings, American Society  
for Testing and Materials, vol 47  
1947, pp. 152-170.
- (20) Schikorr, G.  
Atmospheric Corrosion Resistance  
of Zinc. American Zinc Institute,  
New York, and Zinc Development  
Association, London, 1965.
- (21) Rose, R.M.,  
Shepard, L.A.,  
Wullf, J.  
The Structure and Properties of  
Materials. Vol IV Electronic  
Properties, John Wiley & Sons, Inc.  
New York, July 1967.

BILAG 1



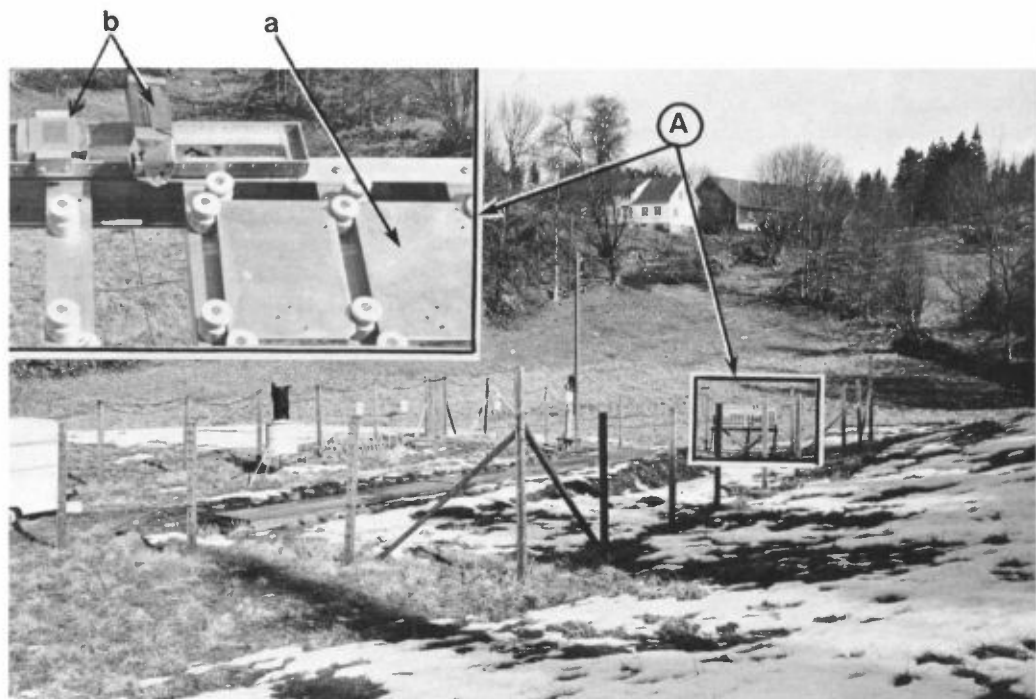


Stasjonsbeliggenhet.



Figur 1: Korrosjonsstasjon Birkenes – geografisk beliggenhet.

Figur 3: Elektrokjemisk Zn/Zn-celle (a), strømintegrator (b).



Figur 2: Korrosjonsstasjon Birkenes – A: korrosjonsstativ, store vekttapsplater (a) Zn/Zn-celle og tilsvarende små vekttapsplater (b).

Tabell 1: Sammensetning av stål- og sinkprøver benyttet i de ulike eksponeringsprogrammer.

Analysert av Elkem Spigerverket A/S 1977-02-11.

	<u>C</u>	<u>Mn</u>	<u>Si</u>	<u>Ni</u>	<u>Cr</u>	<u>Cu</u>	<u>P</u>	<u>S</u>
Ulegert C-stål, utettet (NILU I+II, NORDFORSK)	.14	.42	.10	.01	.06	.00	.017	.015
Ulegert C-stål, utettet VMI I+II/NILU	.15	.52	.04	.03	.06	.05	.02	.025
Rusttregt stål (Cor-ten) (felles)	.10	.37	.54	.18	.45	.33	.088	.019
	Fe	Cd	Ti	Ni	Cu	Pb	Al	
Ren sink (NILU I+II)	.005	<.0001	<.001	<.0005	.0007	.002	<.0005	
Ren sink (NILU I, NORDFORSK)	.008	<.0001	<.001	<.0005	.0007	.002	<.0005	

PROSEODYRE FOR FJERNING AV KORROSJONSPRODUKTER:

Stål:	Løsning	Betingelser
	HCl, d.1.16	Rom temp.
	Sb <sub>2</sub> O <sub>3</sub> , 20 g/L	15-20 min.
	SnCl <sub>2</sub> , 20 g/L	
Zn:	CrO <sub>3</sub> , 200 g/L	80°C
	BaCrO <sub>4</sub> , 1 g/L	1 min.

Tabell 2: Målte og beregnede verdier for korrosjon, luft/nedbør sammensetning og meteorologi for Birkenes i perioden 1974-10-01 til 1976-12-31.

År og Mnd	KORROSJONS DATA						KJEMISKE PARAMETER							
	Zn		C-stål		P-stål		Nedbør (Ionene angitt i mg/m <sup>2</sup> )				Luft			
	g/m <sup>2</sup>	MY	g/m <sup>2</sup>	MY	g/m <sup>2</sup>	MY	pH	NH <sup>4+</sup>	Ca++	SO <sub>4</sub> --	Cl-	NO <sub>3</sub> --	SO <sub>2</sub> (µg/m <sup>3</sup> )	
74OKT	4.80	.67	18.0	2.2	13.0	1.6	(4.20)	67	23	698	244	71	2	
74NOV	6.00	.84	102.0	13.0	60.0	7.6	(4.20)	126	40	967	795	122	1	
74DES	4.50	.63	17.0	2.2	21.0	2.7	(4.45)	27	28	248	251	34	4	
3MND	6.70	.94	51.0	6.5	42.0	5.3	(4.24)	220	91	1913	1300	227	2	
75JAN	3.00	.42	29.0	3.6	20.0	2.5	(4.40)	165	54	1014	1152	170	6	
75FEB	5.60	.78	21.0	2.7	13.0	1.7	(4.40)	11	4	52	38	9	5	
75MAR	3.30	.46	11.0	1.4	14.0	1.7	(4.03)	40	7	194	51	40	5	
6MND	6.50	.91	90.0	11.6	65.0	8.3	(4.29)	436	156	3173	2541	446	3	
75APR	1.60	.23	16.0	2.1	16.0	2.0	(4.04)	34	11	292	64	42	2	
75MAI	5.60	.79	20.0	2.5	18.0	2.3	(4.01)	63	29	539	127	67	5	
75JUN	5.30	.75	23.0	2.9	18.0	2.3	(4.19)	27	5	184	25	25	4	
75JUL	5.50	.77	22.0	2.8	23.0	2.9	(4.27)	9	7	150	35	12	13	
75AUG	5.70	.80	19.0	2.4	23.0	2.9	(4.23)	15	4	107	25	5	4	
75SEP	5.20	.73	37.0	4.7	-	-	(4.32)	101	65	865	483	98	3	
12MND	10.30	1.44	167.0	21.3	110.0	14.0	(4.25)	685	277	5310	3300	695	4	
75OKT	12.30	1.73	27.0	3.4	-	-	(4.20)	26	15	308	77	35	4	
75NOV	7.20	1.01	26.0	3.3	-	-	(4.26)	94	44	643	268	82	4	
75DES	5.80	.81	14.0	1.7	-	-	(4.49)	20	13	190	266	22	3	
76JAN	3.00	.42	23.0	2.9	-	-	(4.89)	8	14	106	282	7	6	
76FEB	4.30	.60	41.0	5.2	-	-	(3.93)	73	18	512	181	76	23	
76MAR	2.20	.31	27.0	3.4	-	-	(4.36)	15	9	126	118	15	15	
76APR	3.70	.52	24.0	3.0	-	-	(4.23)	18	5	61	45	9	5	
76MAI	9.00	1.26	34.0	4.3	-	-	(4.11)	98	54	676	116	80	6	
76JUN	6.70	.94	23.0	3.0	-	-	(4.07)	9	10	121	113	8	8	
75/76	5.70	.80	133.0	17.0	-	-	(4.27)	478	258	3865	2019	449	7	
76JUL	2.00	.28	20.0	2.5	-	-	(4.62)	22	12	137	20	12	16	
76AUG	2.70	.38	27.0	3.4	-	-	(4.15)	-	2	10	-	-	11	
76SEP	5.00	.70	20.0	2.5	-	-	(4.24)	120	17	570	167	357	5	
12MND	-	-	-	-	-	-	(4.27)	495	213	3460	1663	703	8	
24MND	15.20	2.12	239.0	30.4	171.0	21.8	(4.26)	1180	490	8770	4963	1398	6	
76OKT	7.80	1.09	34.0	4.3	-	-	(4.29)	56	12	2047	570	69	6	
76NOV	-	-	-	-	-	-	(4.21)	123	65	796	327	633	6	
76DES	-	-	-	-	-	-	(3.90)	93	17	448	430	424	10	

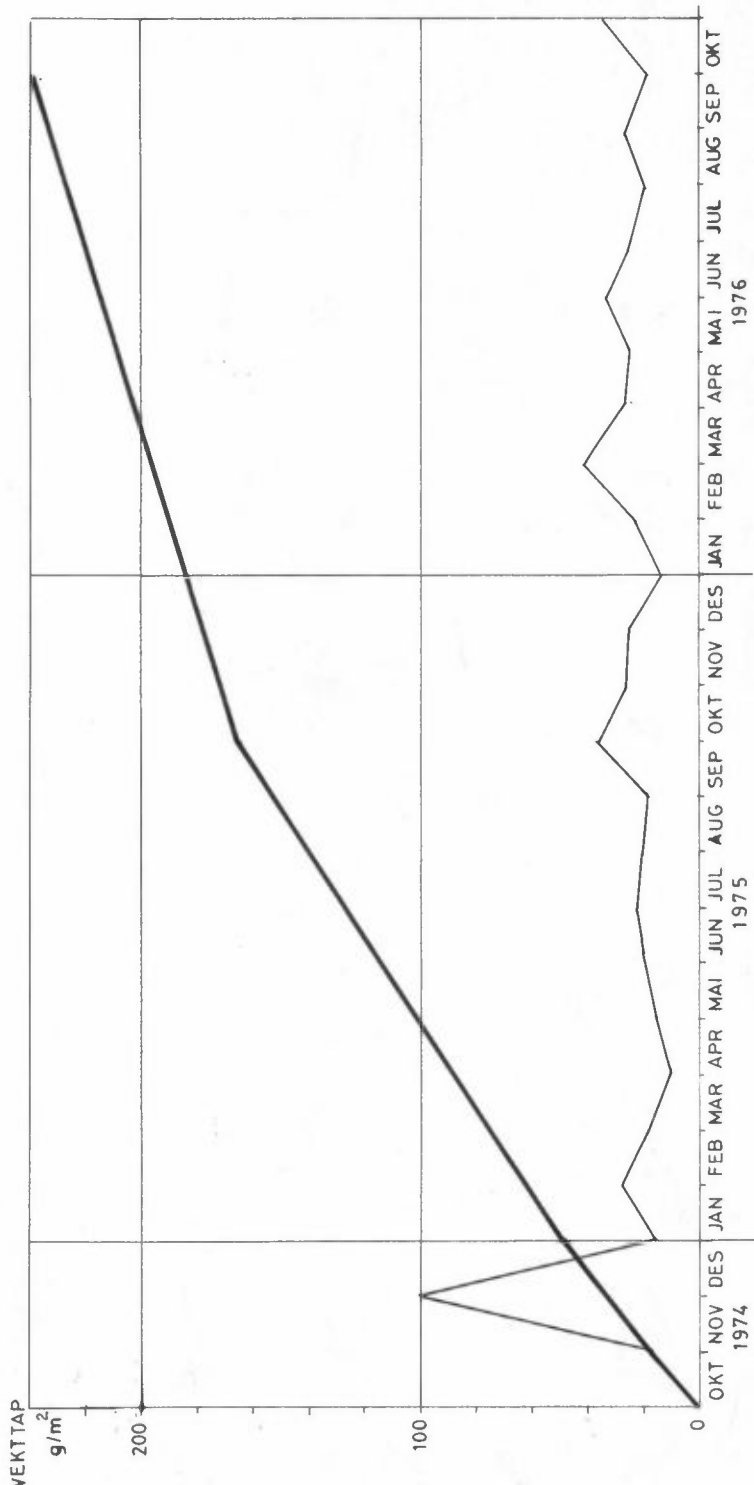
Tabell 2 forts.:

ÅR OG Mnd	METEOROLOGISKE PARAMETER							PLUVIOMETER			NILUS NEDBØRSMLER mm
	(F) REG. (T)	% Rel. Fukt	T>85%	T>90%	T>95%	Temp	Døgn <0°C	Døgn	Timer	mm	
74OKT	31	31	86	471	386	218	3.8	18	98	18	133
74NOV	30	30	92	607	559	397	1.1	19	273	21	217
74DES	28	25	91	538	479	185	.8	19	233	23	164
3MND	89	86	89	1616	1424	800	1.9	56	604	62	514
75JAN	31	30	91	622	548	318	1.4	21	214	25	249
75FEB	27	27	88	453	412	183	-3.2	26	448	1	11
75MAR	24	24	78	308	267	169	0.0	21	233	11	9
6MND	171	167	87	2999	2651	1470	.6	124	1499	99	836
75APR	30	30	70	301	210	23	2.4	22	187	10	81
75MAI	31	31	72	338	294	77	7.9	16	90	12	80
75JUN	30	30	66	237	204	48	11.3	5	25	5	41
75JUL	31	31	71	298	238	50	15.0	0	0	7	53
75AUG	31	31	74	351	299	73	15.5	0	0	8	34
75SEP	30	30	85	483	405	90	8.7	6	29	22	172
12MND	354	350	80	5007	4301	1831	5.4	173	1830	153	1297
75OKT	31	31	86	493	425	162	4.8	9	115	14	96
75NOV	30	30	94	694	648	276	1.4	16	267	21	170
75DES	31	31	81	311	241	93	1.3	24	294	9	78
76JAN	31	31	85	504	367	74	-4.5	29	497	14	90
76FEB	29	21	86	492	333	27	-2.5	17	235	16	82
76MAR	31	30	73	248	157	57	-2.6	28	458	10	58
76APR	30	24	66	152	107	28	3.9	18	101	6	29
76MAI	31	31	72	370	305	36	8.3	10	33	15	135
76JUN	30	30	65	211	141	33	13.7	0	0	6	27
75/76	366	351	78	4607	3666	999	5.3	157	2029	148	1024
76JUL	31	31	65	240	187	31	15.3	0	0	5	31
76AUG	31	31	66	278	197	72	13.3	0	0	3	7
76SEP	28	28	78	358	292	76	6.5	11	67	14	110
12MND	364	349	76	4351	3400	965	4.9	162	2067	133	913
76OKT	31	31	90	6115	563	76	3.5	11	119	22	351
76NOV	30	30	88	571	444	86	.9	24	302	20	205
76DES	23	23	89	454	298	91	-5.9	21	422	15	141

BILAG 2  
ULEGERT STÅL

- VEKTTAPSMÅLINGER
- REGRESJONSANALYSER





Figur 4: Korrasjon av ulegert stål på Birknes ved månedlige (—) og 1, 3, 6, 12 og 24 måneders (—) eksponering.

Tabell 3

## MANEDSKORRUSJON BIRKELAND

\*\*\* REG \*\*\*

## 25 DATASETT

## MIDDELVERDI, MAKSIMUM OG STANDARD AVVIK

	STAL	PH	NH4	CA	S04	CL	N03	S02	RELF	T65
27.000	4.263	49.640	20.080	432.680	221.400	58.880	6.400	.788	398.920	
102.000	4.890	165.000	45.000	2047.000	1152.000	357.000	23.000	.940	694.000	
17.176	.207	44.795	17.846	452.163	272.431	75.014	4.830	.098	147.105	
T90	T95	TMID	D<0	T<0	DNED	TNED	MM P	MM N	H+	
330.560	114.830	5.084	13.840	160.640	12.720	102.440	102.520	114.440	59.929	
648.000	397.000	15.500	29.000	497.000	25.000	351.000	506.000	560.000	117.490	
146.050	99.724	6.179	9.375	151.589	6.901	82.152	113.698	134.547	24.308	

\*\*\*\*\* KØRRELASJONSMATRISEN \*\*\*\*\*

	STAL	PH	NH4	CA	S04	CL	N03	S02	RELF	T65
STAL	1.000	-	117	475	396	423	530	218	-	088
PH	-	117	1.000	-	175	105	199	-	101	381
NH4	-	475	-	175	1.000	805	657	742	-	082
CA	-	396	-	001	805	1.000	513	642	-	082
S04	-	423	-	105	657	513	1.000	695	-	082
CL	-	530	-	199	742	642	695	1.000	-	082
N03	-	218	-	126	794	433	456	436	-	082
S02	-	017	-	137	-	182	-	247	-	082
RELF	-	341	-	227	-	503	-	477	-	082
T85	-	412	-	175	-	593	-	580	-	082
T90	-	408	-	155	-	575	-	664	-	082
T95	-	494	-	087	-	558	-	640	-	082
TMID	-	137	-	198	-	179	-	207	-	082
D<0	-	031	-	251	-	475	-	513	-	082
T<0	-	101	-	426	-	037	-	047	-	082
DNED	-	377	-	052	-	737	-	742	-	082
TNED	-	421	-	062	-	605	-	626	-	082
MM P	-	391	-	082	-	619	-	496	-	082
MM N	-	381	-	161	-	634	-	511	-	082
H+	-	088	-	946	-	119	-	042	-	082
STAL	PH	NH4	CA	S04	CL	N03	S02	RELF	T85	T90
										T95
										TMID
										D<0
										T<0
										DNED
										TNED
										MM P
										MM N
										H+

\*\*\*\*\* \*\*\*\*\* \*\*\*\*\* \*\*\*\*\* \*\*\*\*\*

Tabell 4: Regresjonslikningene for månedskorrosjonen av ulegert stål på Birkenes. Signifikansnivået er angitt ved  $\alpha(0.05)$ ,  $\alpha\alpha(0.01)$  og  $\alpha\alpha\alpha(0.005)$ .

REGRESSJONSIGNINGENE:

STAL =	-9.7055*PH	+	68.3765	R= -.1171 , RR= .9863
STAL =	.1823*NH4	+	17.9529	R= .4753 , RR= .7741 **
STAL =	.3808*CA	+	19.3529	R= .3957 , RR= .8434 *
STAL =	.0161*S04	+	20.0538	R= .4226 , RR= .8214 *
STAL =	.0334*CL	+	19.5961	R= .5304 , RR= .7186 ***
STAL =	.0499*N03	+	24.0636	R= .2178 , RR= .9526
STAL =	-.0607*S02	+	27.3886	R= -.0171 , RR= .9997
STAL =	59.6618*RELF	+	-20.0374	R= .3409 , RR= .8838 *
STAL =	.0480*T85	+	7.8320	R= .4115 , RR= .8306 *
STAL =	.0480*T90	+	11.1491	R= .4077 , RR= .8337 *
STAL =	.0850*T95	+	17.2316	R= .4937 , RR= .7563 **
STAL =	-.3802*TMID	+	28.9330	R= -.1368 , RR= .9813
STAL =	.0564*DCO	+	26.2192	R= .0308 , RR= .9991
STAL =	.0114*TCO	+	25.1699	R= .1005 , RR= .9899
STAL =	.9378*DNED	+	15.0705	R= .3768 , RR= .8580 *
STAL =	.0881*TNED	+	17.9751	R= .4214 , RR= .8224 *
STAL =	.0590*MM P	+	20.9494	R= .3907 , RR= .8474 *
STAL =	.0487*MM N	+	21.4309	R= .3812 , RR= .8547 *
STAL =	.0623*H+	+	23.2693	R= .0881 , RR= .9922

\*\*\*\*\*

RR=UFORKLART VARIANS/TOTAL VARIANS

*Tabell 4 forts.*

DE 10 BESTE RELASJONER MED TO VARIABLE:

STAL =	-19 1897*FH	+	.0363*CL	+	100. 7642	OVERGANG FRA CL	R= .5769, RR= .6672 (R=.5304) TIL TO VARIABLE: F= 1.70	NOBS= 25
STAL =	.0369*CL	+	.1615*HH	+	9. 1243	OVERGANG FRA CL	R= .5752, RR= .6692 (R=.5304) TIL TO VARIABLE: F= 1.63	NOBS= 25
STAL =	.0110*T95	+	.0633*T95	+	14. 3856	OVERGANG FRA T95	R= .5643, RR= .6816 (R=.4937) TIL TO VARIABLE: F= 2.41	NOBS= 25
STAL =	.0228*CL	+	.0436*T95	+	16. 9294	OVERGANG FRA CL	R= .5633, RR= .6827 (R=.5304) TIL TO VARIABLE: F= 1.16	NOBS= 25
STAL =	.1113*NH4	+	.0571*T95	+	14. 9119	OVERGANG FRA T95	R= .5493, RR= .6983 (R=.4937) TIL TO VARIABLE: F= 1.83	NOBS= 25
STAL =	.0697*NH4	+	.0249*CL	+	13. 0199	OVERGANG FRA CL	R= .5442, RR= .7038 (R=.5304) TIL TO VARIABLE: F= .46	NOBS= 25
STAL =	.0356*CL	+	-.2253*U<0	+	22. 2509	OVERGANG FRA CL	R= .5435, RR= .7046 (R=.5304) TIL TO VARIABLE: F= .44	NOBS= 25
STAL =	.3135*NH4	+	-.0987*ND3	+	17. 2517	OVERGANG FRA NH4	R= .5429, RR= .7053 (R=.4753) TIL TO VARIABLE: F= 2.14	NOBS= 25
STAL =	.0347*CL	+	.3445*SD2	+	17. 1116	OVERGANG FRA CL	R= .5388, RR= .7097 (R=.5304) TIL TO VARIABLE: F= .28	NOBS= 25
STAL =	.0694*T95	+	.0354*MM P	+	15. 4069	OVERGANG FRA T95	R= .5388, RR= .7097 (R=.4937) TIL TO VARIABLE: F= 1.44	NOBS= 25

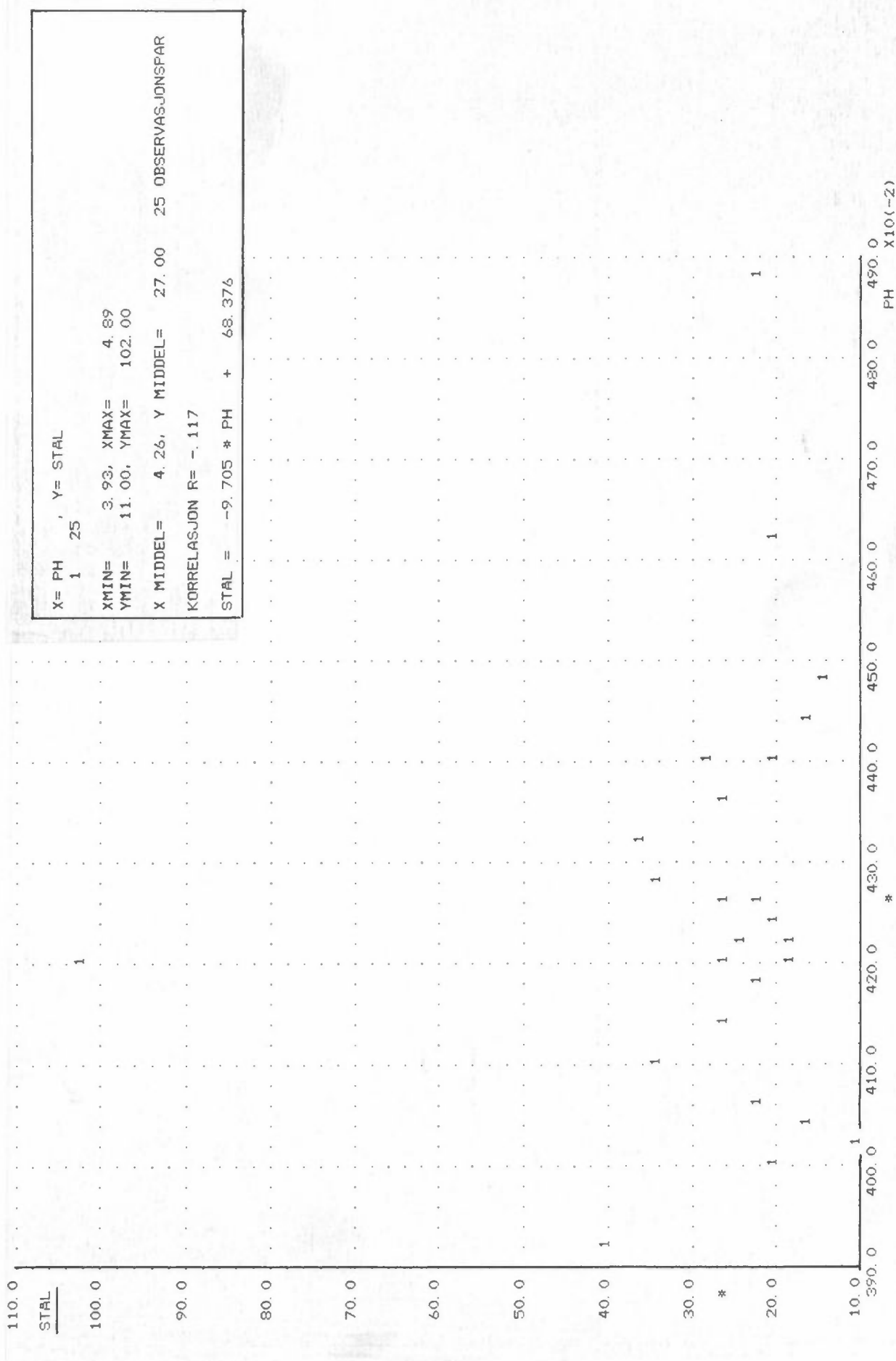
Tabell 4 forts.

DE 10 BESTE RELASJONER MED TRE VARIABLE:

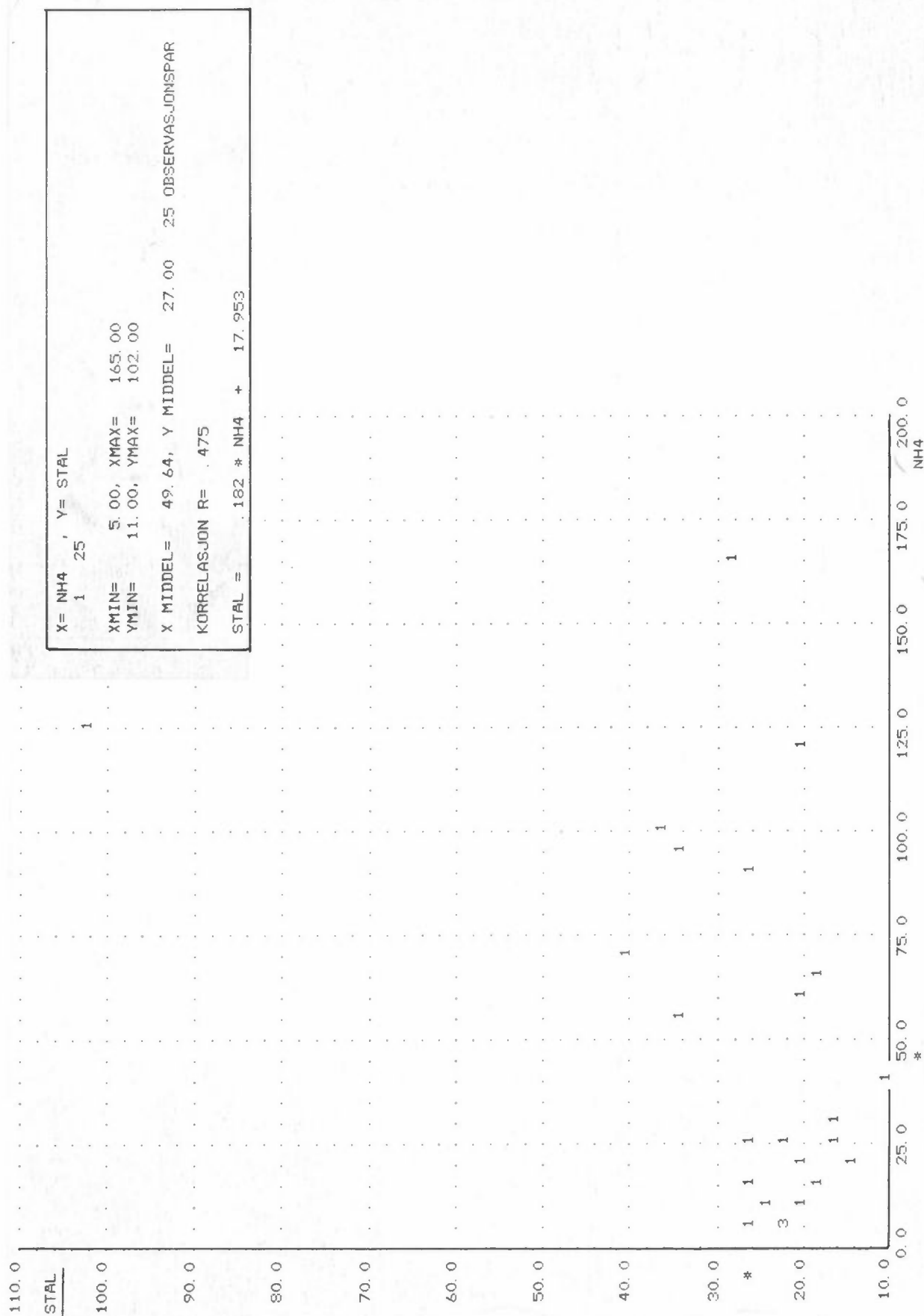
STAL =	. 0260*CL	+	. 0453*T95	+	. 1665*H+	+	6. 0586	R= . 6079, RR= . 6305 (R= . 5752) TIL TRE VARIABLE: F= 1. 29
STAL =	. 0113*S04	+	. 8473*S02	+	. 0849*T95	+	6. 9225	R= . 6044, RR= . 6347 (R= . 5643) TIL TRE VARIABLE: F= 1. 55
STAL =	-18. 2732*PH	+	. 0263*CL	+	. 0406*T95	+	94. 4079	R= . 6032, RR= . 6362 (R= . 5769) TIL TRE VARIABLE: F= 1. 02
STAL =	. 0285*S04	+	. 0435*CL	+	-. 1104*MM N	+	17. 6569	R= . 5949, RR= . 6461
STAL =	. 0178*S04	+	-. 0451*T90	+	. 1084*T95	+	21. 7655	R= . 5933, RR= . 6480 (R= . 5643) TIL TRE VARIABLE: F= 1. 09
STAL =	. 0213*CL	+	. 7072*S02	+	. 0606*T95	+	10. 7908	R= . 5914, RR= . 6503 (R= . 5633) TIL TRE VARIABLE: F= 1. 05
STAL =	. 0289*S04	+	. 0801*T95	+	-. 0674*MM N	+	13. 0179	R= . 5913, RR= . 6504 (R= . 5643) TIL TRE VARIABLE: F= 1. 01
STAL =	. 0146*S04	+	-49. 9038*RELF	+	. 0986*T95	+	48. 6801	R= . 5902, RR= . 6516 (R= . 5643) TIL TRE VARIABLE: F= . 97
STAL =	. 0336*S04	+	. 0413*CL	+	-. 1451*MM P	+	18. 1787	R= . 5885, RR= . 6537
STAL =	. 0238*CL	+	. 0520*T95	+	-. 3195*DCO	+	20. 1726	R= . 5866, RR= . 6559 (R= . 5633) TIL TRE VARIABLE: F= . 86

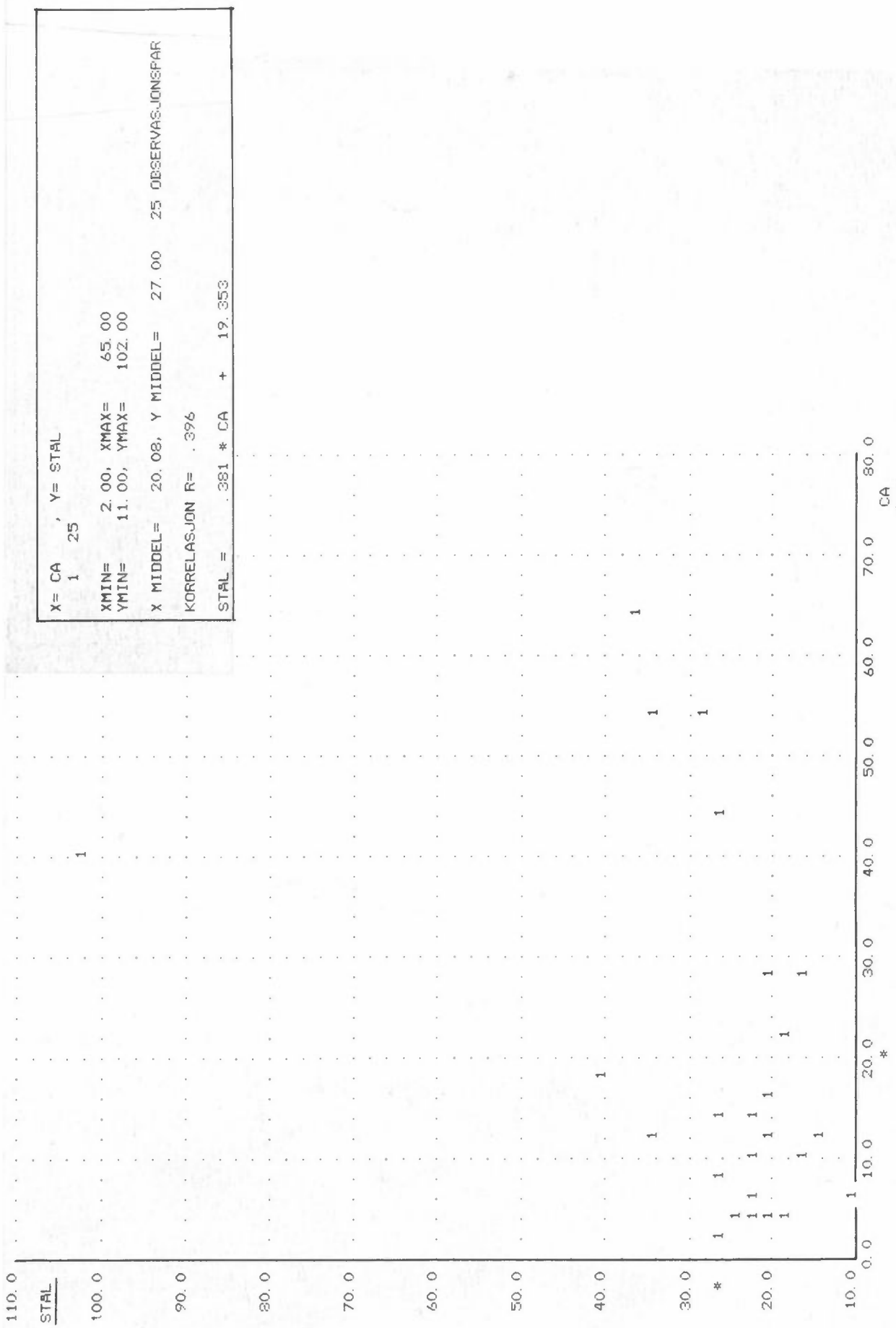
DE 10 BESTE RELASJONER MED FIRE VARIABLE:

STAL =	-34. 0419*PH	+	. 0410*CL	+	-. 5065*DCO	+	. 0987*T90	+ 168. 0326 R= . 6750, RR= . 5444
STAL =	. 0423*CL	+	-. 4688*DCO	+	. 0899*T90	+	. 2650*H+	+ 7. 6471 R= . 6662, RR= . 5562
STAL =	. 0160*S04	+	1. 0101*S02	+	-. 8745*RELF	+	. 1268*T95	+ 49. 3843 R= . 6425, RR= . 5871 (R= . 6044) TIL FIRE VARIABLE: F= 1. 61
STAL =	. 0186*S04	+	. 8949*S02	+	-. 0485*T90	+	. 1289*T95	+ 14. 4506 R= . 6358, RR= . 5958 (R= . 6044) TIL FIRE VARIABLE: F= 1. 30
STAL =	. 0311*S04	+	. 0282*CL	+	. 0501*T95	+	-. 1098*MM N	+ 14. 1204 R= . 6314, RR= . 6013 (R= . 5949) TIL FIRE VARIABLE: F= 1. 48
STAL =	. 3443*NH4	+	-. 0886*N03	+	-. 3186*DCO	+	. 0840*T90	+ 19. 8867 R= . 6284, RR= . 6051
STAL =	. 0193*S04	+	. 1243*T85	+	-. 1811*T90	+	. 1279*T95	+ 14. 2463 R= . 6256, RR= . 6080 (R= . 5933) TIL FIRE VARIABLE: F= 1. 21
STAL =	. 0167*S04	+	. 9977*S02	+	-. 0349*T85	+	. 1163*T95	+ 13. 9654 R= . 6254, RR= . 6081 (R= . 6044) TIL FIRE VARIABLE: F= . 81
STAL =	. 0267*CL	+	. 0526*T95	+	-. 2798*DCO	+	. 1566*H+	+ 9. 5438 R= . 6244, RR= . 6100 (R= . 6079) TIL FIRE VARIABLE: F= . 6
STAL =	. 0266*S04	+	. 7710*S02	+	. 0934*T95	+	-. 0577*MM N	+ 6. 4237 R= . 6228, RR= . 6127 (R= . 6044) TIL FIRE VARIABLE: F= . 7

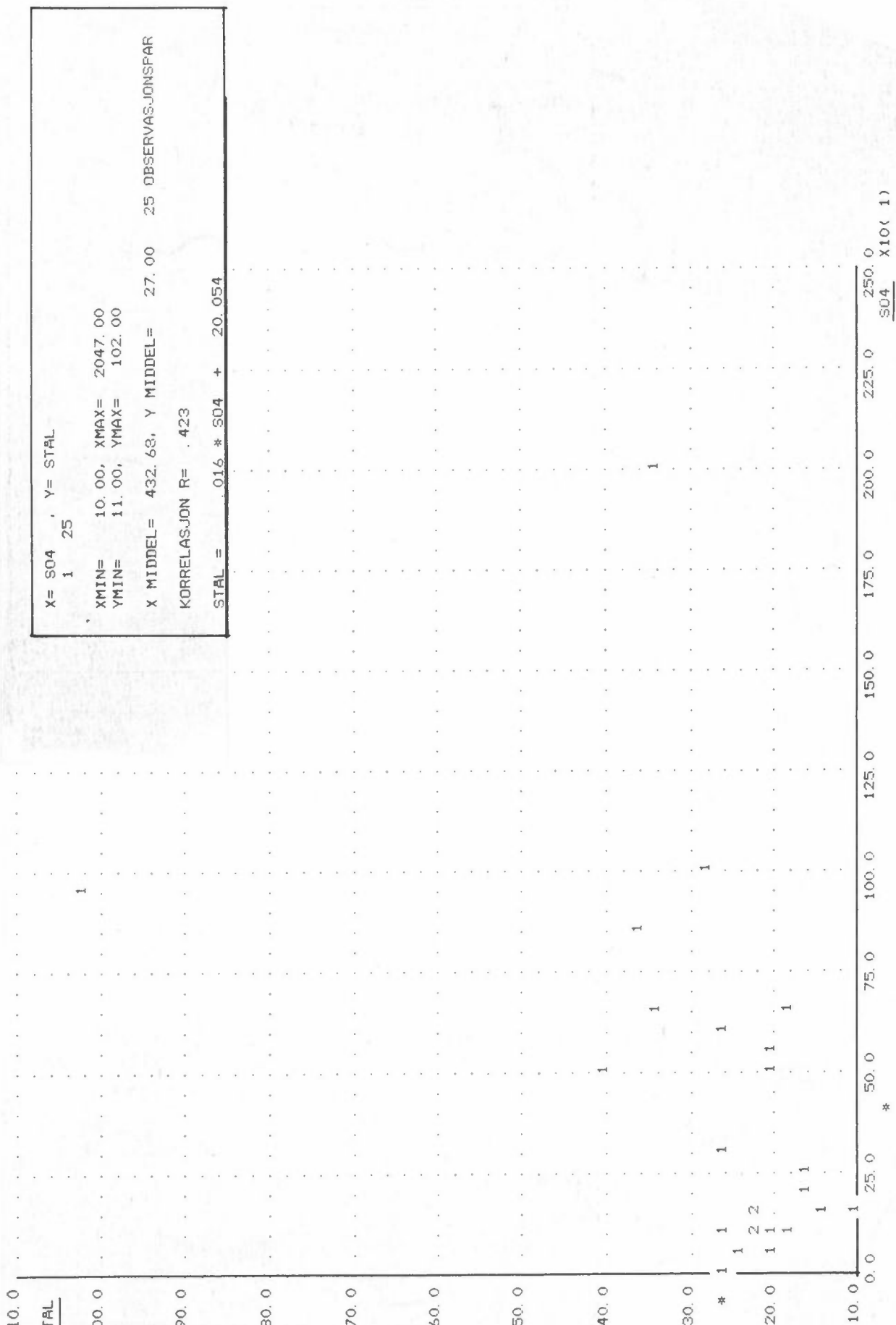


Figur 5.

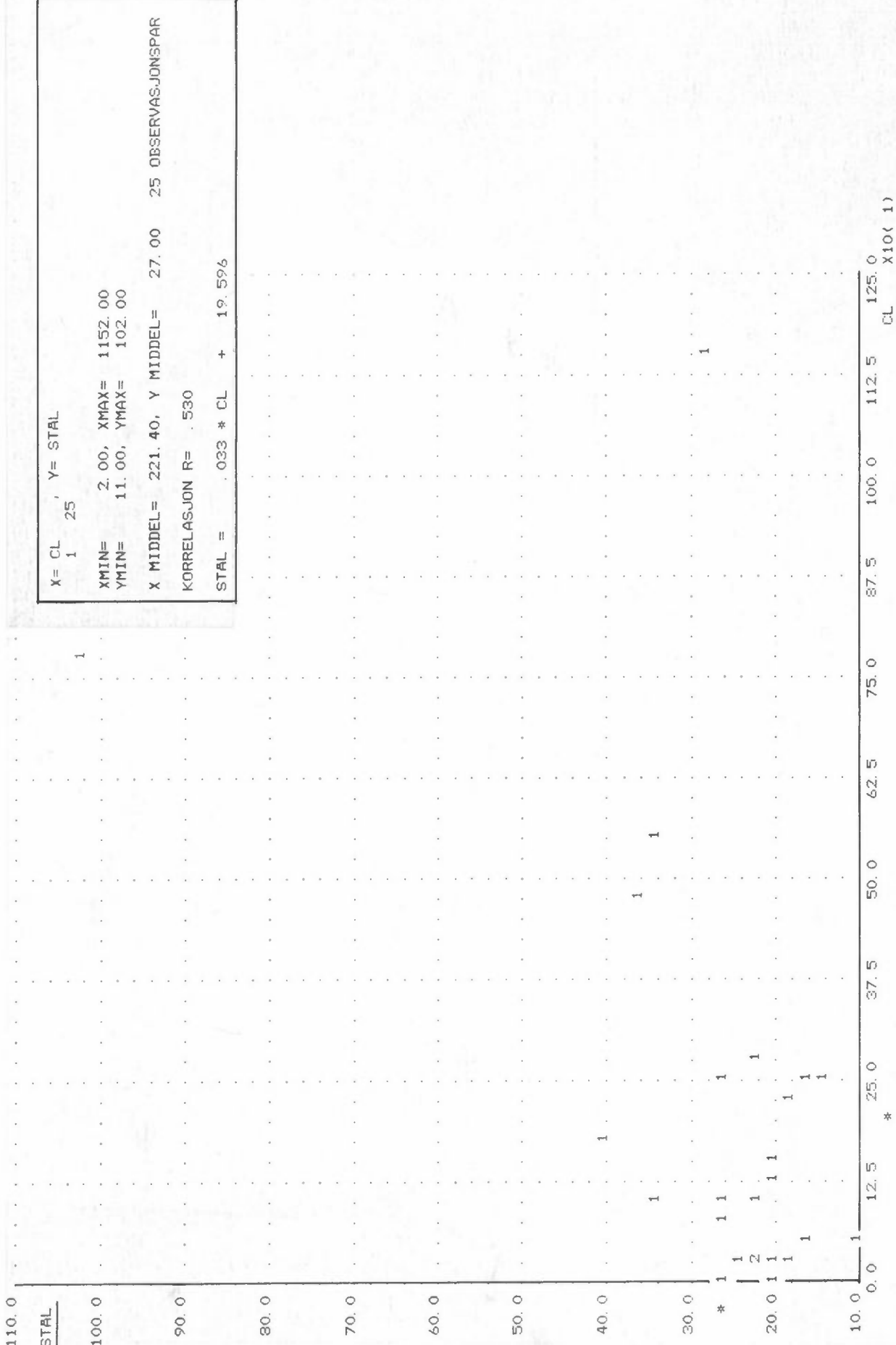




Figur 7.

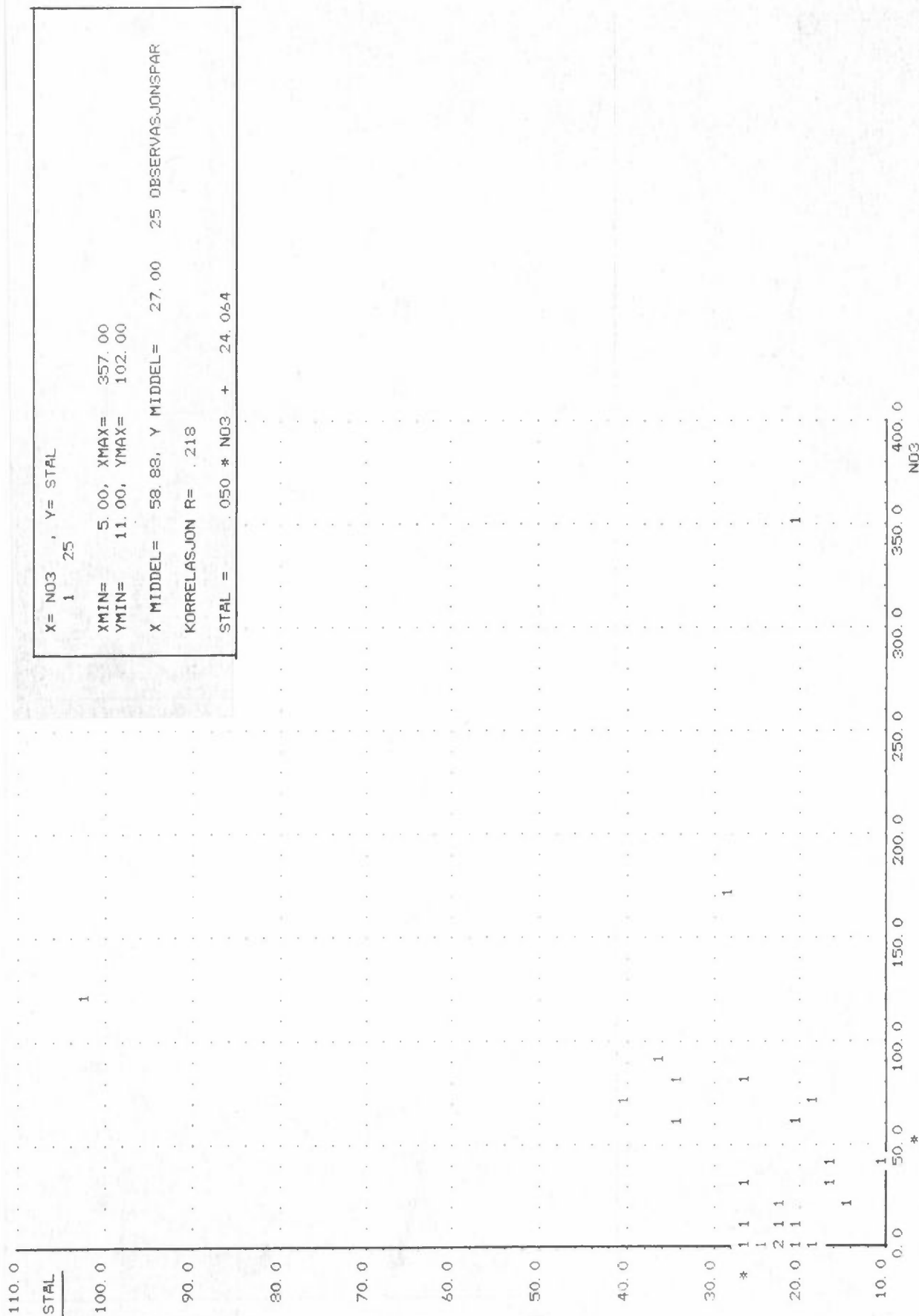


Figur 8.

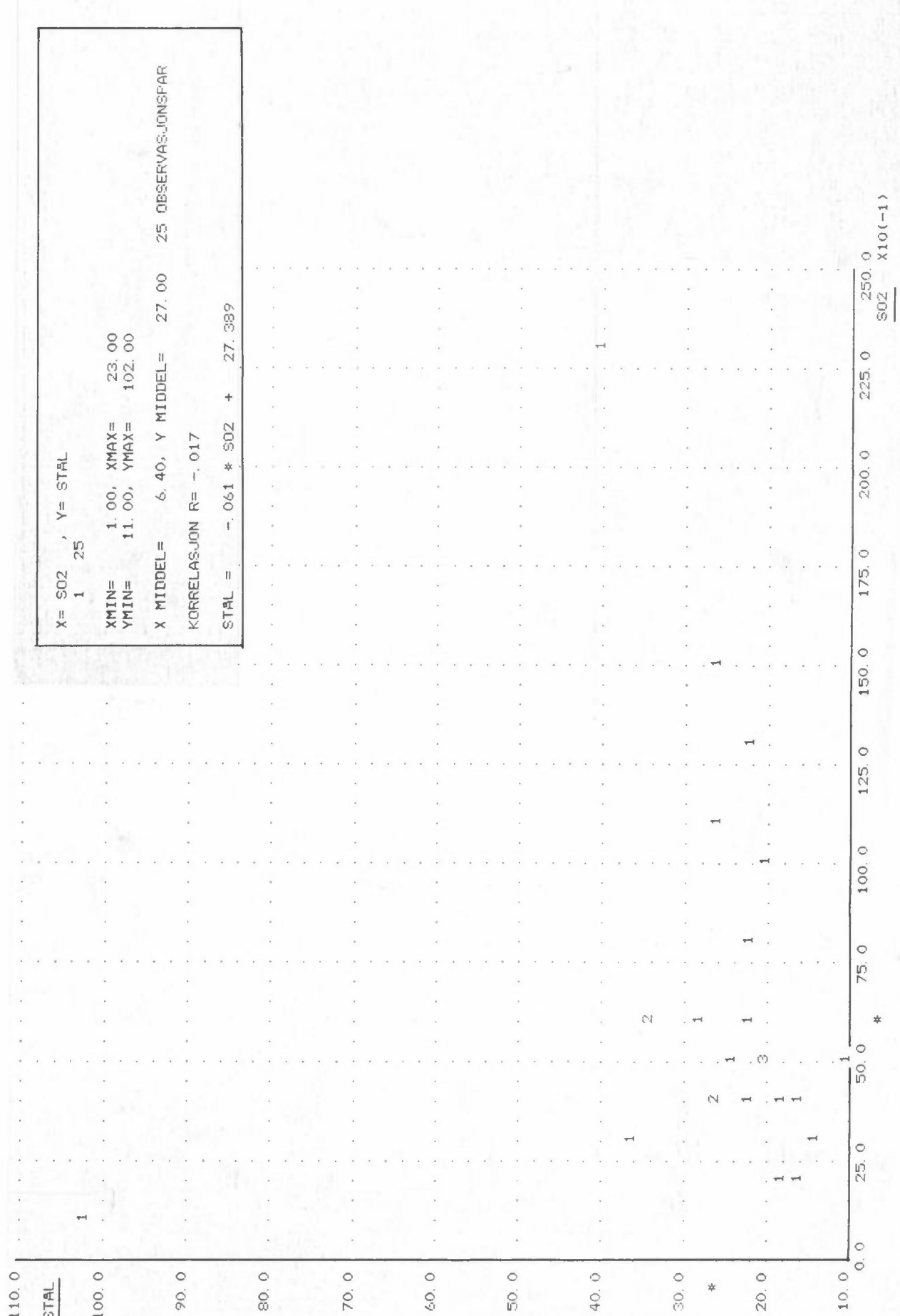


- 66 -

Figur 9.

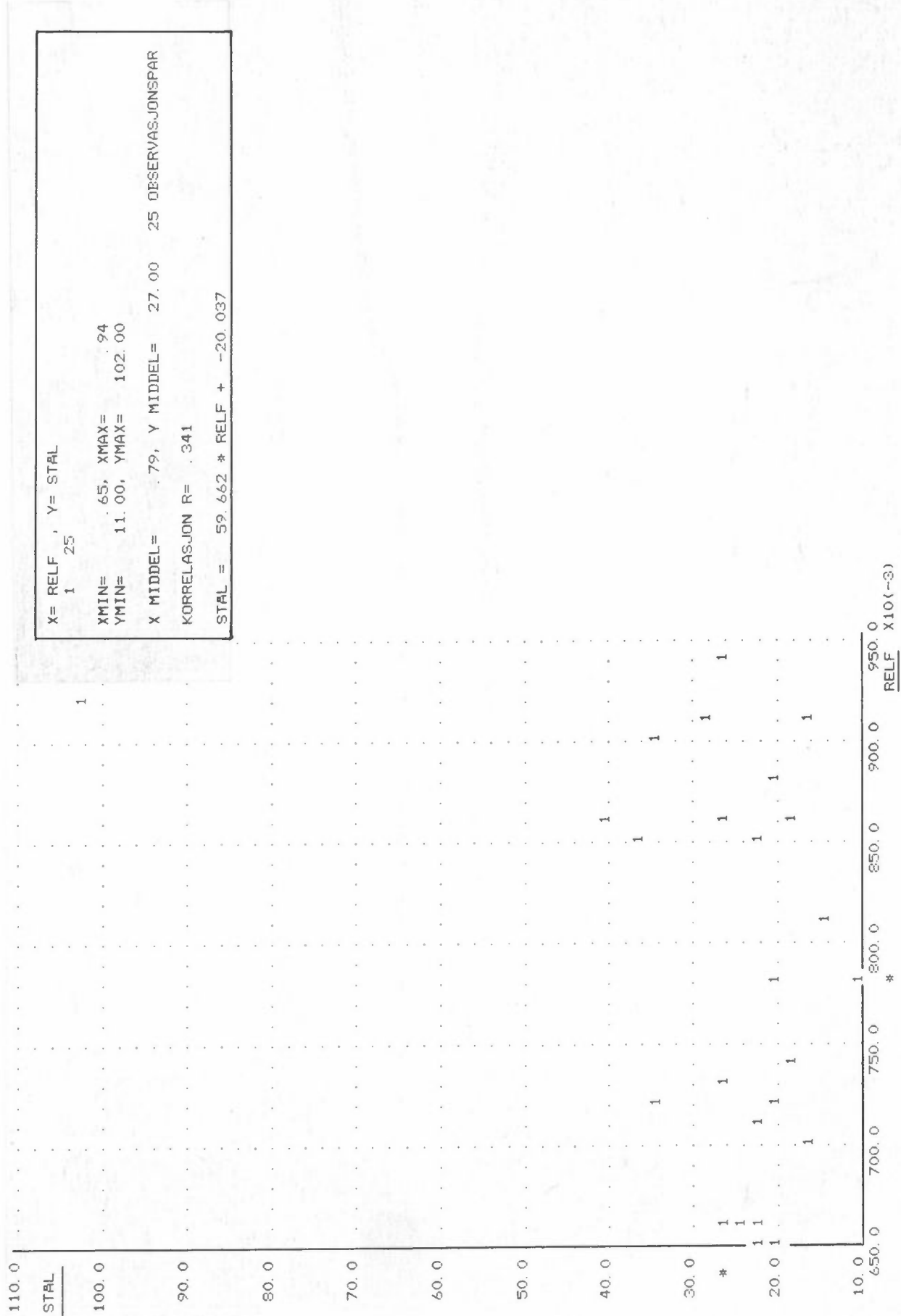


Figur 10.

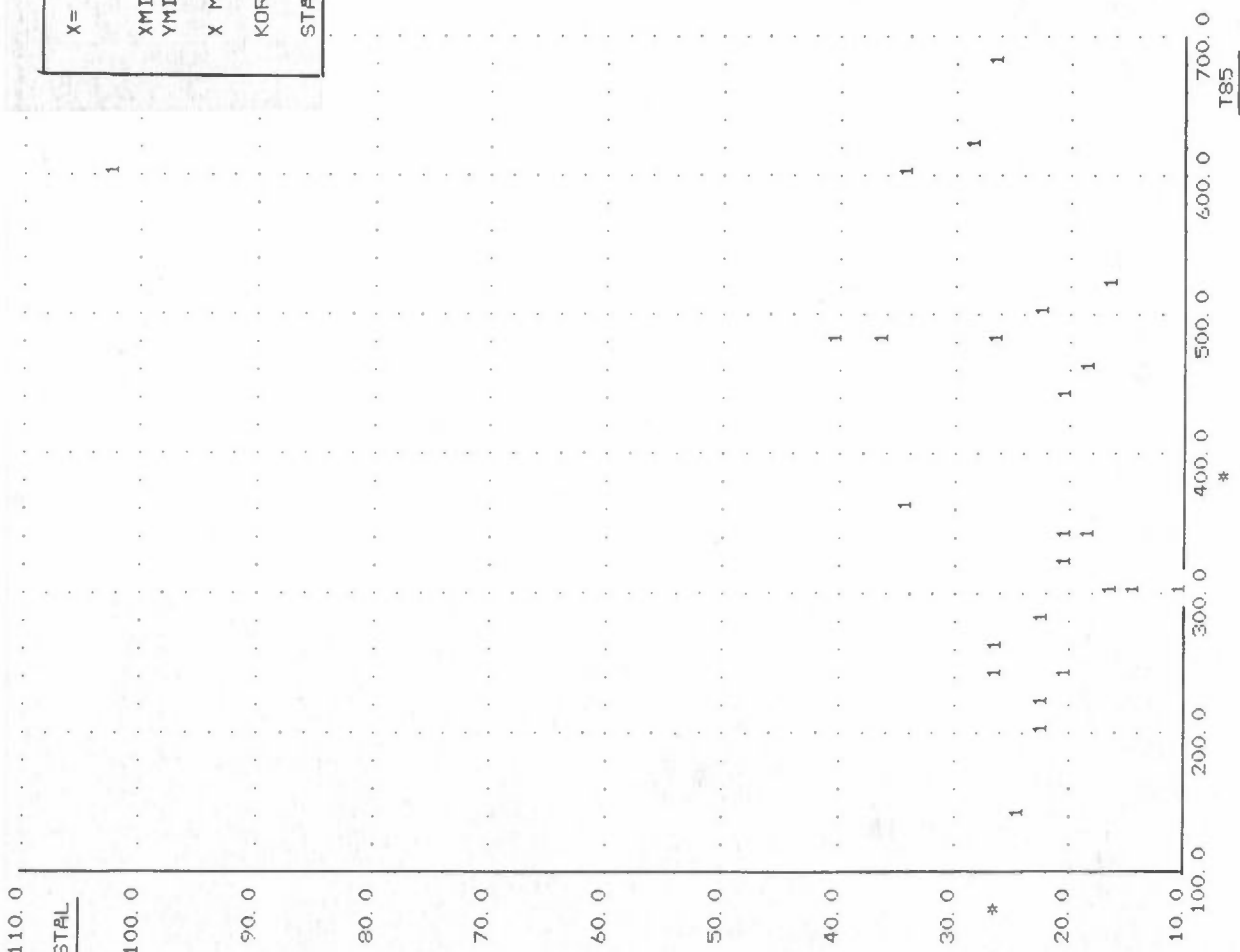


- 68 -

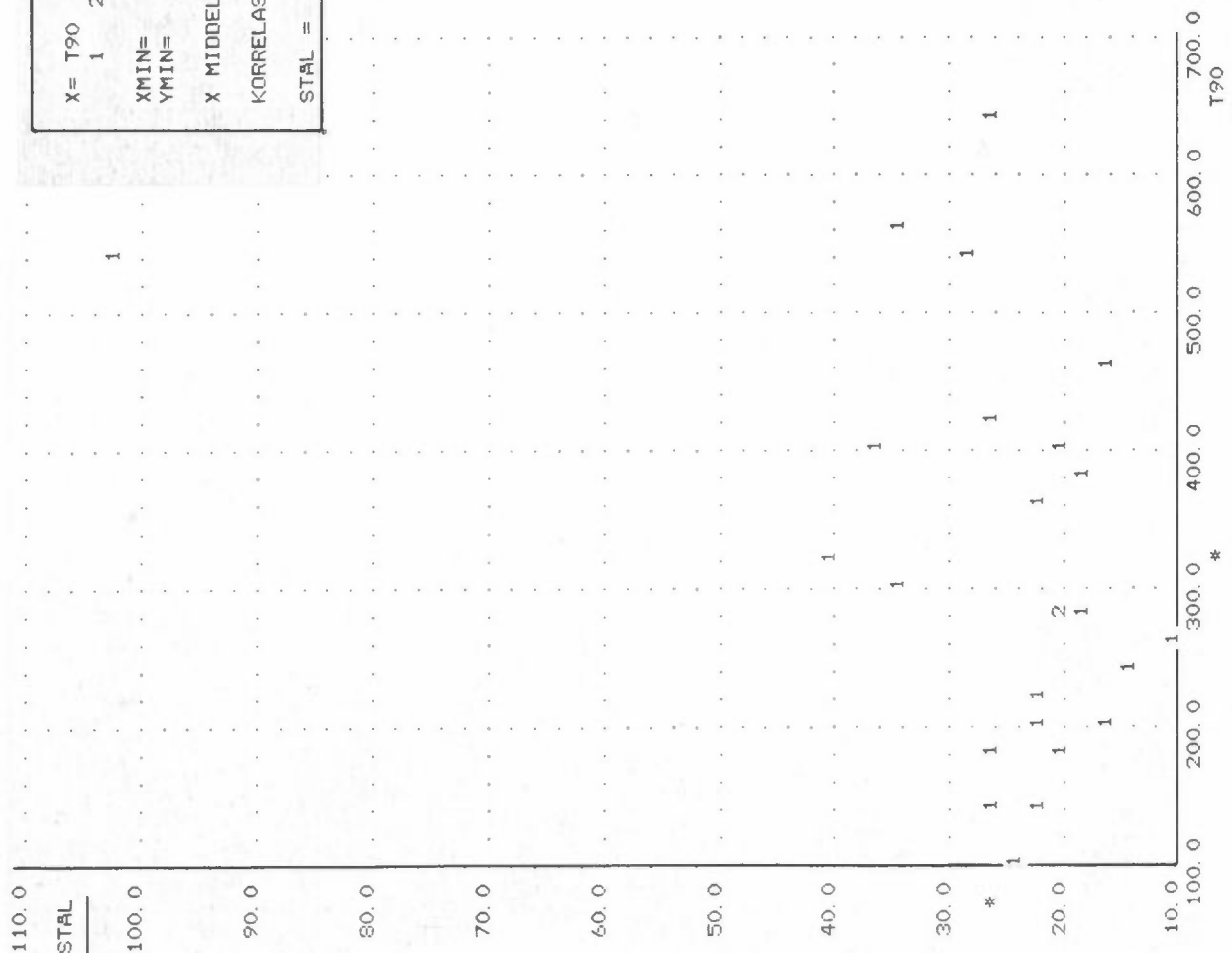
Figur 11.



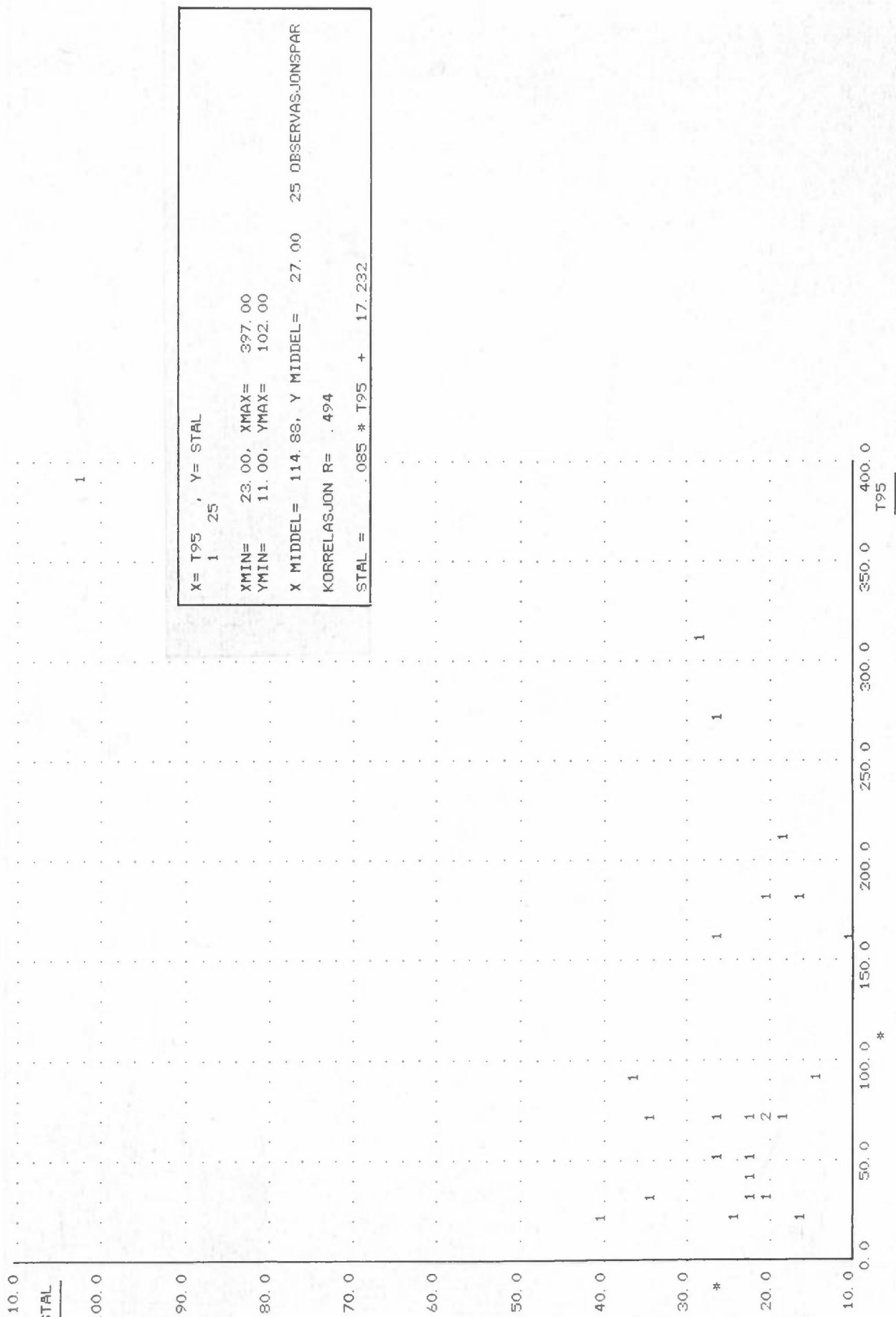
Figur 12.



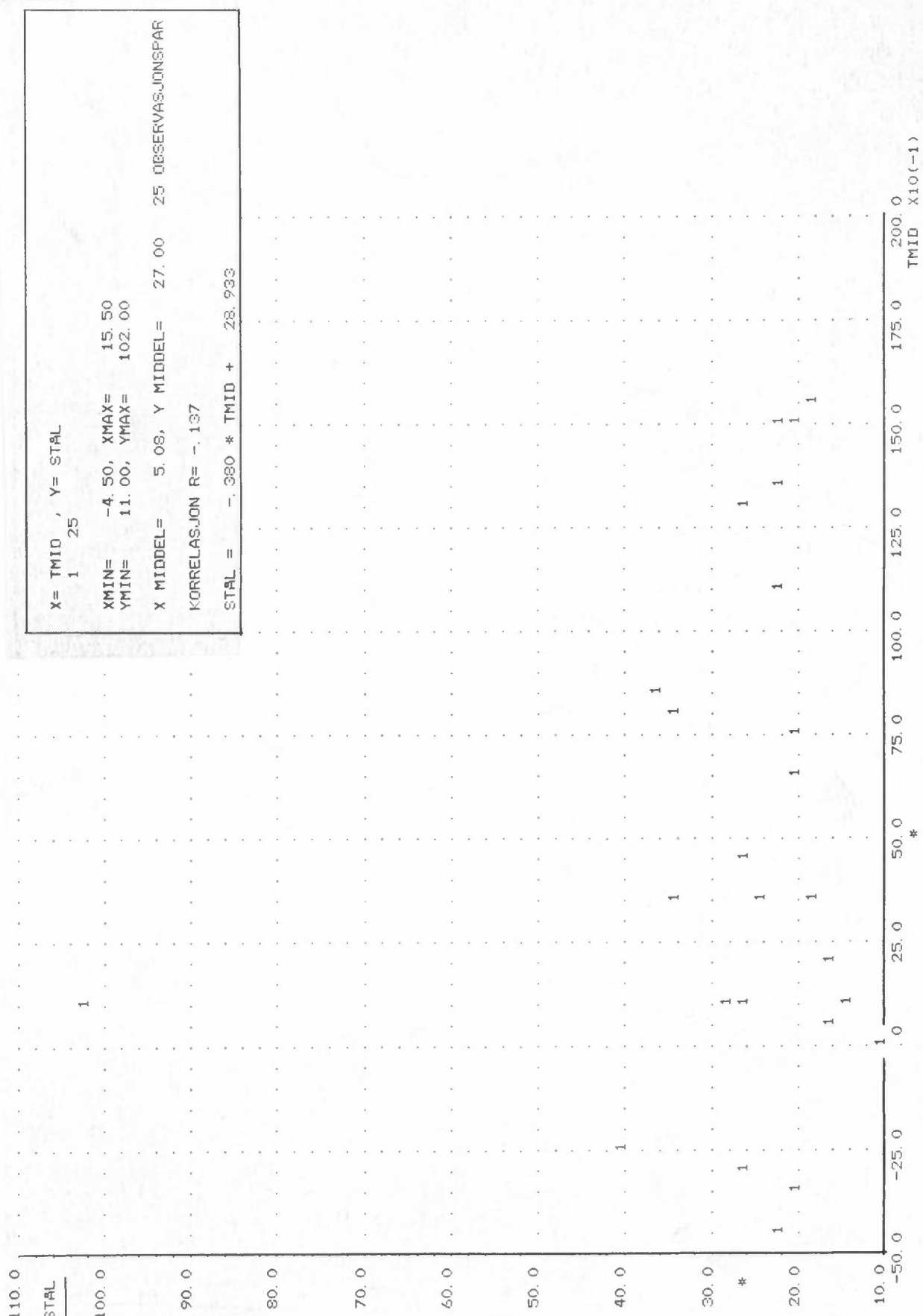
Figur 13.



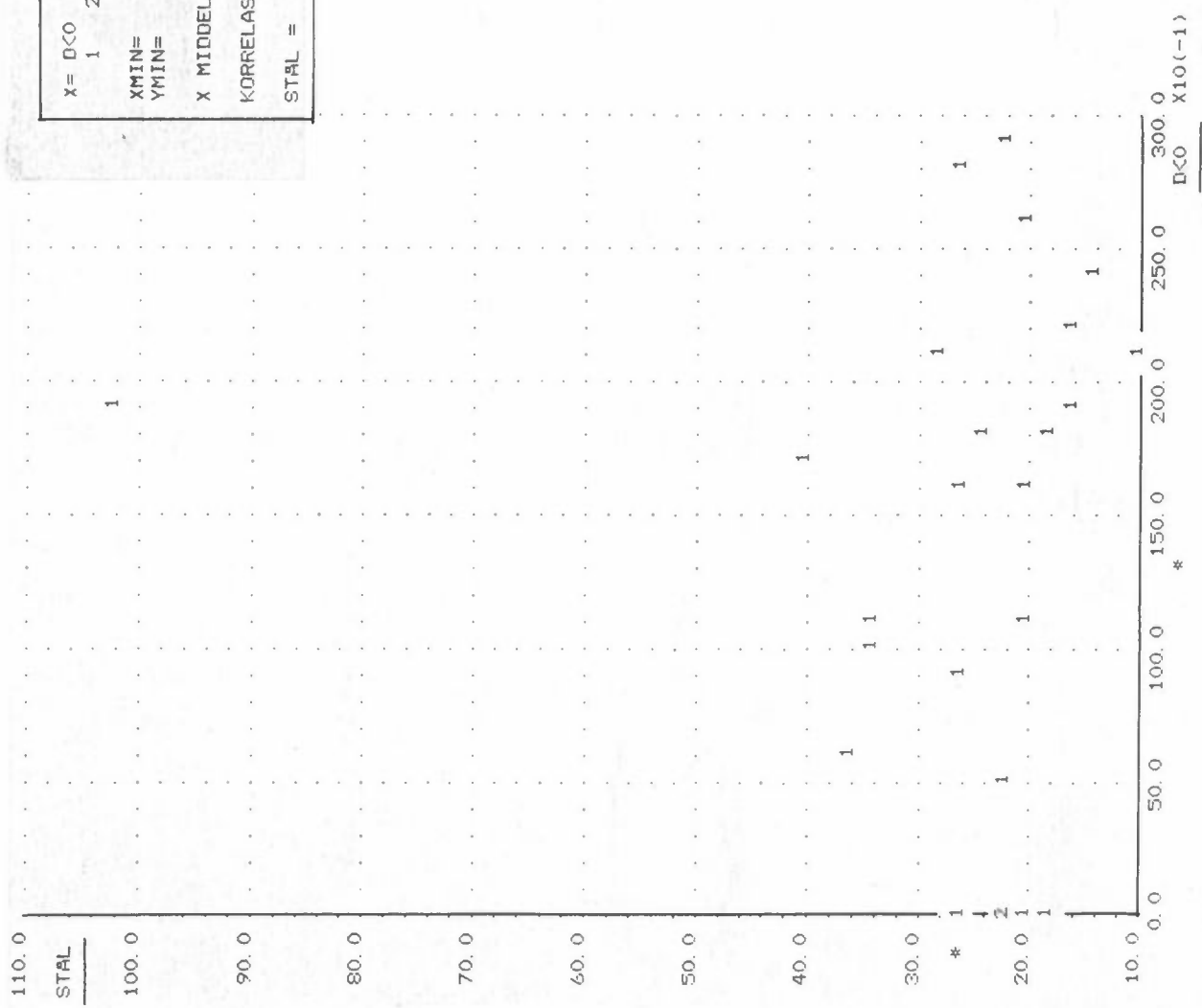
Figur 14.



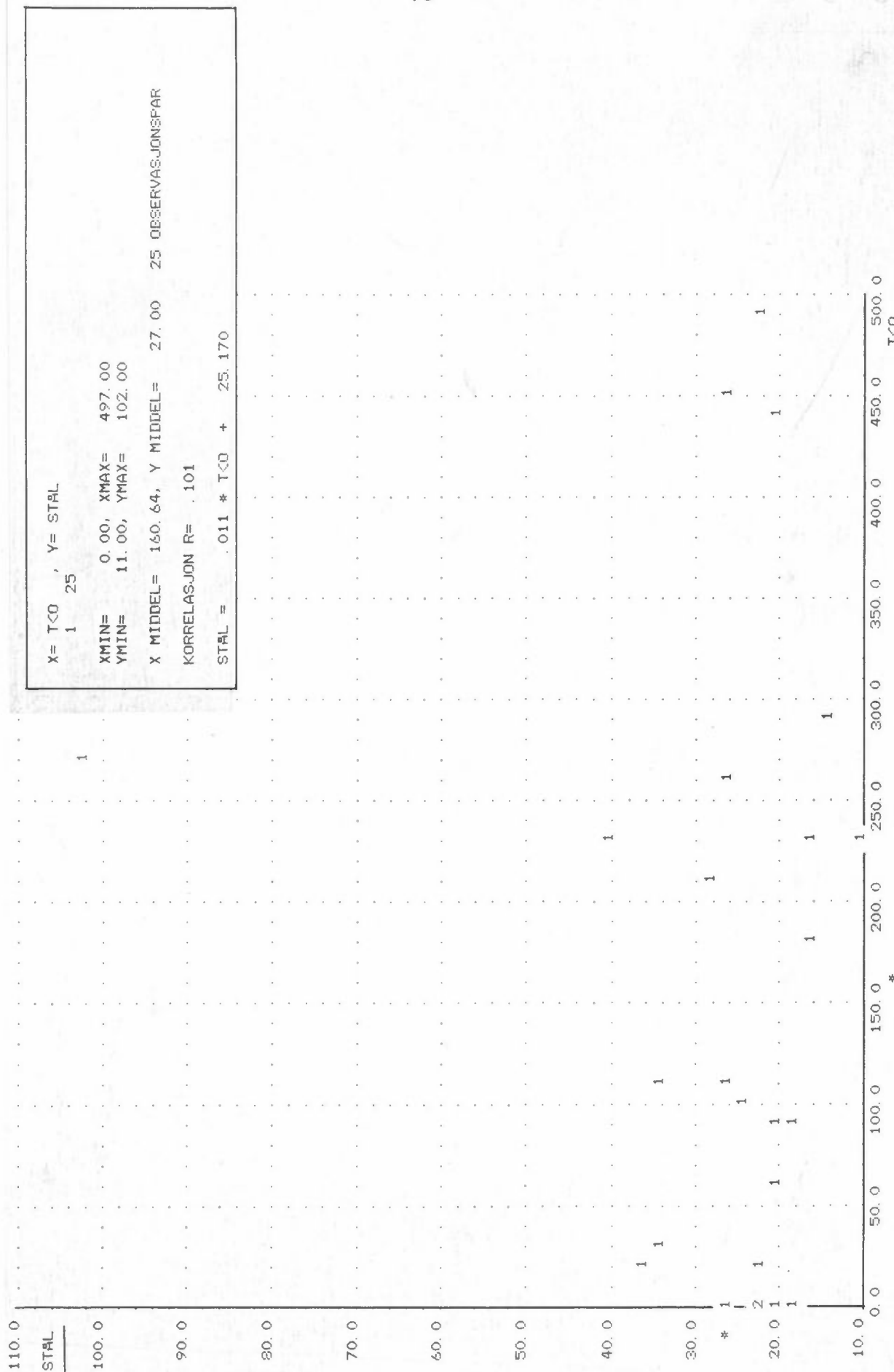
Figur 15.



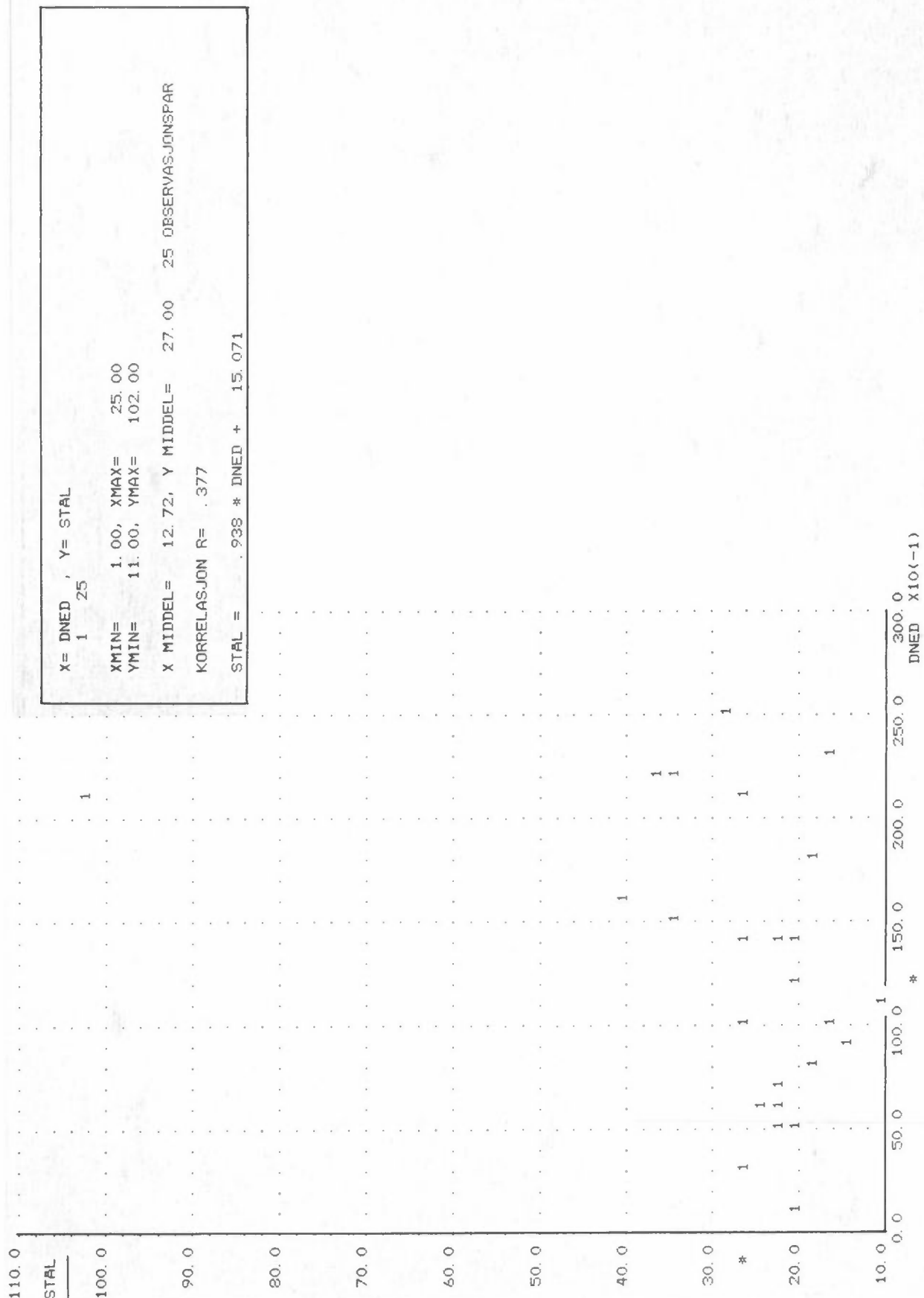
Figur 16.



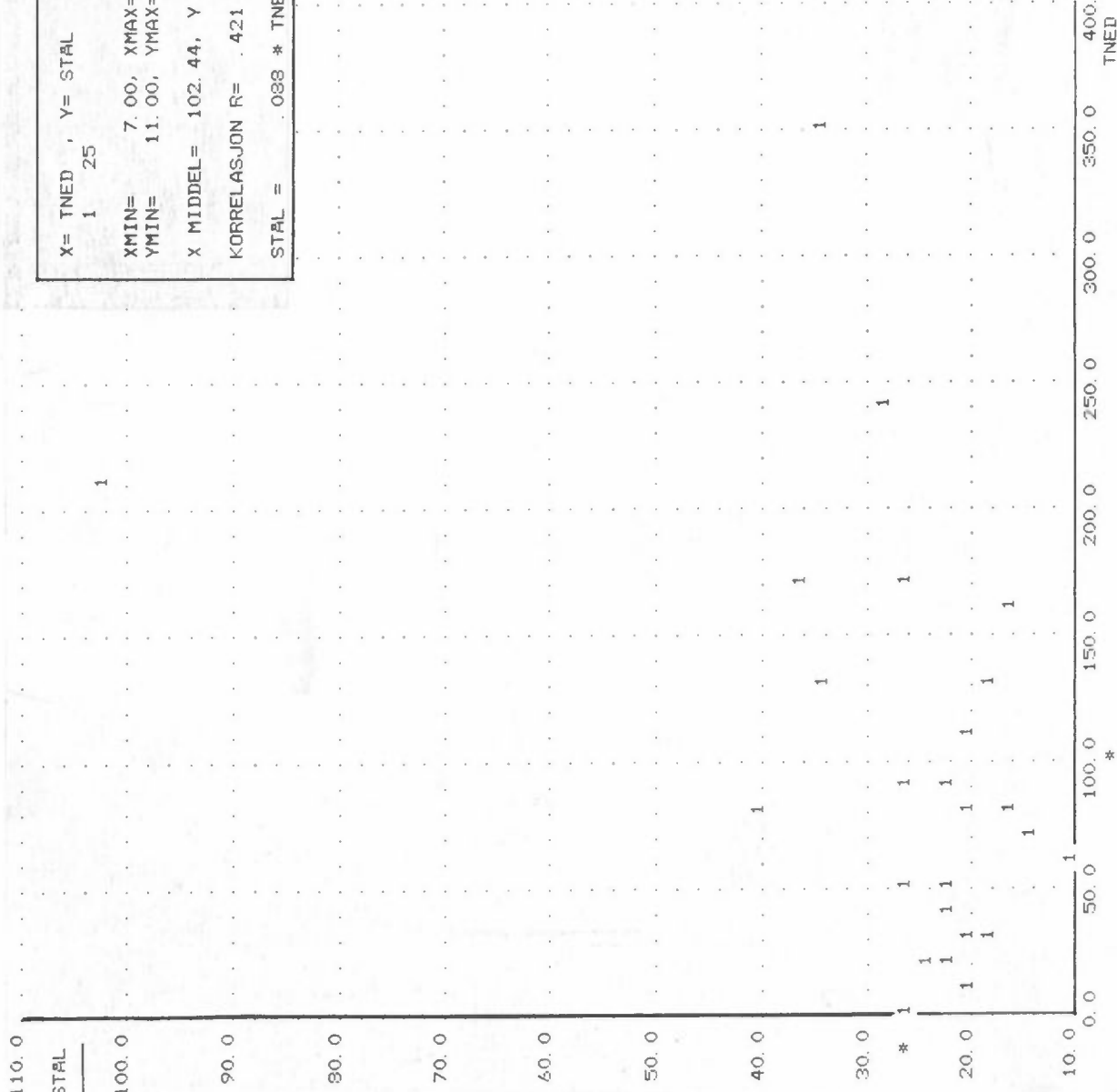
Figur 17.

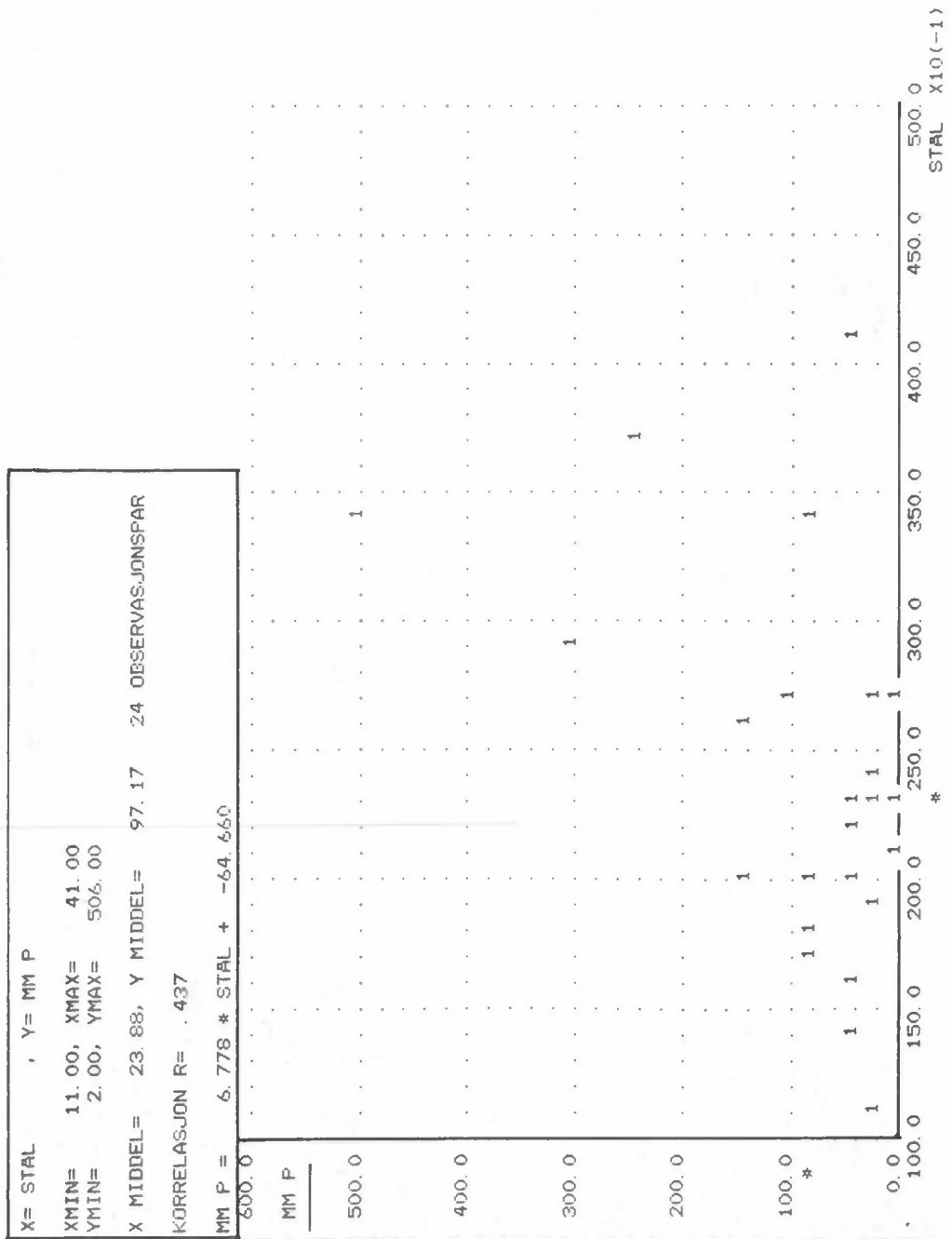


Figur 18.

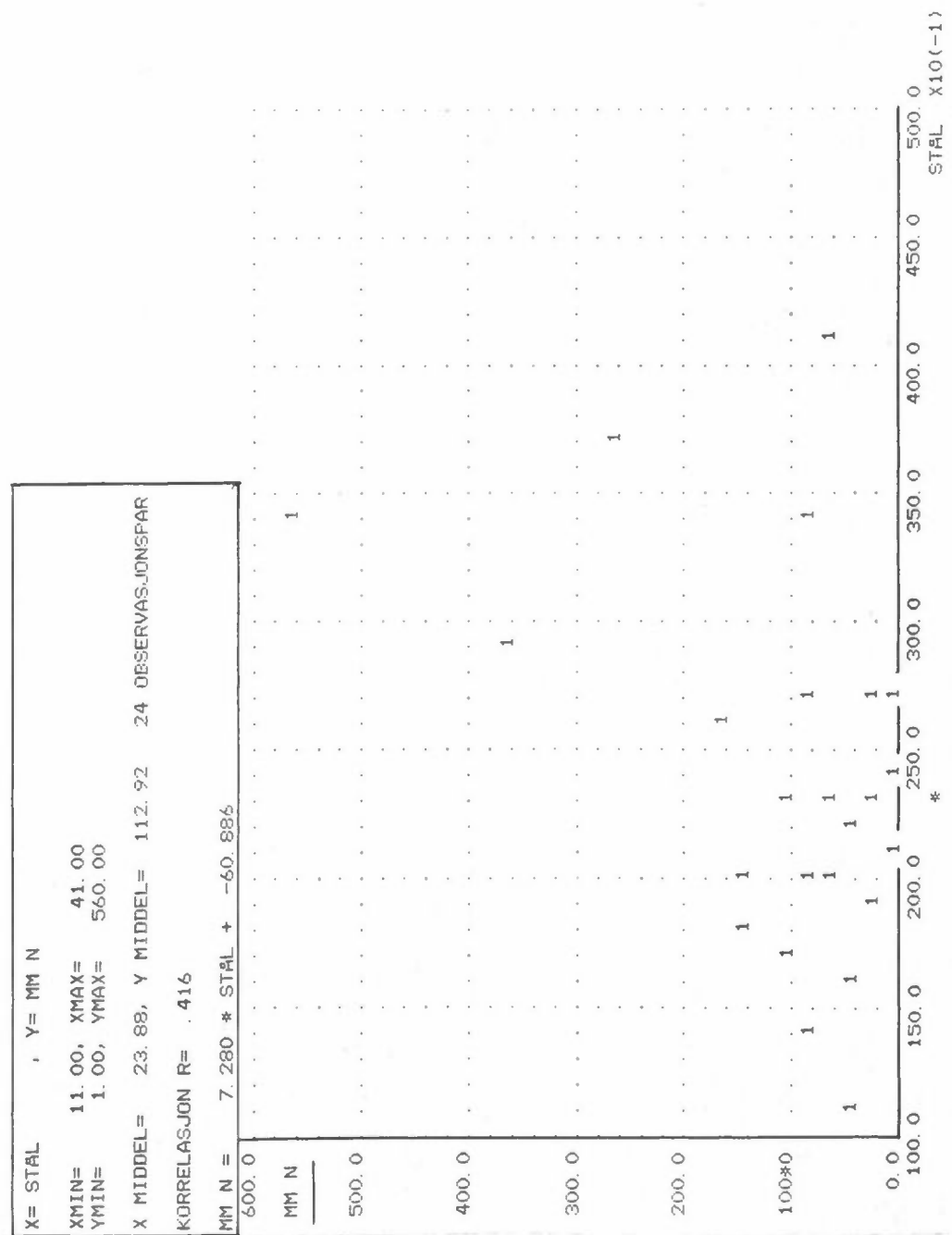


Figur 19.

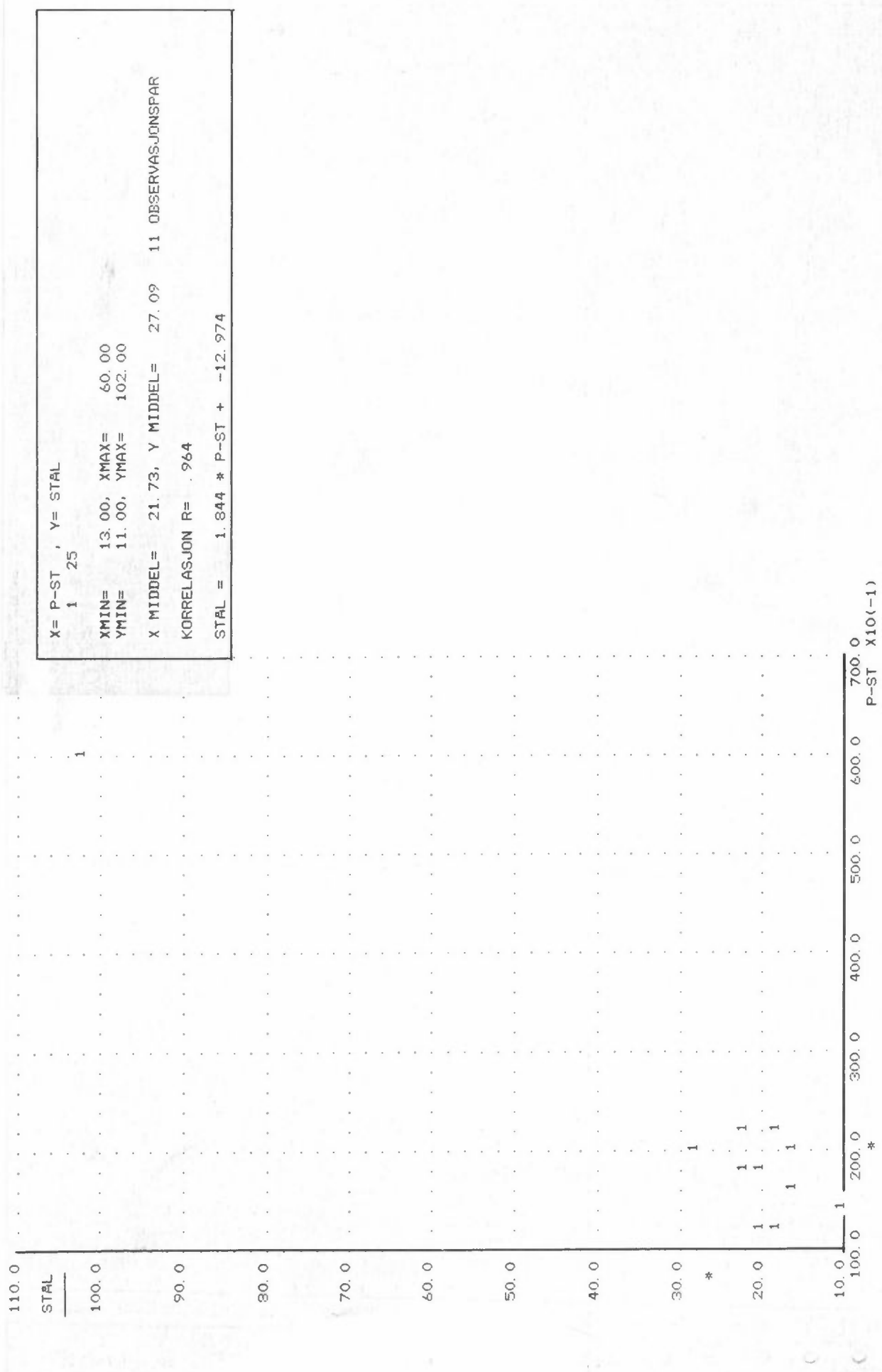




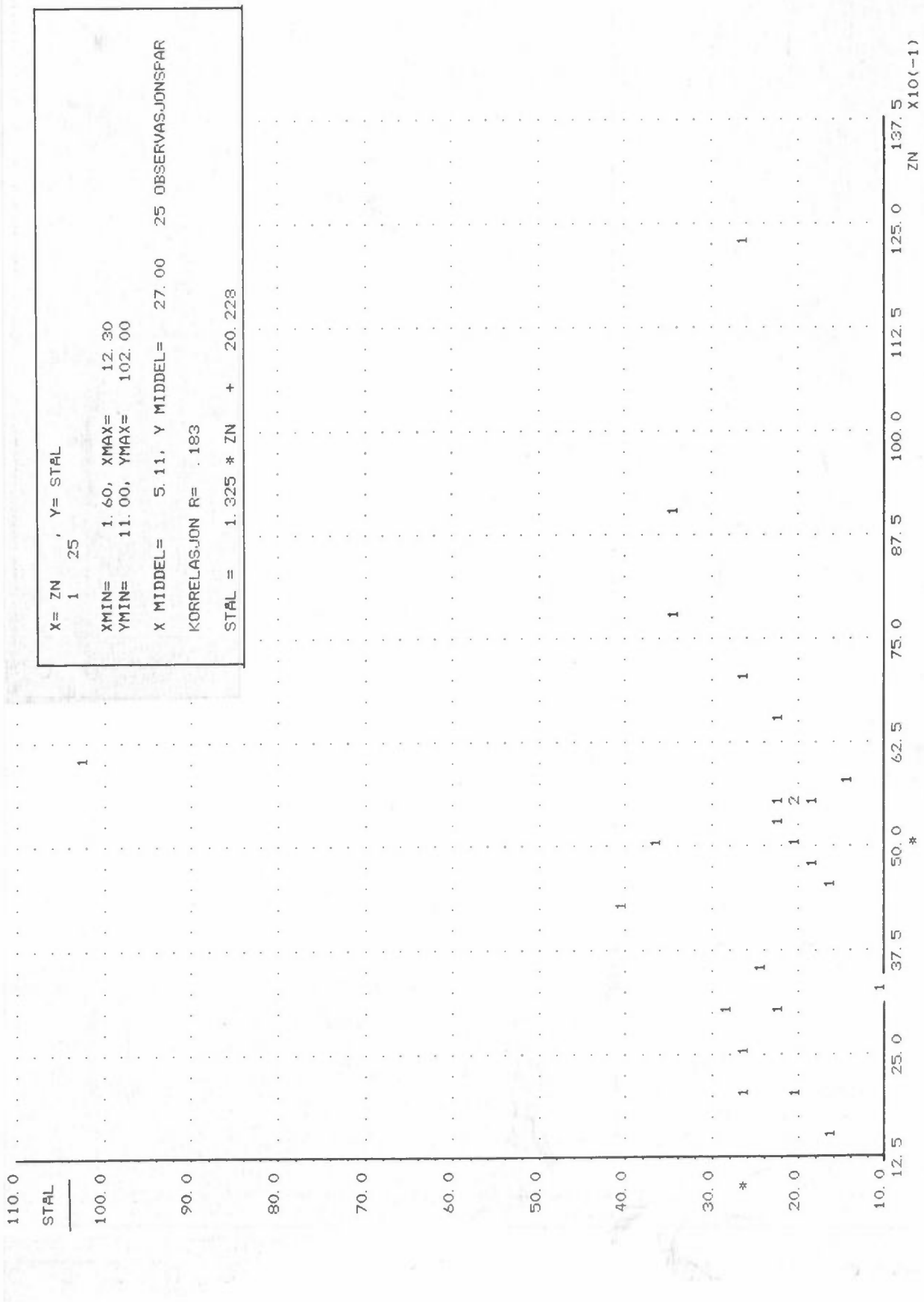
Figur 21.



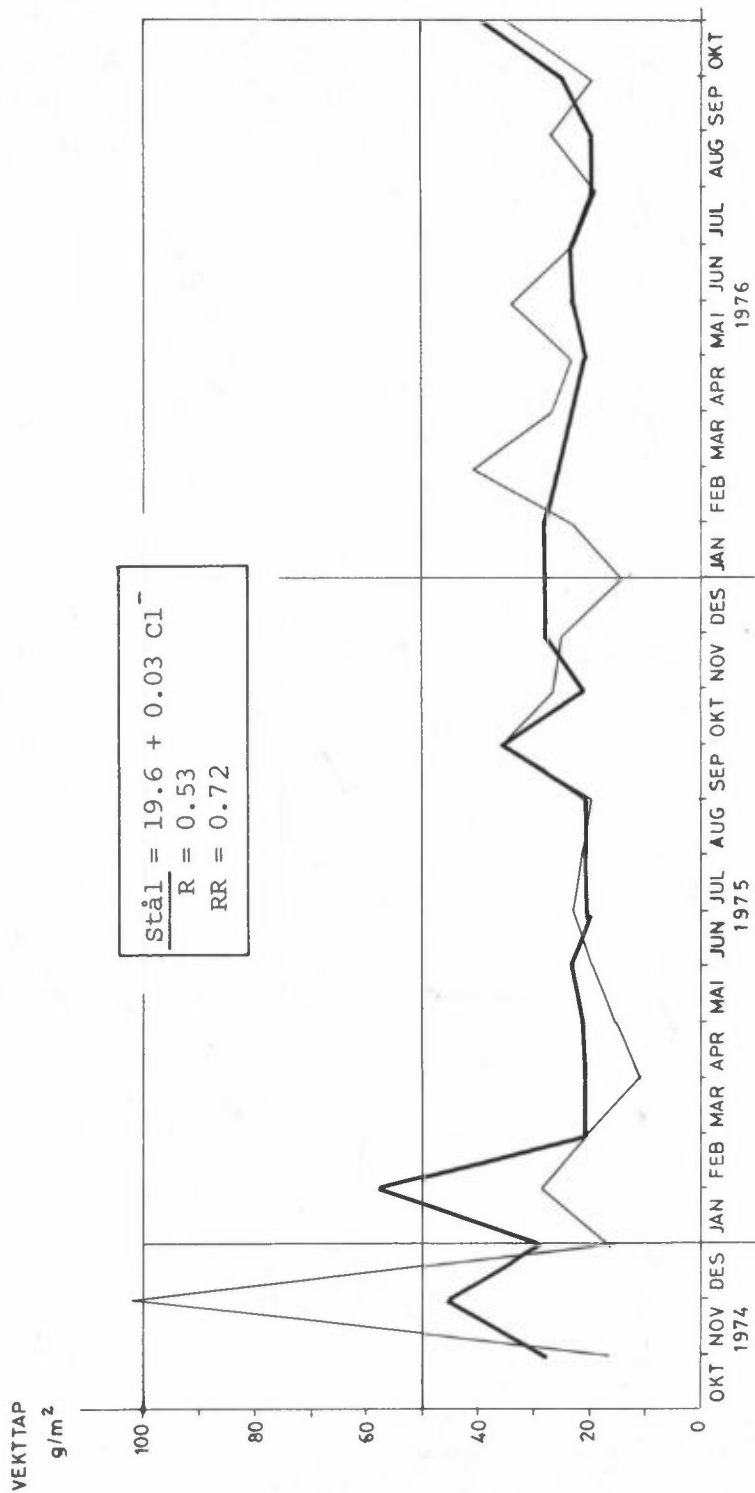
Figur 22.



Figur 23.



Figur 24.



Figur 25: Observert (—) og beregnet (—) månedskorrosjon for ulegert stål etter likning 1.

*Tabell 5: Regresjonslikningene for månedskorrosjonen av ulegert stål på Birkenes, uten november 1974.*

24. DATASETT

MIDDELVERDI, MÅKSIMUM OG STANDARD AVVIK

STAL	S04	CL	S02	T85	MM P
23.673	410.417	197.500	6.626	390.250	97.167
41.000	2047.000	1152.000	23.000	694.000	506.000
7.285	447.672	250.089	4.799	143.596	112.860

\*\*\*\*\*

KORRELASJONSMATRISSEN:

STAL	S04	CL	S02	T85	MM P
1.000	.494	.352	.482	.342	.437
S04	1.000	.674	-.120	.614	.953
CL	.352	1.000	-.120	.650	.764
S02	.482	-.120	1.000	-.133	-.181
T85	.362	.624	.650	1.000	.855
MM P	.437	.953	.764	-.181	1.000
STAL	S04	CL	S02	T85	MM P

\*\*\*\*\*

REGRESSJONSLEIGNINGENE:

STAL = .0080*S04 + 20.5779	R= .4237 , RR= .7563 **
STAL = .0103*CL + 21.8493	R= .8521 , RR= .8760 *
STAL = .7324*S02 + 19.0231	R= .4824 , RR= .7673 **
STAL = .0183*T85 + 16.7171	R= .3418 , RR= .8493 *
STAL = .0382*MM P + 21.1319	R= .4374 , RR= .8084 *

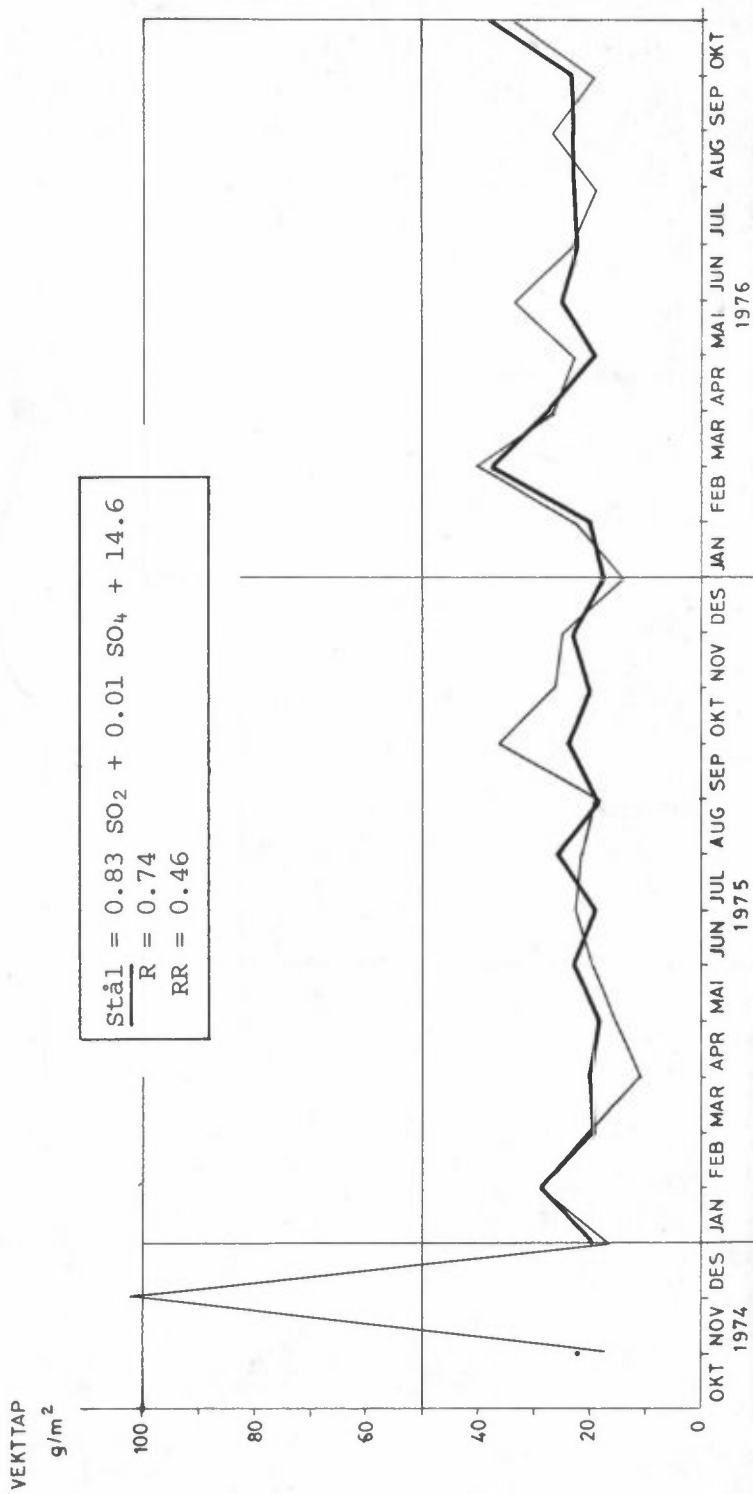
\*\*\*\*\*

IRR=UFORKLART VARIANS/TOTAL VARIANS

IRR TO DEPENDENT VARIABLE (TIL TO VARIABLE)

STAL = .0091*S04 + 8947*S02 + 14.6059 OVERGANG FRA S04	R= .7360, RR= .4564 (R= .4937) TIL TO VARIABLE: F= 13.65**
STAL = .00164*S02 + .0350*MM P + 14.6311 OVERGANG FRA S02	R= .7194, RR= .4825 (R= .4824) TIL TO VARIABLE: F= 12.40**
STAL = .8197*S02 + .0220*T85 + 9.8669 OVERGANG FRA S02	R= .6458, RR= .5829 (R= .4824) TIL TO VARIABLE: F= 6.64*
STAL = .0121*CL + .6081*S02 + 16.1281 OVERGANG FRA S02	R= .4350, RR= .5967 (R= .4824) TIL TO VARIABLE: F= 6.00*
STAL = .0137*S04 + -.0236*MM P + 20.5426 OVERGANG FRA S04	R= .5058, RR= .7442 (R= .4937) TIL TO VARIABLE: F= .34
STAL = .0071*S04 + .0044*T85 + 19.2134 OVERGANG FRA S04	R= .4964, RR= .7516 (R= .4937) TIL TO VARIABLE: F= .15
STAL = .0076*S04 + .0010*CL + 20.5336 OVERGANG FRA S04	R= .4944, RR= .7556 (R= .4937) TIL TO VARIABLE: F= .02
STAL = .0066*T85 + .0227*MM P + 19.0791 OVERGANG FRA MM P	R= .4495, RR= .7989 (R= .4824) TIL TO VARIABLE: F= .26
STAL = .0013*CL + .0261*MM P + 21.0902 OVERGANG FRA MM P	R= .4383, RR= .8079 (R= .4824) TIL TO VARIABLE: F= .02
STAL = .0059*CL + .0117*T85 + 18.1603 OVERGANG FRA T85	R= .3930, RR= .6456 (R= .3615) TIL TO VARIABLE: F= .59

\*\*\*\*\*



Figur 26: Observed (—) og beregnet (→) månedskorrasjon etter likning 2 (uten nov. 74).

Tabell 6: Millimeter sur nedbør ( $pH < 4.05$ ) i månedene  
oktober 1974 t.o.m. oktober 1976. (12, 13, 14)

januar		0	0
februar		0	59.4
mars		25.8	6.7
april		17.9	7.1
mai		63.6	29.6
juni		0	8.9
juli		0	0
august		4.5	0
september		21.5	0
oktober	36.6	2.4	48.3
november	78.2	10.0	
desember	14.4	3.9	
	1974	1975	1976

Tabell 7: Regresjonslikningene for månedskorrosjonen av ulegert stål på Birkenes i 25 måneder, oktober 1974 - november 1976.

KORRELASJONSMATRISSEN:

STAL	1. 000	. 423	. 530	-. 017	. 341	. 412	. 408	. 494	-. 137	. 031	. 421	. 391	. 617	. 751	. 847	. 714
S04	. 423	1. 000	. 695	-. 171	. 541	. 651	. 666	. 335	-. 152	. 033	. 930	. 956	. 558	. 644	. 367	. 797
CL	. 530	. 695	1. 000	-. 207	. 641	. 688	. 678	. 663	-. 320	. 273	. 808	. 770	. 319	. 435	. 455	. 506
S02	-. 017	-. 171	-. 207	1. 000	-. 210	-. 192	-. 304	-. 415	. 001	-. 122	-. 264	-. 226	. 029	. 006	-. 292	-. 143
RELF	. 341	. 541	. 641	-. 210	1. 000	. 937	. 915	. 729	-. 644	. 482	. 695	. 581	. 306	. 434	. 376	. 437
T85	. 412	. 651	. 688	-. 192	. 937	1. 000	. 980	. 709	-. 468	. 293	. 780	. 679	. 349	. 481	. 383	. 505
T90	. 408	. 666	. 678	-. 304	. 915	. 980	1. 000	. 762	-. 399	. 242	. 791	. 705	. 334	. 468	. 418	. 525
T95	. 494	. 335	. 663	-. 415	. 729	. 709	. 762	1. 000	-. 383	. 338	. 501	. 389	. 257	. 373	. 655	. 356
TMID	-. 137	-. 152	-. 320	. 001	-. 644	-. 468	-. 399	-. 383	1. 000	-. 940	-. 293	-. 142	-. 224	-. 250	-. 187	-. 184
D<0	. 031	. 033	. 273	-. 122	. 482	. 293	. 242	. 338	-. 940	1. 000	. 180	. 022	. 165	. 145	. 168	. 081
TNED	. 421	. 930	. 808	-. 264	. 695	. 780	. 791	. 501	-. 293	. 180	1. 000	. 949	. 447	. 563	. 392	. 720
MM P	. 391	. 956	. 770	-. 226	. 581	. 679	. 705	. 389	-. 142	. 022	. 949	1. 000	. 376	. 501	. 310	. 707
MM S	. 617	. 558	. 319	. 029	. 306	. 349	. 334	. 257	-. 224	. 165	. 447	. 376	1. 000	. 961	. 712	. 829
MS85	. 751	. 644	. 435	. 006	. 434	. 481	. 468	. 373	-. 250	. 145	. 563	. 501	. 961	1. 000	. 800	. 920
MS95	. 847	. 367	. 455	-. 292	. 376	. 383	. 418	. 655	-. 187	. 168	. 392	. 310	. 712	. 800	1. 000	. 745
MSTN	. 714	. 797	. 506	-. 143	. 437	. 505	. 525	. 356	-. 184	. 081	. 720	. 707	. 829	. 920	. 745	1. 000
STAL	S04	CL	S02	RELF	T85	T90	T95	TMID	D<0	TNED	MM P	MM S	MS85	MS95	MSTN	

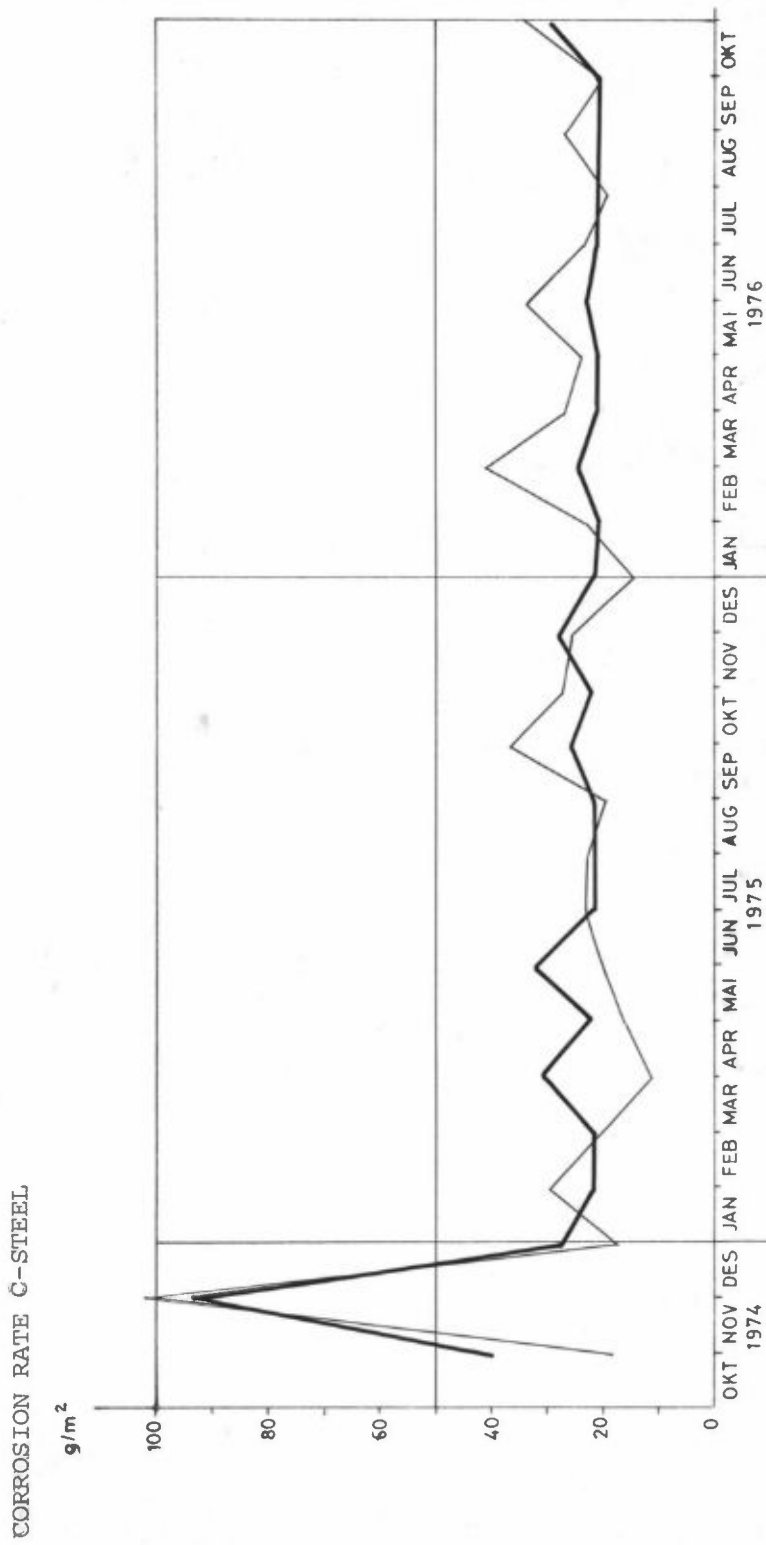
\*\*\*\*\*

REGRESSJONSIGNINGENE:

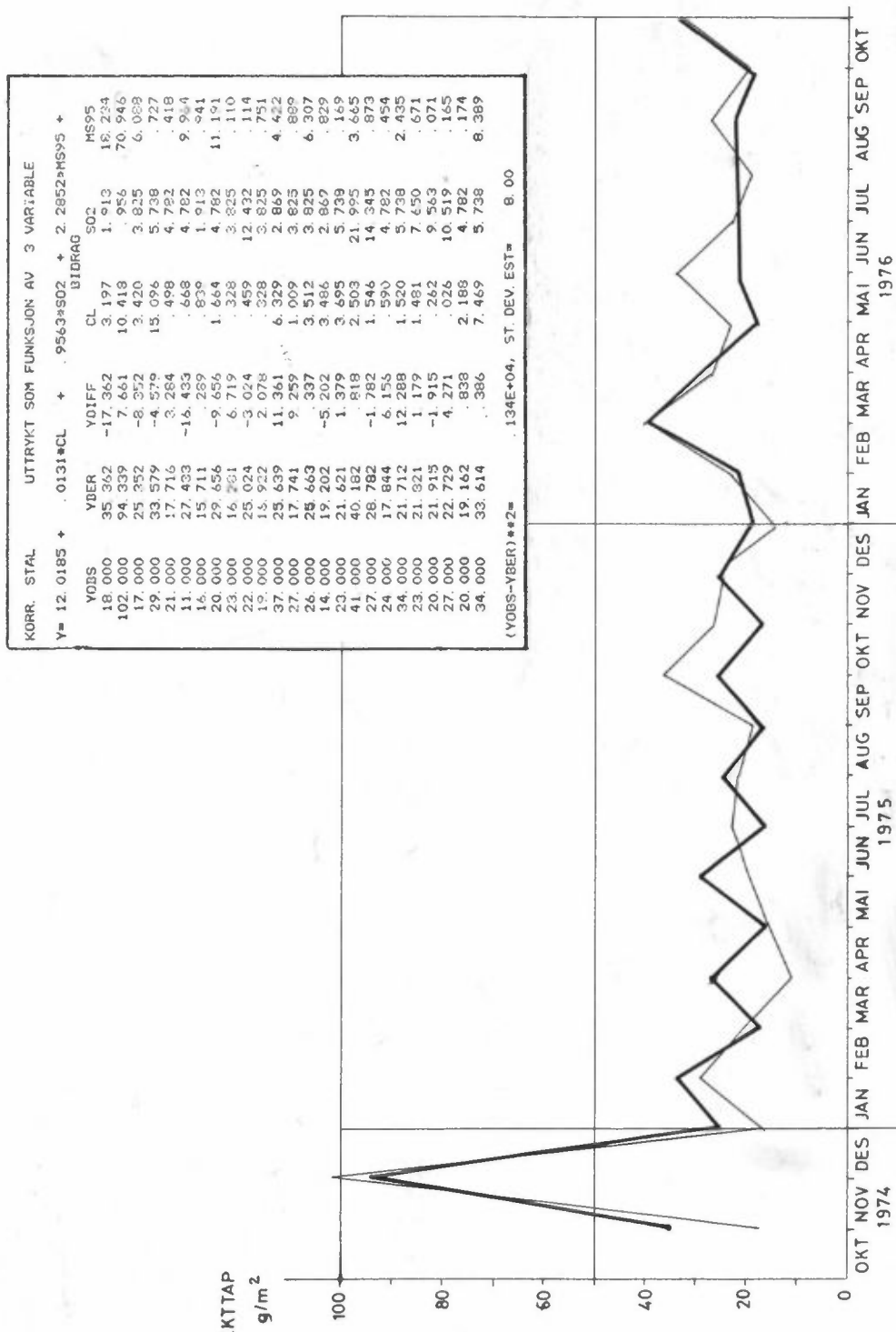
STAL =	. 0161*S04 + 20. 0538	R= . 4226 , RR= . 8214
STAL =	. 0334*CL + 19. 5961	R= . 5304 , RR= . 7186
STAL =	-. 0607*S02 + 27. 3886	R= -. 0171 , RR= . 9997
STAL =	59. 6618*RELF + -20. 0374	R= . 3409 , RR= . 8838
STAL =	. 0480*T85 + 7. 8320	R= . 4115 , RR= . 8306
STAL =	. 0480*T90 + 11. 1491	R= . 4077 , RR= . 8337
STAL =	. 0850*T95 + 17. 2316	R= . 4937 , RR= . 7563
STAL =	-. 3802*TMID + 28. 9330	R= -. 1368 , RR= . 9813
STAL =	. 0564*D<0 + 26. 2192	R= . 0308 , RR= . 9991
STAL =	. 0881*TNED + 17. 9751	R= . 4214 , RR= . 8224
STAL =	. 0590*MM P + 20. 9494	R= . 3907 , RR= . 8474
STAL =	. 4696*MM S + 18. 6071	R= . 6172 , RR= . 6190
STAL =	1. 0686*MS85 + 18. 1917	R= . 7505 , RR= . 4367
STAL =	2. 3291*MS95 + 20. 9258	R= . 8473 , RR= . 2820
STAL =	2. 6376*MSTN + 20. 0717	R= . 7144 , RR= . 4896

\*\*\*\*\*

RR=UFORKLART VARIANS/TOTAL VARIANS



Figur 27: Observed (—) og beregnet (—) månedskorrosjon for ulengert stål etter likning 3.



Figur 28: Observert (—) og beregnet (—) månedskorrosjon for ulegert stål etter likning 5.

Tabell 8: Korrelasjonsmatrise og enfaktor-regresjonslikninger for månedskorrosjon av ulegert stål på Birkenes i 24 måneder (uten november 1974).

KORRELASJONSMATRISSEN:

STAL	1. 000	. 494	. 352	. 482	. 218	. 362	. 284	-. 127	-. 035	-. 178	. 395	. 437	. 321	. 440	-. 115	. 409
S04	. 494	1. 000	. 674	-. 120	. 507	. 624	. 640	. 242	-. 124	. 005	. 926	. 953	. 523	. 669	. 433	. 860
CL	. 352	. 674	1. 000	-. 120	. 600	. 650	. 630	. 558	-. 294	. 250	. 791	. 764	. 100	. 209	. 137	. 326
S02	. 482	-. 120	-. 120	1. 000	-. 155	-. 133	-. 248	-. 353	-. 032	-. 098	-. 211	-. 181	. 197	. 229	-. 231	. 009
RELF	. 218	. 507	. 600	-. 155	1. 000	. 931	. 908	. 728	-. 638	. 472	. 668	. 553	. 189	. 346	. 363	. 350
T85	. 362	. 624	. 650	-. 133	. 931	1. 000	. 979	. 693	-. 452	. 273	. 759	. 656	. 233	. 401	. 340	. 432
T90	. 284	. 640	. 630	-. 248	. 908	. 979	1. 000	. 746	-. 379	. 218	. 769	. 684	. 194	. 356	. 364	. 436
T95	-. 127	. 242	. 558	-. 353	. 728	. 693	. 746	1. 000	-. 380	. 337	. 427	. 319	-. 106	-. 044	. 376	-. 036
TMID	-. 035	-. 124	-. 294	-. 032	-. 638	-. 452	-. 379	-. 380	1. 000	. 939	-. 268	-. 115	-. 181	-. 219	-. 188	-. 128
D<0	-. 178	. 005	. 250	-. 098	. 472	. 273	. 218	. 337	-. 939	1. 000	. 155	-. 005	. 122	. 092	. 187	. 010
TNED	. 395	. 926	. 791	-. 211	. 662	. 759	. 769	. 427	-. 268	. 155	1. 000	. 947	. 359	. 520	. 384	. 727
MM P	. 437	. 953	. 764	-. 181	. 553	. 656	. 684	. 319	-. 115	-. 005	. 947	1. 000	. 304	. 477	. 280	. 746
MM S	. 321	. 523	. 100	. 197	. 189	. 233	. 194	-. 106	-. 181	. 122	. 359	. 304	1. 000	. 955	. 696	. 740
MS85	. 440	. 669	. 209	. 229	. 346	. 401	. 356	-. 044	-. 219	. 092	. 520	. 477	. 955	1. 000	. 673	. 859
MS95	-. 115	. 433	. 137	-. 231	. 363	. 340	. 364	. 376	-. 188	. 187	. 384	. 280	. 696	. 673	1. 000	. 559
TN	. 409	. 860	. 326	. 009	. 350	. 432	. 436	-. 036	-. 128	. 010	. 727	. 746	. 740	. 859	. 559	1. 000
STAL	S04	CL	S02	RELF	T85	T90	T95	TMID	D<0	TNED	MM P	MM S	MS85	MS95	MSTN	

\*\*\*\*\*

REGRESSJONS LIGNINGENE:

STAL = . 0080*S04 + 20. 5779	R= . 4937 , RR= . 7563
STAL = . 0103*CL + 21. 8493	R= . 3521 , RR= . 8760
STAL = . 7324*S02 + 19. 0231	R= . 4824 , RR= . 7673
STAL = 16. 4656*RELF + 10. 9838	R= . 2176 , RR= . 9527
STAL = . 0183*T85 + 16. 7171	R= . 3615 , RR= . 8693
STAL = . 0146*T90 + 19. 1734	R= . 2835 , RR= . 9196
STAL = -. 0112*T95 + 25. 0307	R= -. 1266 , RR= . 9840
STAL = -. 0413*TMID + 24. 0918	R= -. 0354 , RR= . 9987
STAL = -. 1365*D<0 + 25. 7347	R= -. 1782 , RR= . 9682
STAL = . 0359*TNED + 20. 3715	R= . 3954 , RR= . 8437
STAL = . 0282*MM P + 21. 1319	R= . 4374 , RR= . 8086
STAL = . 1221*MM S + 21. 9992	R= . 3212 , RR= . 8968
STAL = . 3532*MS85 + 21. 5406	R= . 4395 , RR= . 8068
STAL = -. 4136*MS95 + 24. 4635	R= -. 1152 , RR= . 9867
STAL = . 8179*MSTN + 22. 2153	R= . 4090 , RR= . 8327

\*\*\*\*\*

RR=UFORKLART VARIANS/TOTAL VARIANS

Tabell 9: Korrelasjonsmatrise og enfaktor-regresjonslikninger for månedskorrasjonen av ulegert stål på Birkenes i 23 måneder (uten november 1974 og februar 1976).

KORRELASJONSMATRISSEN:

STÅL	1.000	.543	.410	.199	.155	.334	.317	-.033	.116	-.250	.481	.553	.101	.236	-.144	.382
S04	.543	1.000	.675	-.227	.507	.625	.640	.257	-.116	.002	.930	.961	.574	.761	.433	.865
CL	.410	.675	1.000	-.169	.610	.658	.631	.568	-.306	.251	.792	.766	.117	.251	.137	.331
S02	.199	-.227	-.169	1.000	-.412	-.357	-.381	-.312	.241	-.224	-.264	-.180	-.266	-.271	-.357	-.165
RELF	.155	.507	.610	-.412	1.000	.929	.918	.788	-.624	.467	.685	.576	.122	.306	.365	.331
T85	.334	.625	.658	-.357	.929	1.000	.988	.746	-.433	.265	.775	.678	.185	.383	.342	.417
T90	.317	.640	.631	-.381	.918	.988	1.000	.765	-.388	.217	.771	.688	.212	.409	.363	.439
T95	-.033	.257	.568	-.312	.788	.746	.765	1.000	-.457	.360	.427	.310	-.012	.074	.388	-.003
TMID	.116	-.116	-.306	.241	-.624	-.433	-.388	-.457	1.000	-.955	-.289	-.142	-.061	-.096	-.190	-.089
DCO	-.250	.002	.251	-.224	.467	.265	.217	.360	-.955	1.000	.158	.001	.098	.061	.186	-.003
TNED	.481	.930	.792	-.264	.685	.775	.771	.427	-.289	.158	1.000	.948	.435	.641	.385	.745
MM P	.553	.961	.766	-.180	.576	.678	.688	.310	-.142	.001	.948	1.000	.395	.615	.282	.772
MM S	.101	.574	.117	-.266	.122	.185	.212	-.012	-.061	.098	.435	.395	1.000	.941	.787	.766
MS85	.236	.761	.251	-.271	.306	.383	.409	-.074	-.096	.061	.641	.615	.941	1.000	.783	.923
MS95	-.144	.433	.137	-.357	.365	.342	.363	.388	-.190	.186	.385	.282	.787	.783	1.000	.564
*STN	.382	.865	.331	-.165	.331	.417	.439	-.003	-.089	-.003	.745	.772	.766	.923	.564	1.000
STÅL	S04	CL	S02	RELF	T85	T90	T95	TMID	DCO	TNED	MM P	MM S	MS85	MS95	MSTN	

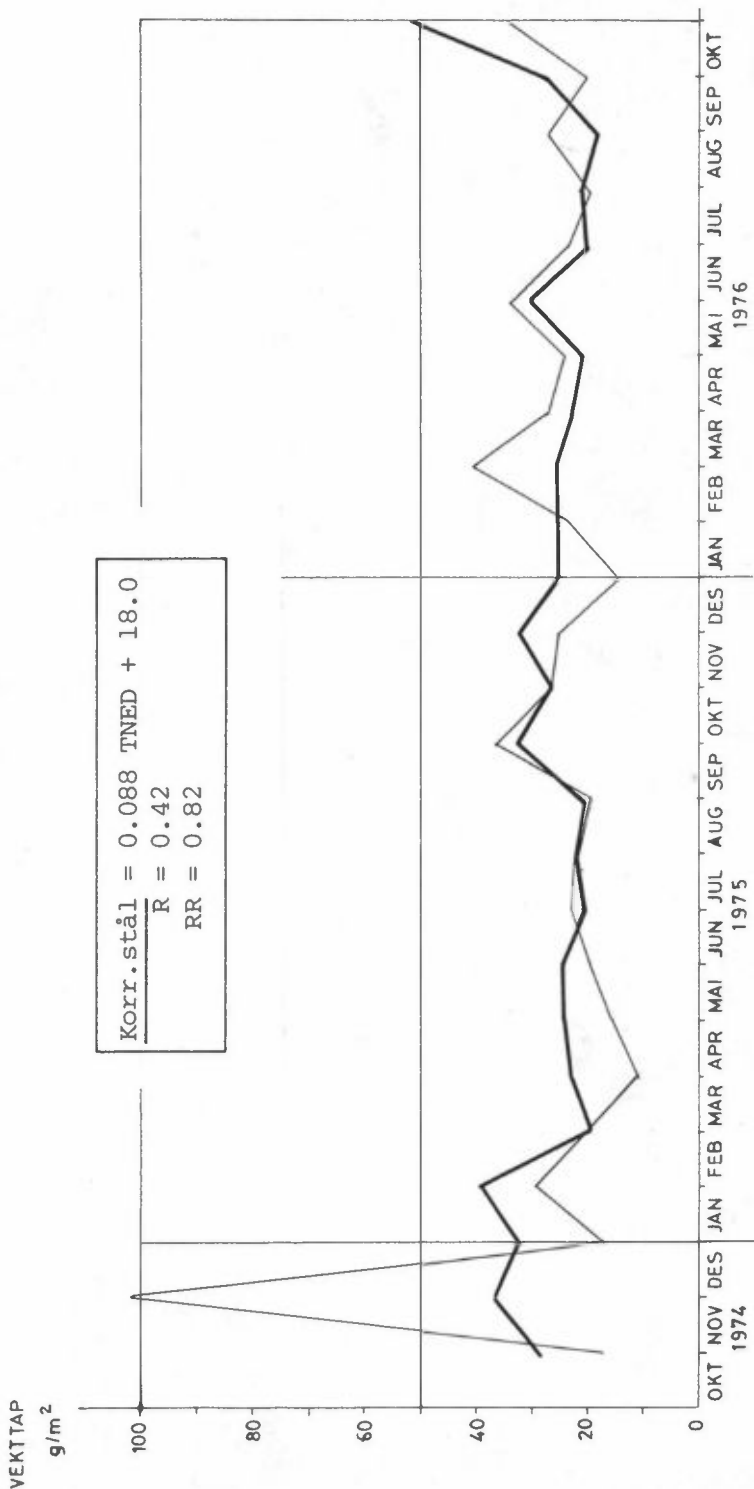
\*\*\*\*\*

REGRESSJONSIGNINGENE:

STÅL =	.0077*S04	+	20.0214	R=	.5430	, RR=	.7052
STÅL =	.0103*CL	+	21.0858	R=	.4100	, RR=	.8319
STÅL =	.3813*S02	+	20.8757	R=	.1993	, RR=	.9603
STÅL =	10.3013*RELF	+	15.0999	R=	.1549	, RR=	.9760
STÅL =	.0148*T85	+	17.4024	R=	.3342	, RR=	.8883
STÅL =	.0142*T90	+	18.5846	R=	.3172	, RR=	.8994
STÅL =	-.0026*T95	+	23.4043	R=	-.0329	, RR=	.9989
STÅL =	.1211*TMID	+	22.4541	R=	.1158	, RR=	.9866
STÅL =	-.1664*DCO	+	25.3734	R=	-.2503	, RR=	.9373
STÅL =	.0378*TNED	+	19.4104	R=	.4812	, RR=	.7684
STÅL =	.0310*MM P	+	20.0616	R=	.5531	, RR=	.6940
STÅL =	.0380*MM S	+	22.6195	R=	.1007	, RR=	.9899
STÅL =	.1942*MS85	+	22.0378	R=	.2365	, RR=	.9441
STÅL =	-.4478*MS95	+	23.7642	R=	-.1441	, RR=	.9792
STÅL =	.6700*MSTN	+	21.8536	R=	.3817	, RR=	.8543

\*\*\*\*\*

RR=UFORKLART VARIANS/TOTAL VARIANS



Figur 29: Observert (—) og beregnet (—) månedskorrasjon for ulegert stål ut fra nedbørvarighet.



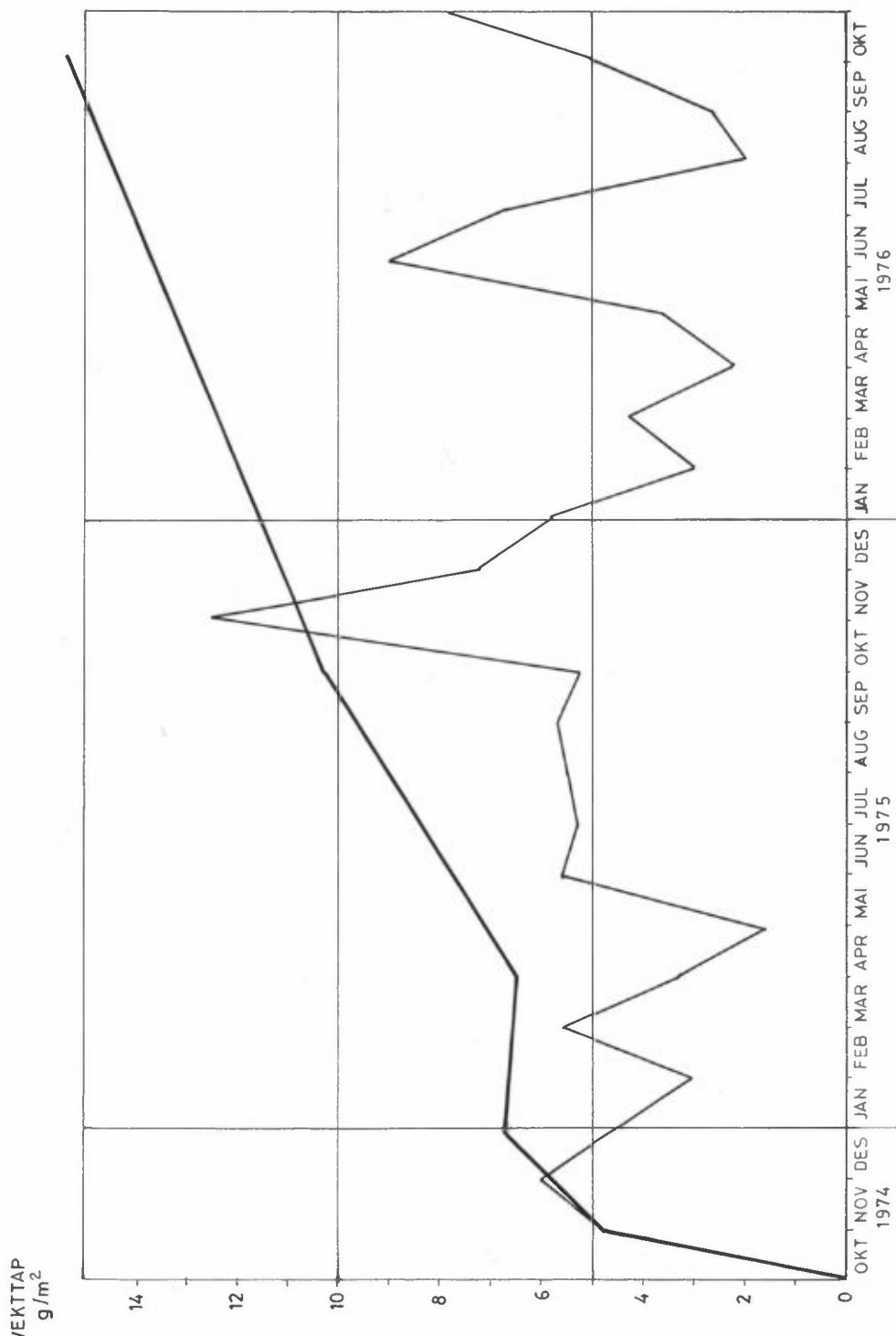
## BILAG 3

### ZINK

- VEKTTAPSMÅLINGER
- REGRESJONSANALYSE R

~~- 94 -~~

Blank



Figur 30: Korrasjon av ren sink på Birkenes ved månedlige eksponeringer — og etter 1, 3, 6, 12 og 24 månaders eksponering —



Tabell 11.

KELTEN-SUMMULININGE:

ZN	=	-2.4982*PH	+	15.7621	R=	- .2134	, RR=	.9523
ZN	=	.0065*NH4	+	4.7911	R=	.1222	, RR=	.9851
ZN	=	.0286*CA	+	4.5370	R=	.2156	, RR=	.9535
ZN	=	.0016*SO4	+	4.4159	R=	.3069	, RR=	.9058
ZN	=	.0001*CL	+	5.1007	R=	.0059	, RR=	1.0000
ZN	=	.0020*NDS	+	4.9246	R=	.0631	, RR=	.9960
ZN	=	-.1190*SO2	+	5.3734	R=	-.2425	, RR=	.9412
ZN	=	5.8582*RELF	+	-.3029	R=	.2644	, RR=	.9191
ZN	=	.0052*TG5	+	3.0349	R=	.3232	, RR=	.8956
ZN	=	.0061*T90	+	3.0819	R=	.3784	, RR=	.8568
ZN	=	.0036*T95	+	4.6991	R=	.1512	, RR=	.9771
ZN	=	.0469*TMD	+	4.8736	R=	.1222	, RR=	.9851
ZN	=	-.0655*TCO	+	5.0191	R=	.2592	, RR=	.9329
ZN	=	-.0034*TCO	+	5.6601	R=	-.2132	, RR=	.9524
ZN	=	.0708*TNEED	+	4.2119	R=	.2960	, RR=	.9575
ZN	=	.0077*TNED	+	4.3191	R=	.2633	, RR=	.9280
ZN	=	.0035*MM P	+	4.5449	R=	.2654	, RR=	.9296
ZN	=	.0032*MM N	+	4.7483	R=	.1802	, RR=	.9675
ZN	=	.0113*H+	+	4.4328	R=	.1162	, RR=	.9365

\*\*\*\*\*

RR=UFORKLART VARIANS/TOTAL VARIANS

Tabell 12.

DE 10 BESTE RELASJONER MED TO VARIABLE:

ZN = 12. S723*RELFF +	-1. 1305*D<0 +	-3. 2352	OVERGANG FRA RELFF (R= .2844)	RR= .7145 TIL TO VARIABLE: F= 6. 30* NOBS= 25
ZN = .0076*T90 +	-. 0942*T<0 +	3. 9019	OVERGANG FRA T90 (R= .3784)	RR= .7260 TIL TO VARIABLE: F= 3. 96 NOBS= 25
ZN = 13. 1594*RELFF +	-. 0073*T<0 +	-4. 0037	OVERGANG FRA RELFF (R= .2844)	RR= .7357 TIL TO VARIABLE: F= 5. 49* NOBS= 25
ZN = .0078*T90 +	-. 0056*T<0 +	3. 4247	OVERGANG FRA T90 (R= .3784)	RR= .7395 TIL TO VARIABLE: F= 3. 49 NOBS= 25
ZN = -. 0040*CL +	. 0113*T90 +	2. 2854	OVERGANG FRA T90 (R= .3784)	RR= .7402 TIL TO VARIABLE: F= 3. 47 NOBS= 25
ZN = .0070*T85 +	-. 0979*D<0 +	3. 6606	OVERGANG FRA T85 (R= .3232)	RR= .7586 TIL TO VARIABLE: F= 3. 97 NOBS= 25
ZN = 14. 9950*RELFF +	. 2003*TMID +	-7. 7235	OVERGANG FRA RELFF (R= .2844)	RR= .7596 TIL TO VARIABLE: F= 4. 62* NOBS= 25
ZN = .0082*T90 +	. 1247*TMID +	1. 7525	OVERGANG FRA T90 (R= .3784)	RR= .7630 TIL TO VARIABLE: F= 2. 54 NOBS= 25
ZN = .0073*T85 +	-. 0059*T<0 +	3. 1332	OVERGANG FRA T85 (R= .3232)	RR= .7704 TIL TO VARIABLE: F= 3. 58 NOBS= 25
ZN = -3. 2465*FH +	. 0069*T90 +	16. 6866	OVERGANG FRA T90 (R= .3784)	RR= .7782 TIL TO VARIABLE: F= 2. 22 NOBS= 25

Tabell 12 forts.

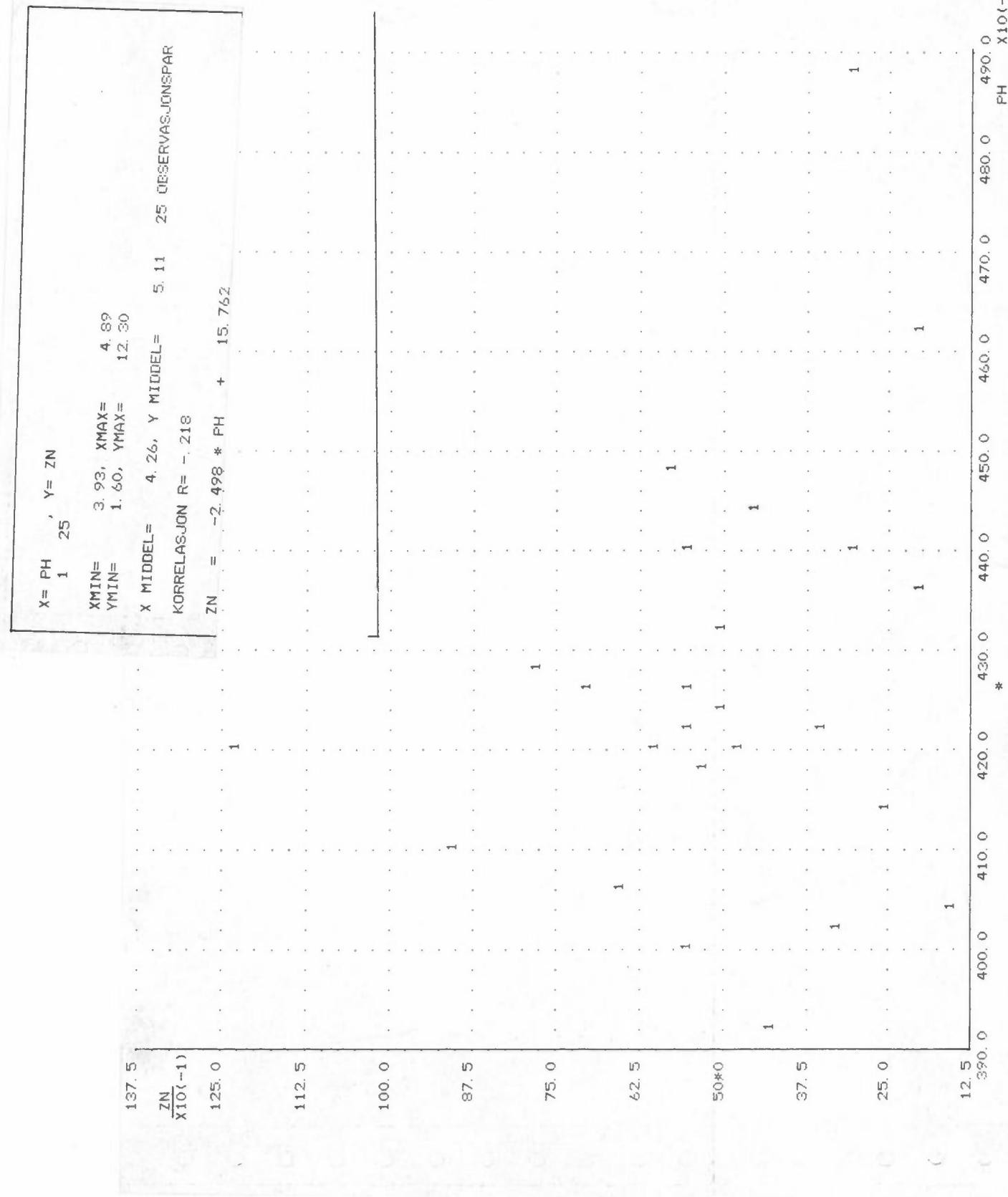
DE 10 BESTE RELASJONER MED TRE VARIABLE:

ZN =	-. 6040*CL	+	. 0123*T90	+	-. 0055*T<0	+	2. 6387	R= .6097, RR= .6282 (R=.5104) TIL TRE VARIABLE: F= 3.72
ZN =	-. 2200*SD2	+	-. 5643*TMID	+	-. 4283*T<0	+	15. 3235	R= .6071, RR= .6314
ZN =	-. 0036*CL	+	20. 4328*RELFL	+	-. 0039*T<0	+	-8. 7690	R= .6020, RR= .6376 (R=.5141) TIL TRE VARIABLE: F= 3.23
ZN =	-. 0035*CL	+	. 0118*T90	+	-. 0826*DCO	+	3. 1163	R= .5983, RR= .6421 (R=.5234) TIL TRE VARIABLE: F= 2.75
ZN =	-. 0029*CL	+	18. 1859*RELFL	+	-. 1344*DCO	+	-6. 7270	R= .5916, RR= .6500 (R=.5343) TIL TRE VARIABLE: F= 2.09
ZN =	. 0088*T90	+	. 0416*NMP	+	. 0383*MMN	+	2. 2935	R= .5883, RR= .6539
ZN =	-. 0036*CL	+	. 0122*T90	+	. 1147*TMID	+	1. 1091	R= .5785, RR= .6654 (R=.5097) TIL TRE VARIABLE: F= 2.36
ZN =	-. 6020*PH	+	13. 6374*RELFL	+	-. 1199*DCO	+	7. 1125	R= .5772, RR= .6668 (R=.5343) TIL TRE VARIABLE: F= 1.50
ZN =	. 0060*S04	+	. 0050*T90	+	-. 0223*MMN	+	2. 1443	R= .5733, RR= .6713
ZN =	-. 0034*CL	+	21. 9965*RELFL	+	. 2240*TMID	+	-12. 6165	R= .5728, RR= .6719 (R=.4903) TIL TRE VARIABLE: F= 2.74

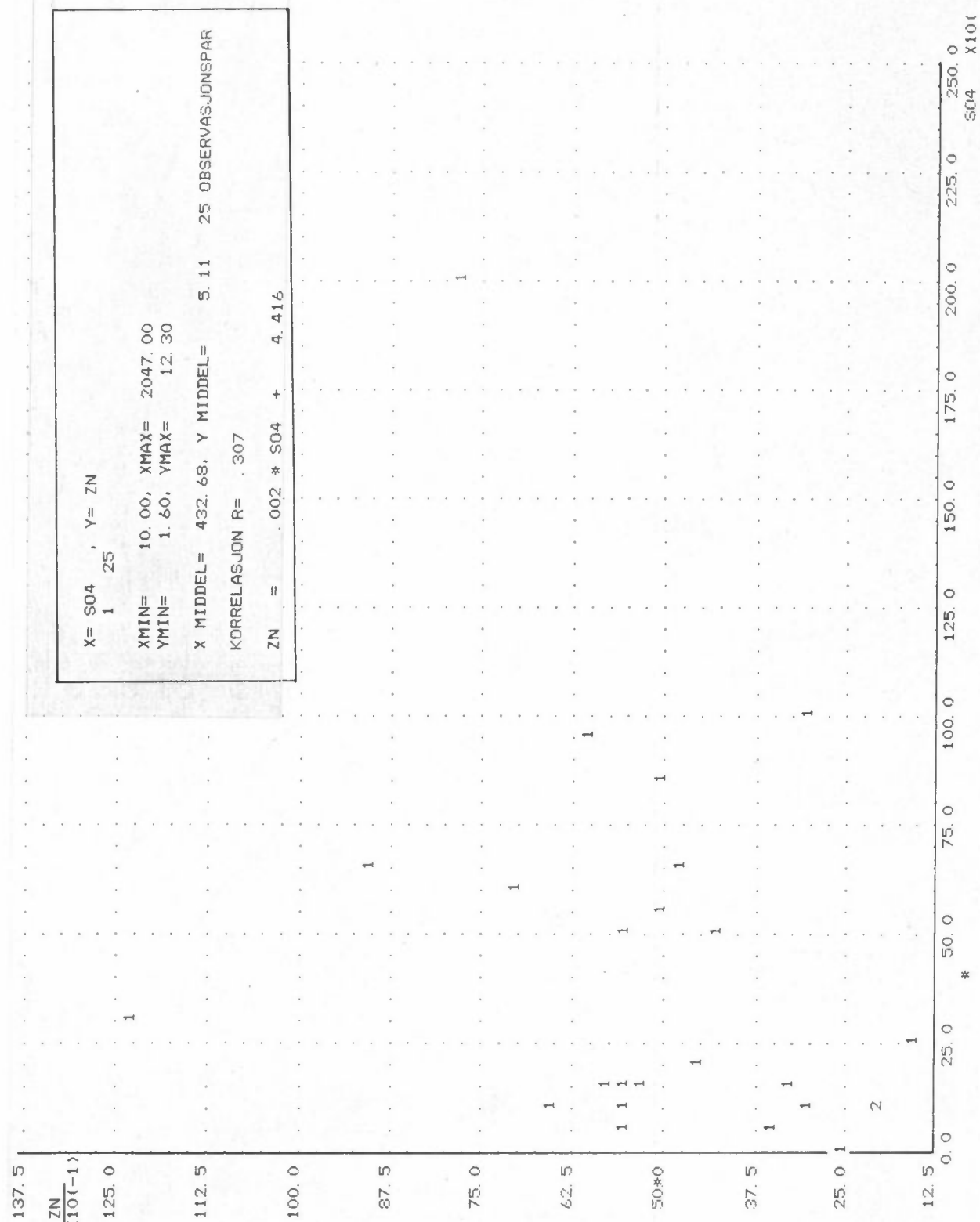
Tabell 12 forts.

DE 10 BESTE RELASJONER MED FIRE VARIABLE:

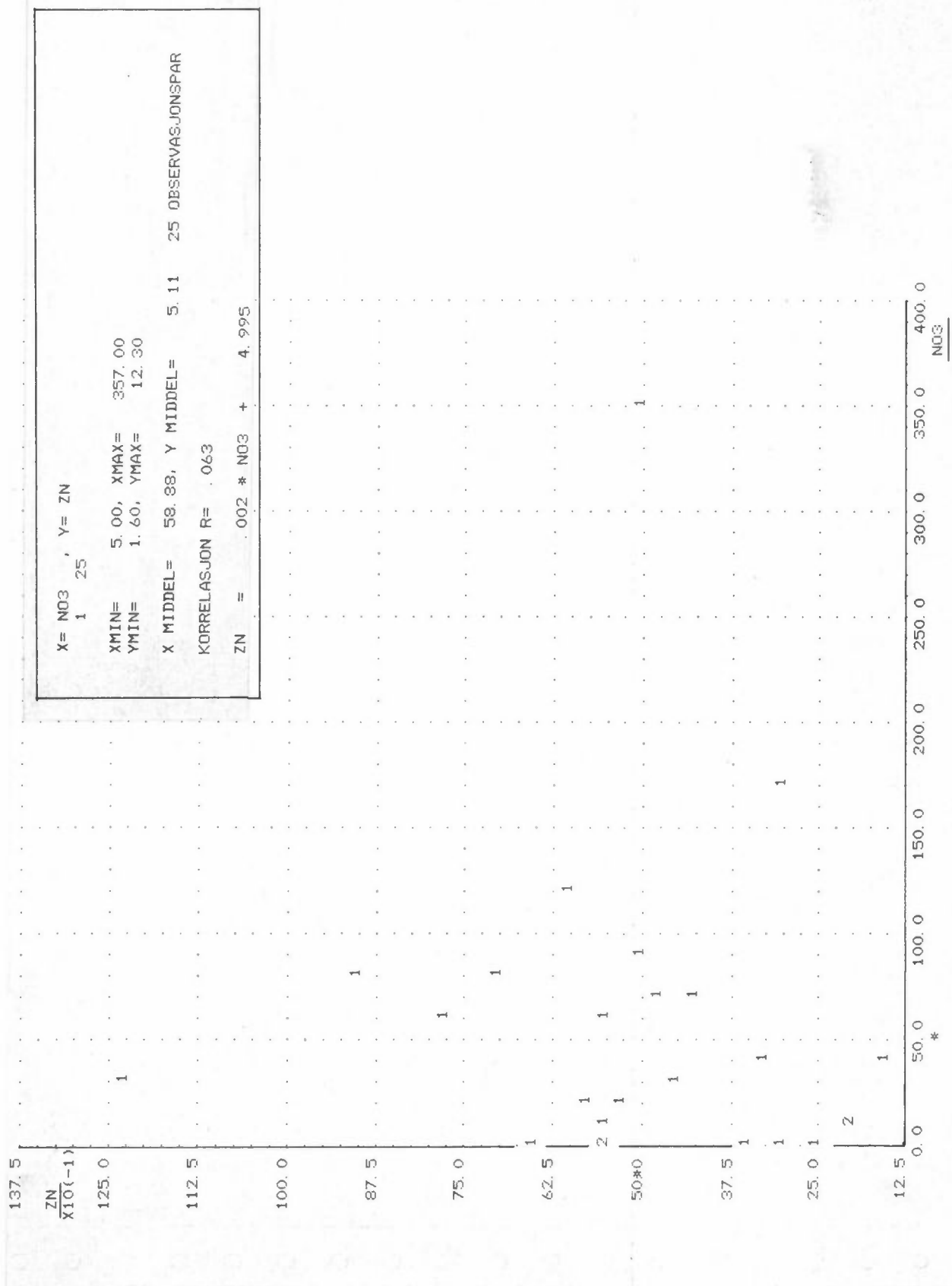
ZN	=	- .0047*CL	+	.0108*T90	+	.0420*MM P	+	-.0324*MM N	+	1.9939	R=	.6721, RR=	.5433
ZN	=	.0054*S04	+	16.4331*RELFF	+	-.1222*D<0	+	-.0202*MM N	+	-.6.1695	R=	.6538, RR=	.5726
ZN	=	.0061*S04	+	19.3090*RELFF	+	.2039*TMI0	+	-.0229*MM N	+	-.11.6598	R=	.6504, RR=	.5770
ZN	=	.0050*S04	+	.0106*T90	+	-.0784*D<0	+	-.0204*MM N	+	2.8474	R=	.6436, RR=	.5858
ZN	=	-.0049*CL	+	.0095*TSS	+	.0439*MM P	+	-.0326*MM N	+	1.6361	R=	.6426, RR=	.5371
ZN	=	17.8769*RELFF	+	-.0072*T<0	+	.0346*MM P	+	-.0332*MM N	+	-.7.5658	R=	.6421, RR=	.5877
ZN	=	-.0049*CL	+	12.3976*RELFF	+	.0480*MM P	+	-.0345*MM N	+	-.4.9413	R=	.6382, RR=	.5927
ZN	=	.0113*T90	+	-.0045*T<0	+	.0320*MM P	+	-.0319*MM N	+	2.4736	R=	.6379, RR=	.5931
ZN	=	.0046*S04	+	.0116*T90	+	-.0048*T<0	+	-.0202*MM N	+	-.2.3650	R=	.6338, RR=	.5963
ZN	=	-.0031*CL	+	-.1131*S02	+	17.5554*RELFF	+	-.1364*D<0	+	-.5.4240	R=	.6327, RR=	.5997
ZN	=	-.0031*CL	+	-.1131*S02	+	OVERGANG FRA CL	,	RELFF	06 D<0	(R= .5916)	TIL FIRE VARIABLE: F=	1.68	



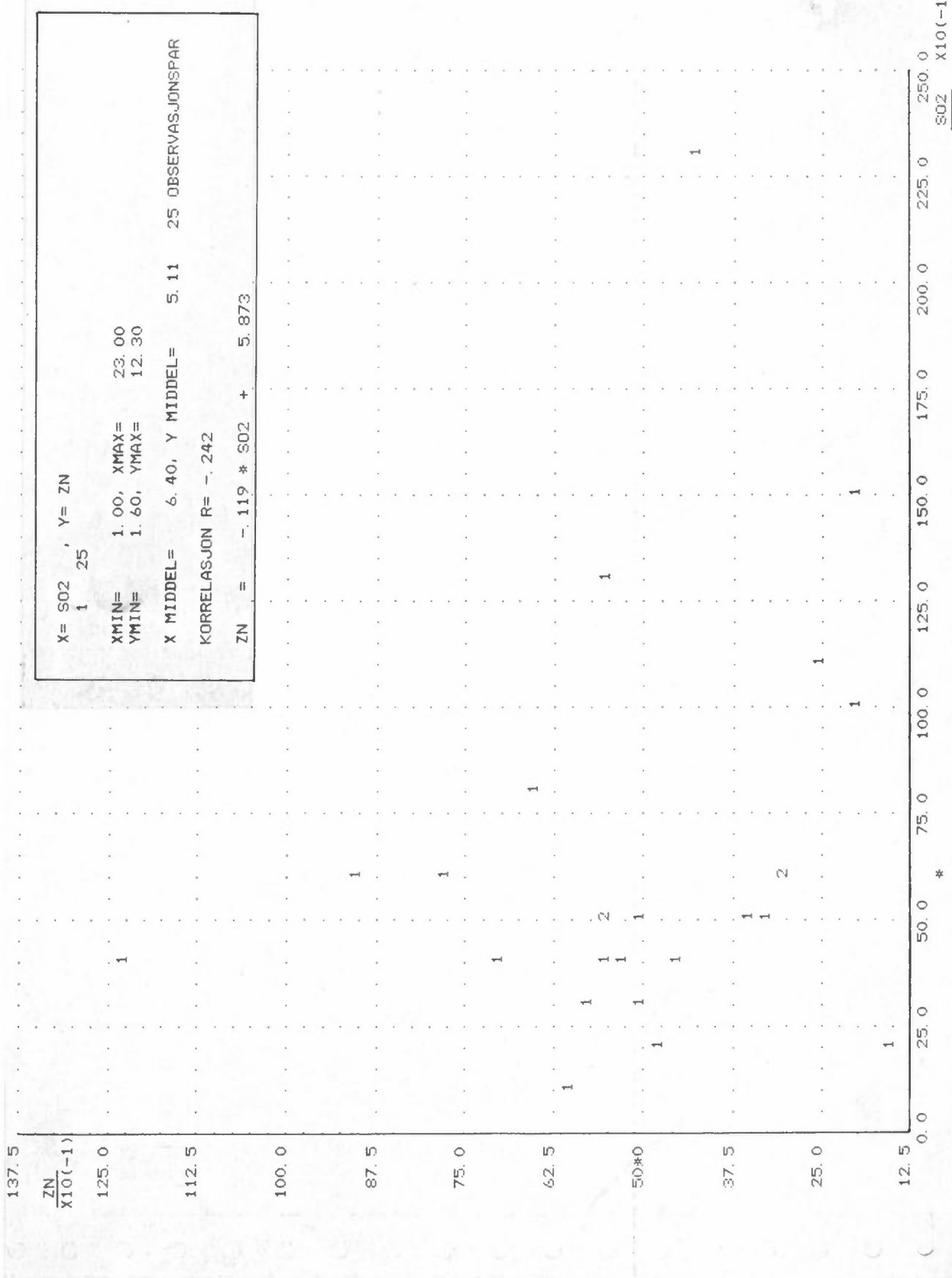
Figur 31.



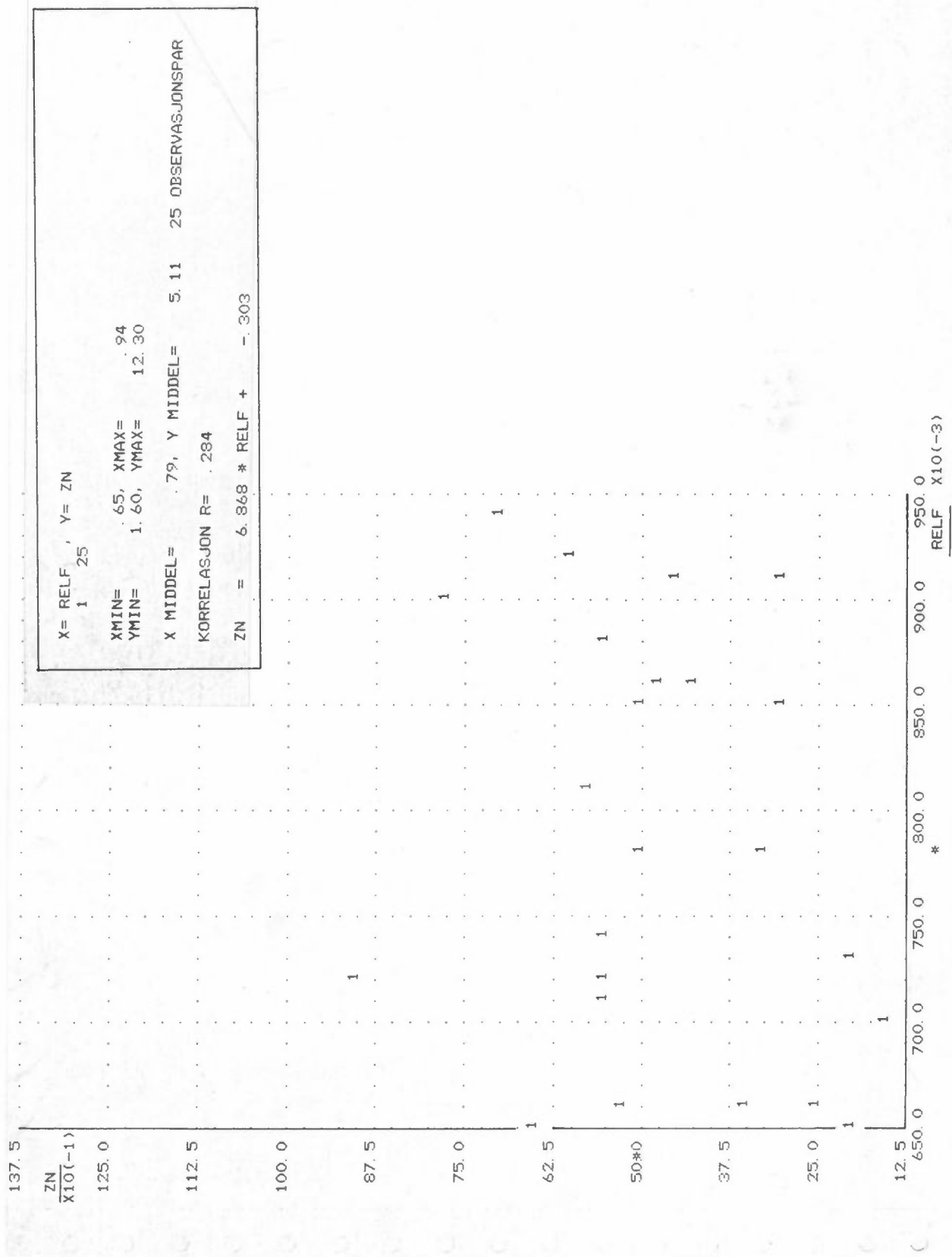
Figur 32.



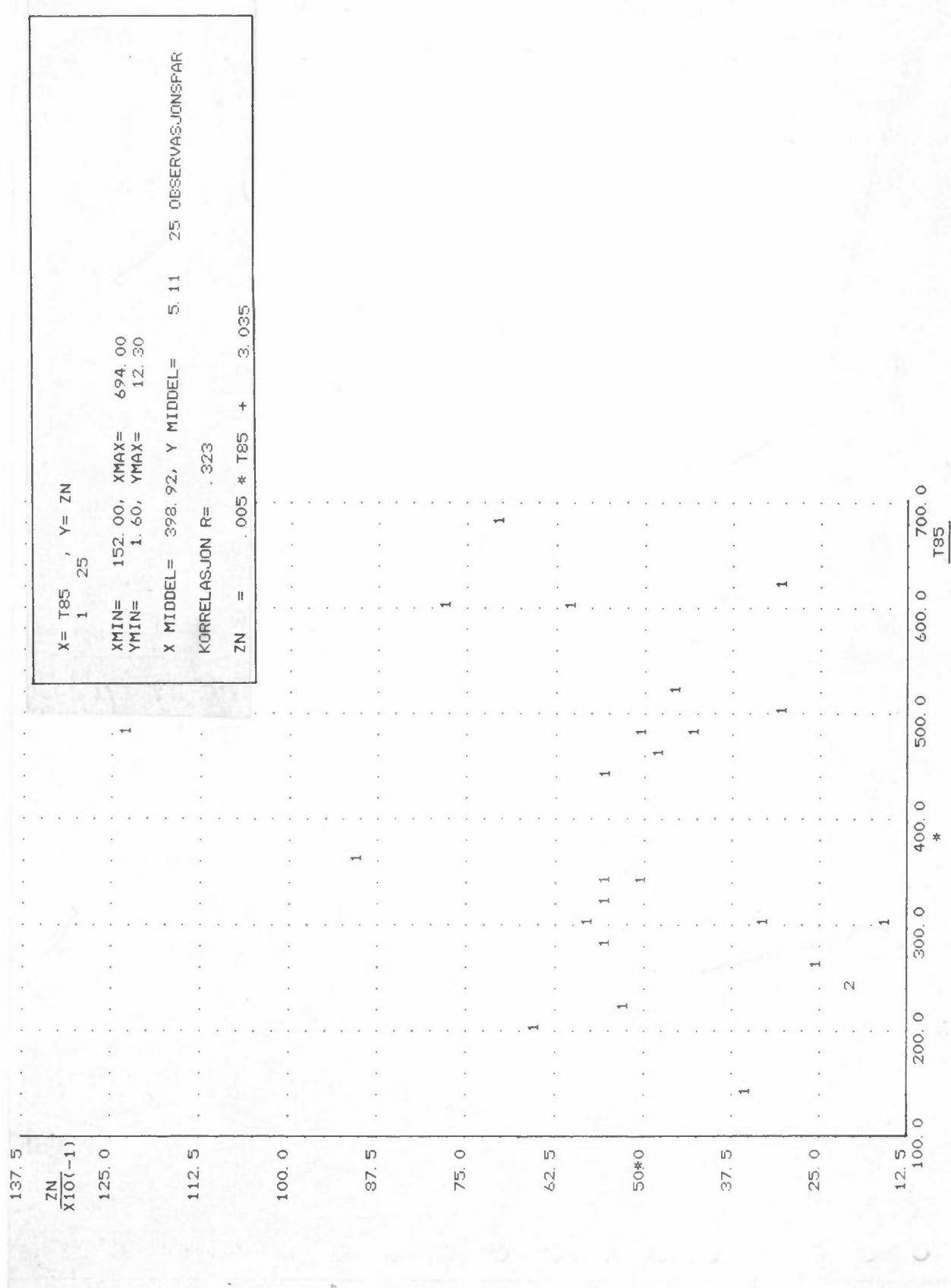
Figur 34.



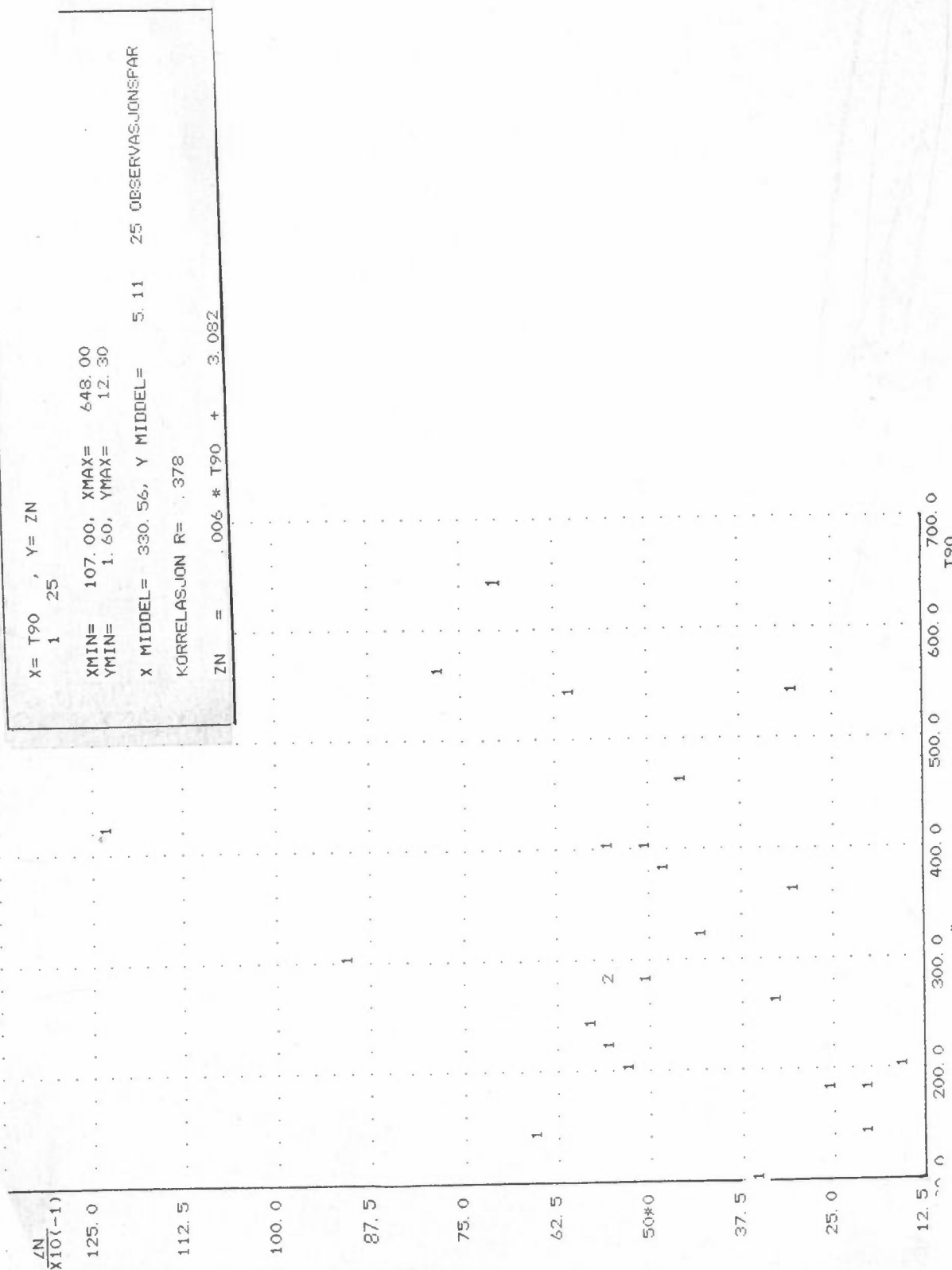
Figur 35.



Figur 36.



Figur 37.



*Figure 38.*

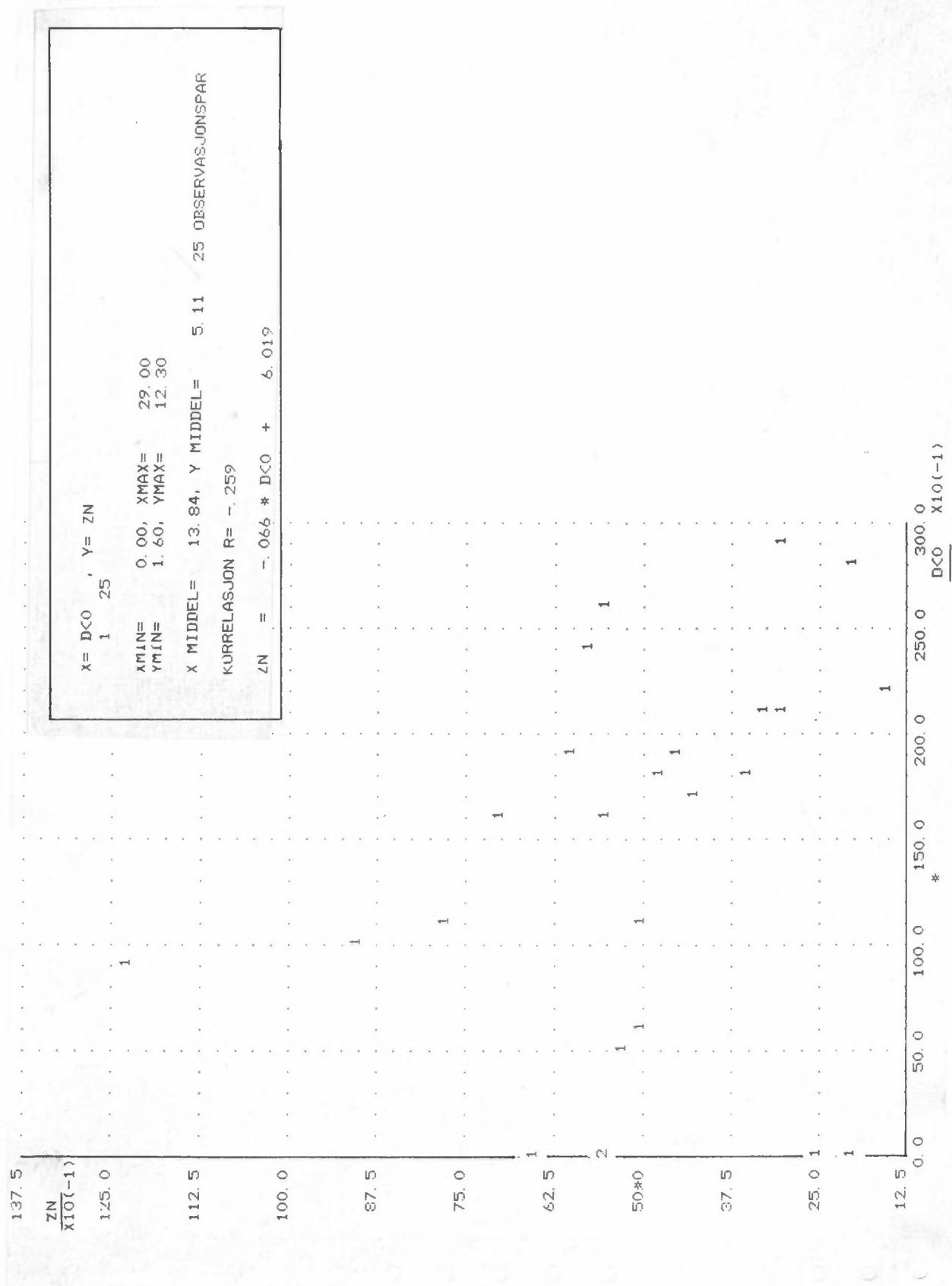


X= T95 ZN X10(-1)	Y= ZN 25	XMIN= 23.00, YMIN= 1.60, XMAX= 397.00, YMAX= 12.30	X MIDDLE= 114.88, Y MIDDLE= 5.11	25 OBSERVAS.JUNSFAF
137.5				
125.0				
112.5				
100.0				
87.5	1			
75.0		1		
62.5	1			
50.0	1	1	1	1
37.5	1		1	
25.0		1		
12.5	1			
0.0	50.0	100.0	150.0	200.0
	*			
				350.0
				400.0
				T95

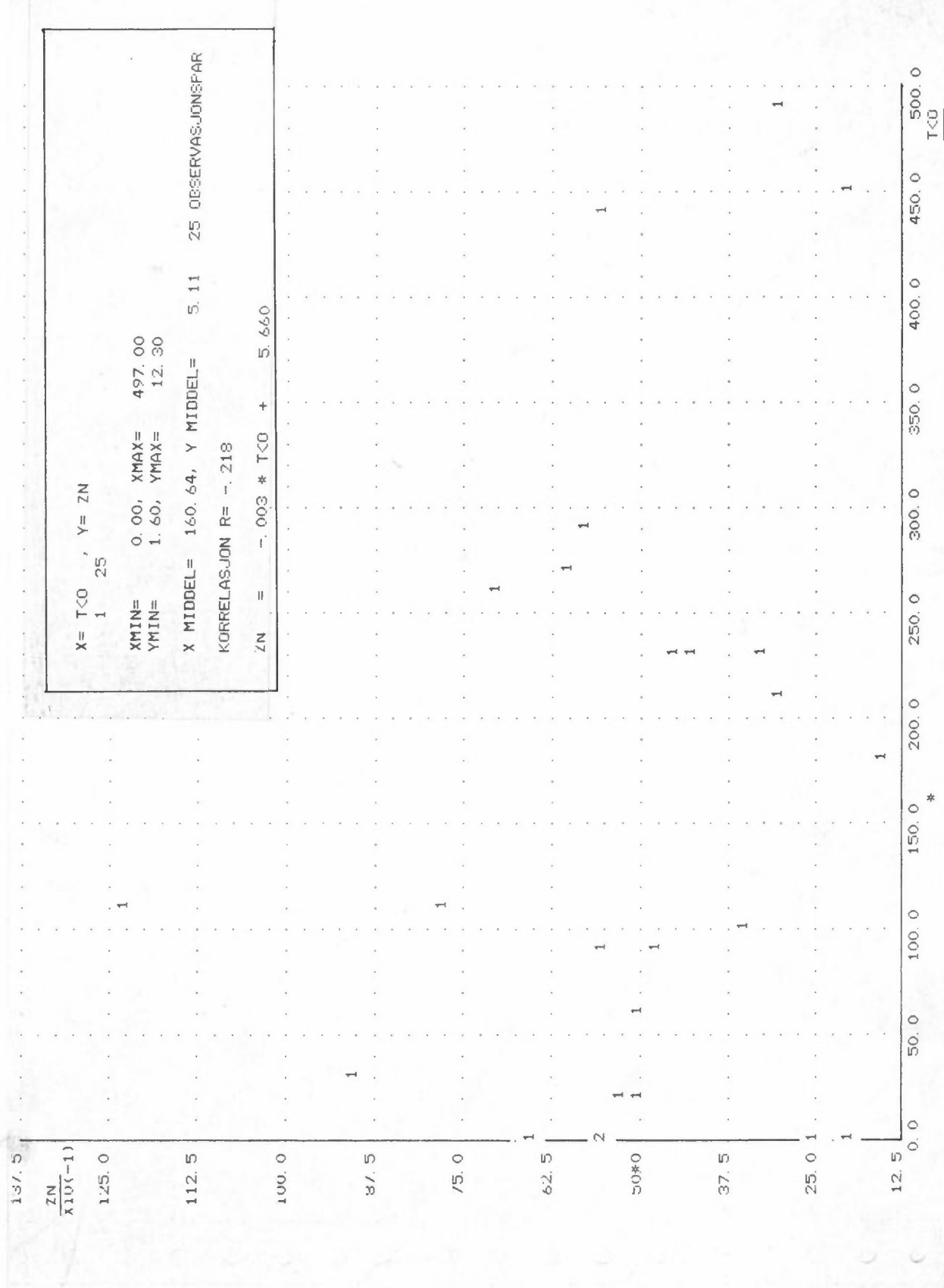
137.5		x= TMID , Y= ZN	
125.0	1	XMIN= -4.50, XMAX= 15.50 YMIN= 1.60, YMAX= 12.30	
112.5	1	X MIDDLE= 5.08, Y MIDDLE= 5.11 25 OBSERVASJONSPAR KORRELASJON R= .122	
100.0	1	ZN = .047 * TMID + 4.874	

137.5  
ZN  
 $\times 10(-1)$   
125.0  
112.5  
100.0  
87.5  
75.0  
62.5  
50.0  
37.5  
25.0  
12.5  
-50.0

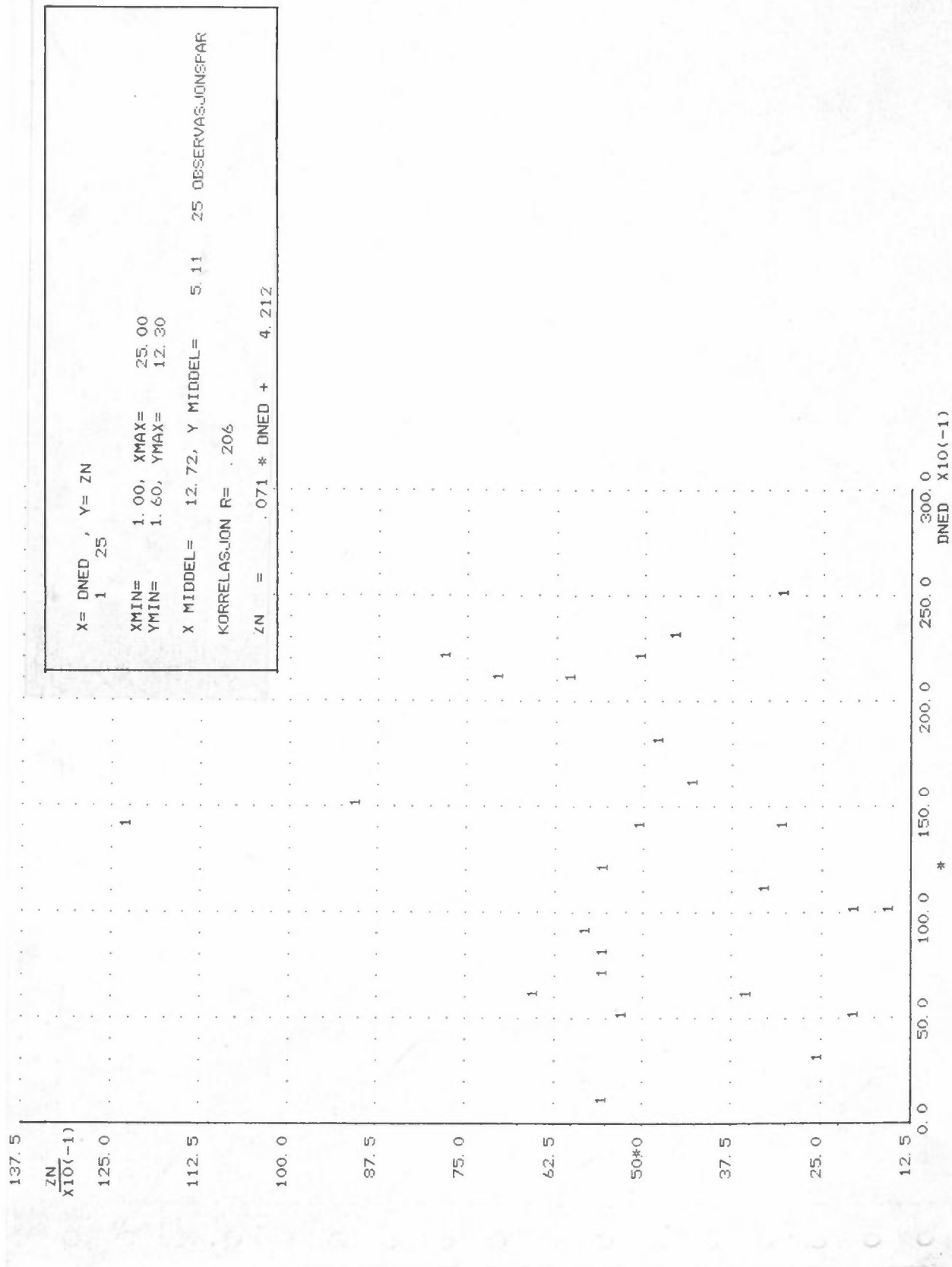
0 25.0 50.0 75.0 100.0 125.0 150.0 175.0 200.0  
 $\times 10(-1)$  TMID



Figur 41.



Figur 42.



Figur 43.

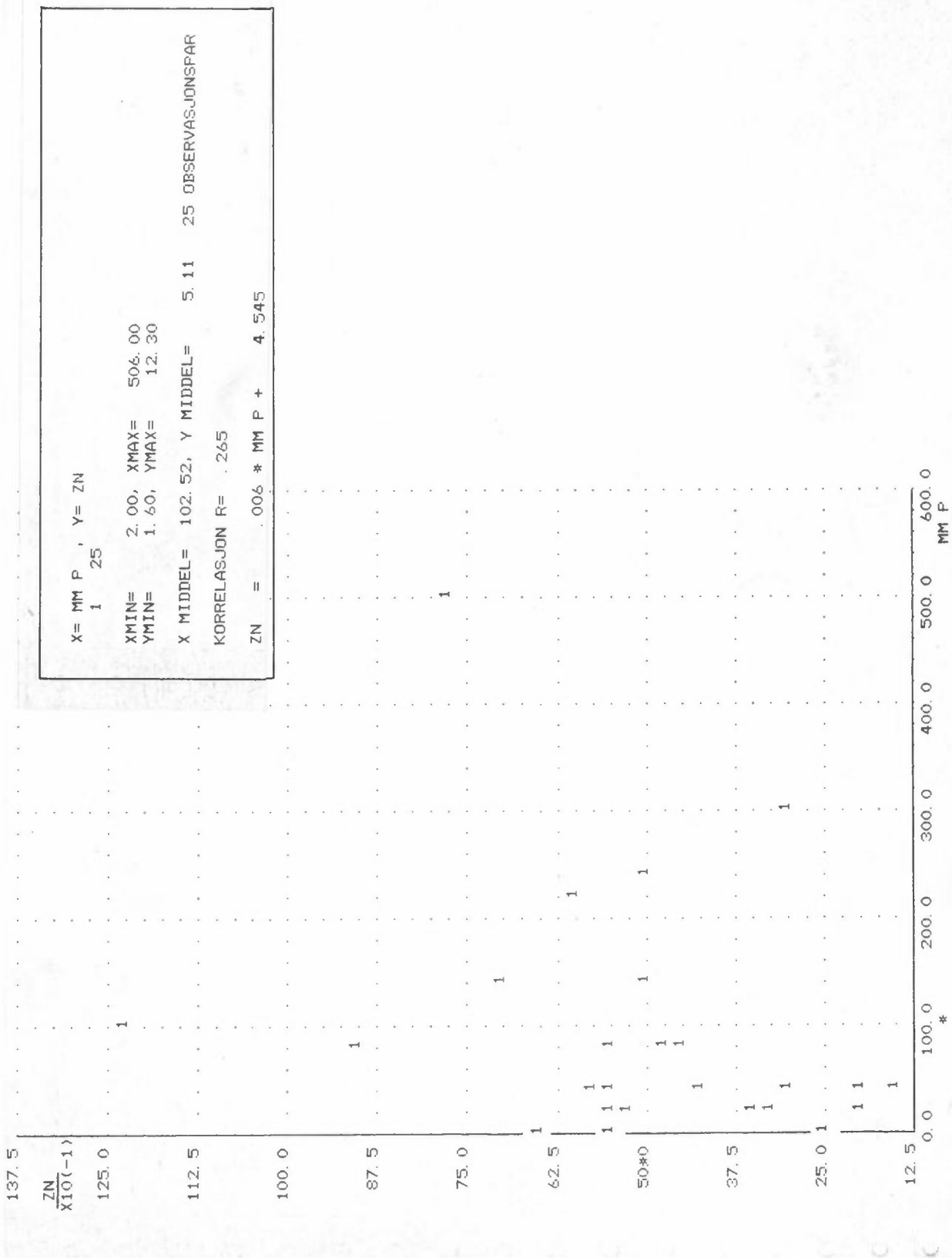
$\frac{ZN}{X10(-1)}$	X= TNED , Y= ZN	
125.0	XMIN= 7.00, XMAX= 351.00 YMIN= 1.60, YMAX= 12.30	
112.5	X MIDDLE= 102.44, Y MIDDLE= 5.11	25 OBSERVASJONSPAR
100.0	KORRELASJON R= .268	
87.5	ZN = .008 * TNED + 4.319	
75.0		
62.5		
50.0		
37.5		
25.0		
12.5		

\*\*\*\*\*

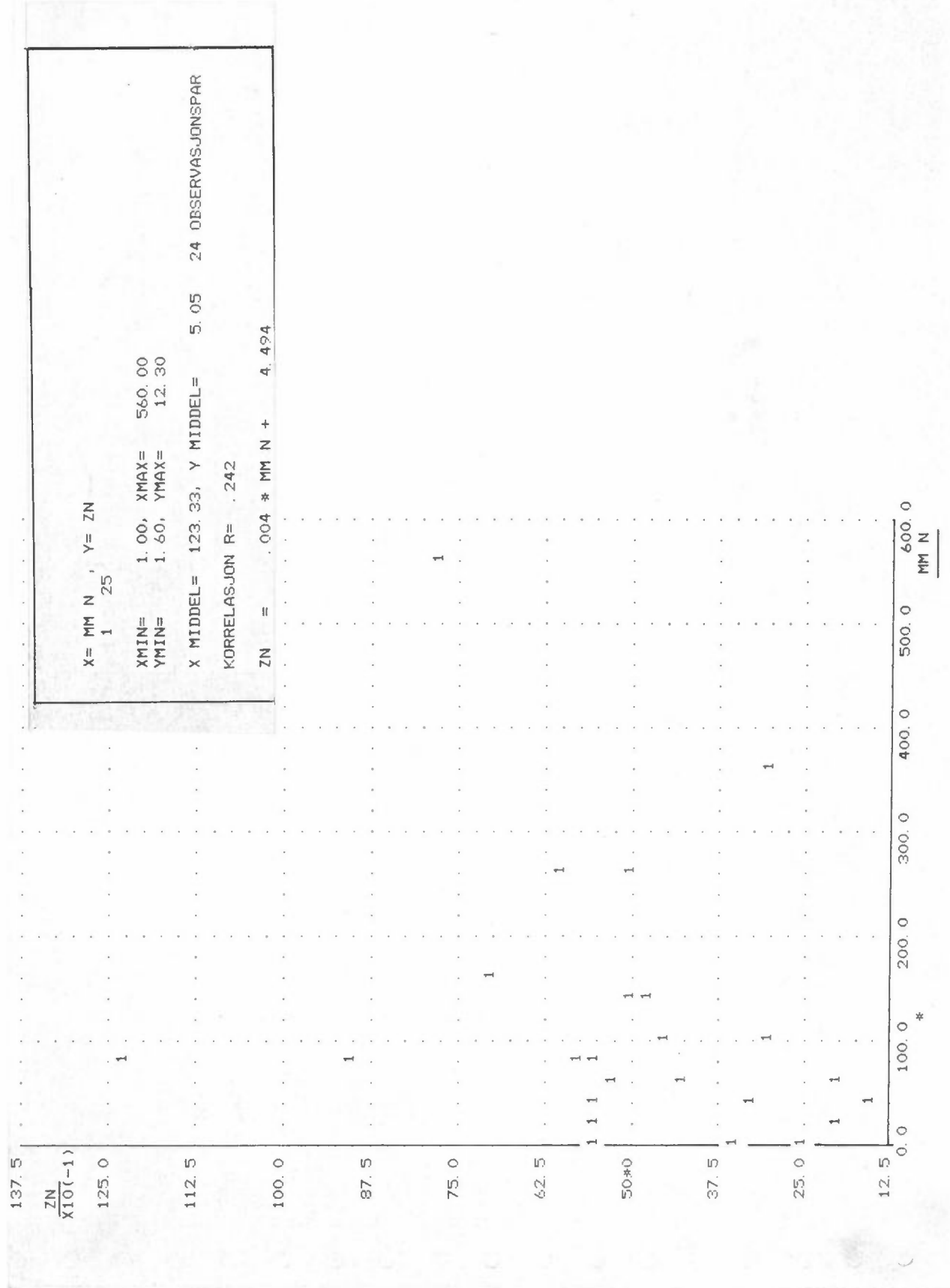
0.0 50.0 100.0 150.0 200.0 250.0 300.0 350.0 400.0

TNED





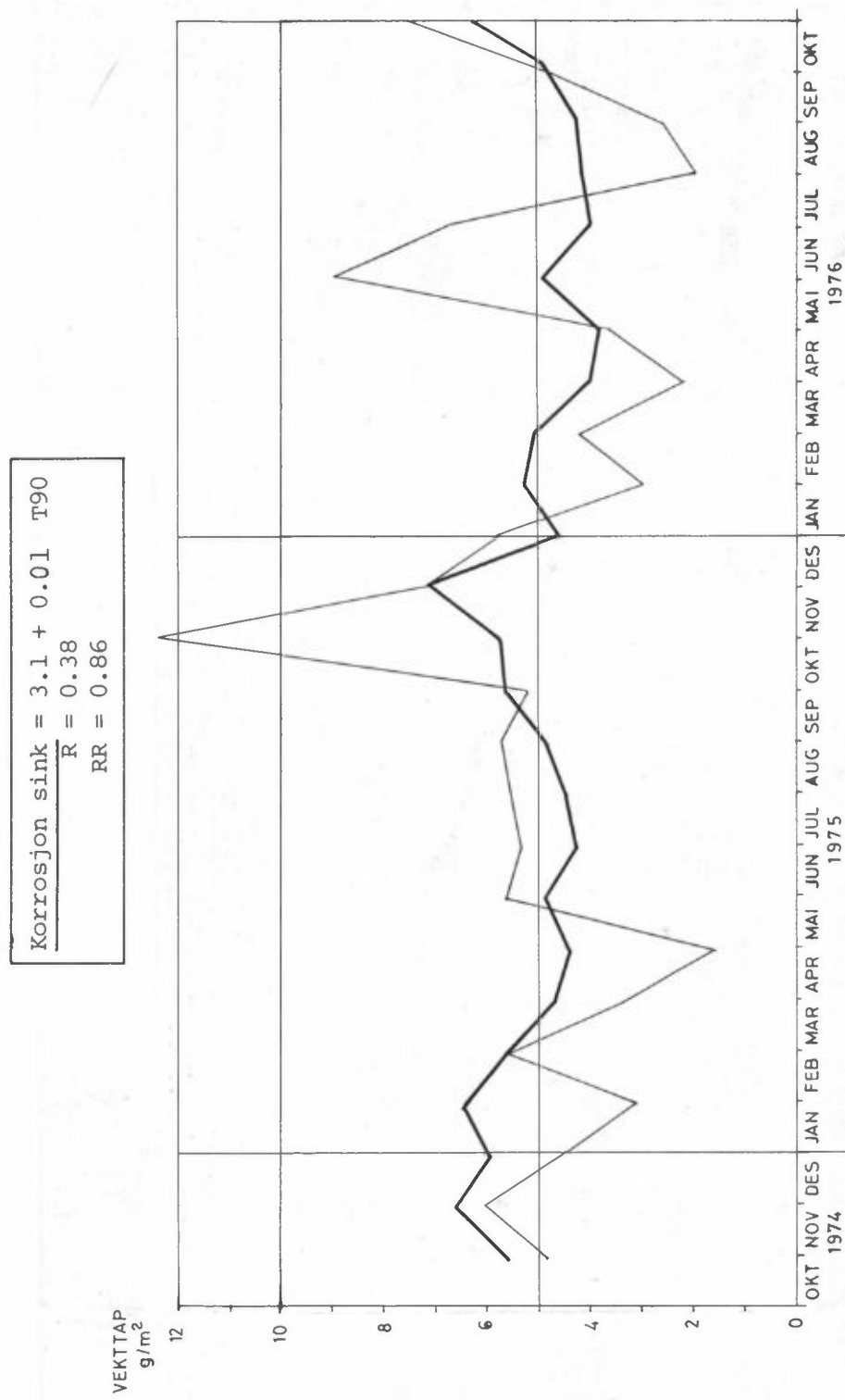
Figur 45.



Figur 46.



Figur 47.



Figur 48: Obsvert (—) og beregnet (—) månedskorrosjon for sink på Birknes.

BILAG 4  
ZINK - DØGNMÅLINGER  
MED ELEKTROKJEMISK  $Z_n/Z_n$ -CELLE

- DØGNDATA
- KVANTITATIV CELLEFAKTOR
- REGRESJONSANALYSER













Tabell 13 forts.

	VATT	SMEV	SMET	TMID	T<0	FMID	F>85	F>90	F>95	MMPL	TNED
10875	0. 00	1.	141. 5	14. 9	0.	. 710	11.	10.	2.	2. 6	4.
20875	0. 00	0.	5. 4	15. 2	0.	. 741	8.	8.	4.	0. 0	0.
30875	0. 00	0.	4. 9	19. 3	0.	. 592	6.	6.	2.	0. 0	0.
40875	0. 00	0.	3. 9	17. 6	0.	. 685	11.	10.	4.	0. 0	0.
50875	0. 00	0.	1. 9	17. 0	0.	. 706	10.	9.	0.	0. 0	0.
60875	0. 00	0.	5. 8	19. 1	0.	. 689	11.	9.	4.	0. 0	0.
70875	0. 00	0.	1. 9	19. 1	0.	. 695	11.	9.	1.	0. 0	0.
80875	0. 00	0.	2. 5	19. 9	0.	. 667	9.	8.	0.	0. 0	0.
90875	0. 00	0.	3. 2	19. 7	0.	. 677	9.	8.	0.	0. 0	0.
100875	0. 00	0.	3. 0	21. 7	0.	. 609	7.	5.	0.	0. 0	0.
110875	0. 00	0.	3. 0	22. 0	0.	. 571	5.	3.	0.	0. 0	0.
120875	0. 00	0.	24. 1	16. 3	0.	. 651	9.	8.	6.	0. 0	0.
130875	5. 39	338.	66. 8	15. 1	0.	. 804	12.	10.	7.	0. 0	0.
140875	0. 00	0.	10. 4	17. 4	0.	. 690	7.	5.	0.	0. 0	0.
150875	. 08	2.	30. 5	17. 4	0.	. 736	10.	8.	0.	0. 0	0.
SUM	5. 47	341.	308. 8								
STOT=			650.								

	MMOE	S04N	H+PH	H+	MG	S02	S04L	N03N	NH4N	CA	CL	PH
10875	2.	2. 3	17. 78	16.	. 10	21.	1. 4	-99. 00	-99. 00	. 24	-99. 00	4.
20875	-99.	-99. 0	-99. 00	-99.	-99. 00	4.	. 7	-99. 00	-99. 00	-99. 00	-99. 00	-99.
30875	-99.	-99. 0	-99. 00	-99.	-99. 00	3.	. 9	-99. 00	-99. 00	-99. 00	-99. 00	-99.
40875	-99.	-99. 0	-99. 00	-99.	-99. 00	4.	1. 6	-99. 00	-99. 00	-99. 00	-99. 00	-99.
50875	-99.	-99. 0	-99. 00	-99.	-99. 00	1.	6. 1	-99. 00	-99. 00	-99. 00	-99. 00	-99.
60875	-99.	-99. 0	-99. 00	-99.	-99. 00	8.	5. 7	-99. 00	-99. 00	-99. 00	-99. 00	-99.
70875	-99.	-99. 0	-99. 00	-99.	-99. 00	1.	2. 6	-99. 00	-99. 00	-99. 00	-99. 00	-99.
80875	-99.	-99. 0	-99. 00	-99.	-99. 00	1.	4. 0	-99. 00	-99. 00	-99. 00	-99. 00	-99.
90875	-99.	-99. 0	-99. 00	-99.	-99. 00	4.	4. 6	-99. 00	-99. 00	-99. 00	-99. 00	-99.
100875	-99.	-99. 0	-99. 00	-99.	-99. 00	6.	5. 5	-99. 00	-99. 00	-99. 00	-99. 00	-99.
110875	-99.	-99. 0	-99. 00	-99.	-99. 00	6.	11. 2	-99. 00	-99. 00	-99. 00	-99. 00	-99.
120875	-99.	-99. 0	-99. 00	-99.	-99. 00	4.	4. 2	-99. 00	-99. 00	-99. 00	-99. 00	-99.
130875	-99.	-99. 0	-99. 00	-99.	-99. 00	5.	6. 6	-99. 00	-99. 00	-99. 00	-99. 00	-99.
140875	-99.	-99. 0	-99. 00	-99.	-99. 00	3.	10. 6	-99. 00	-99. 00	-99. 00	-99. 00	-99.
150875	-99.	-99. 0	-99. 00	-99.	-99. 00	3.	9. 7	-99. 00	-99. 00	-99. 00	-99. 00	-99.

















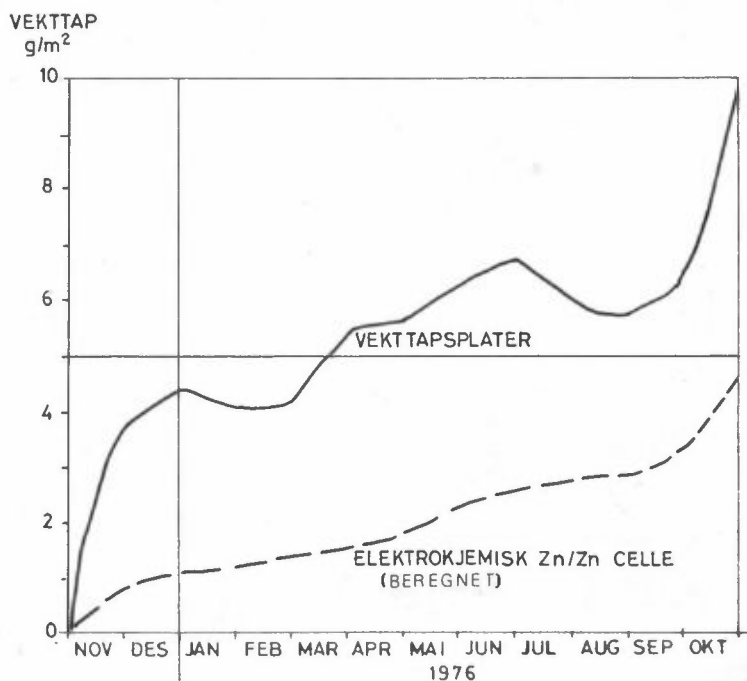




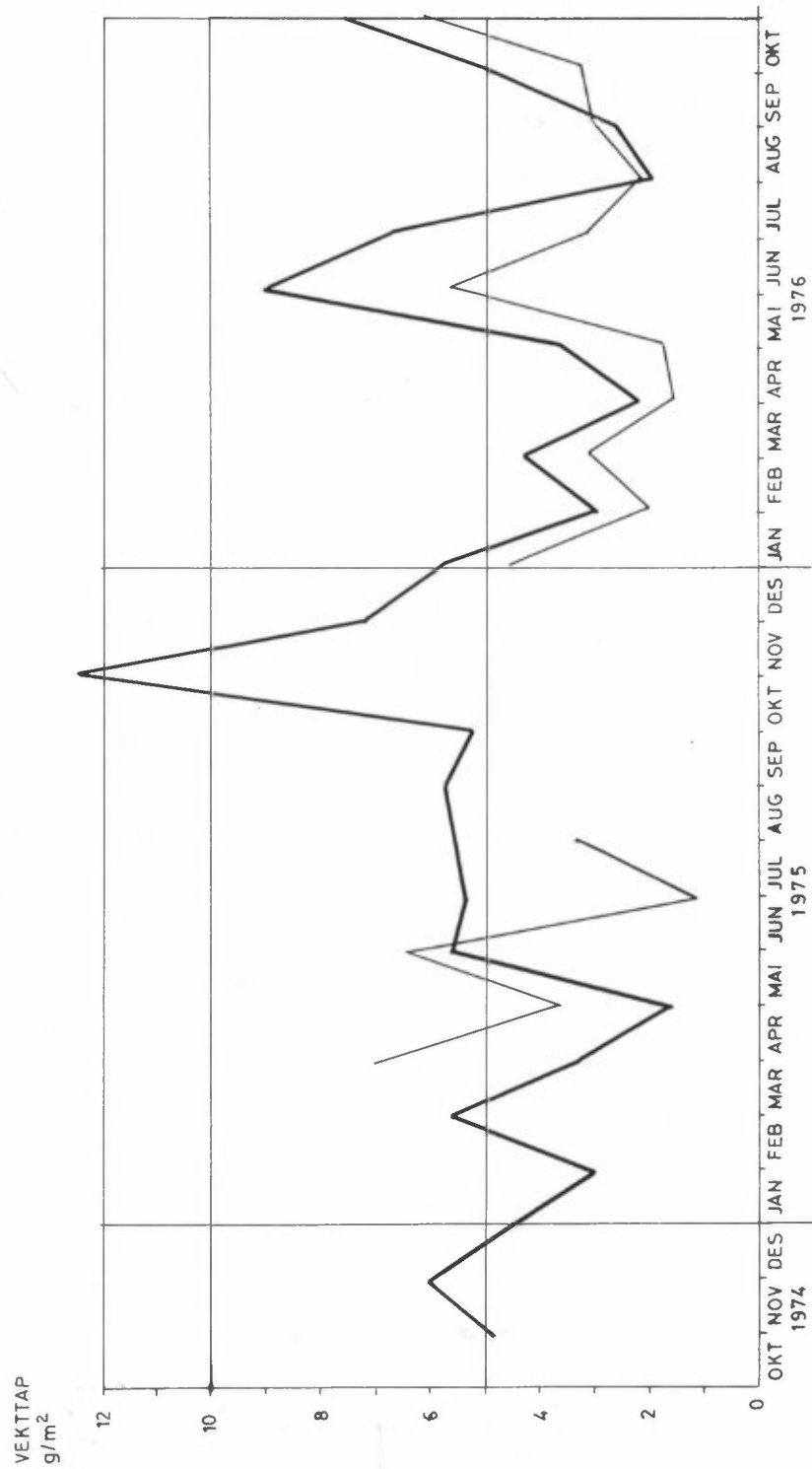




Tabell 14: Månedlige vekttap fra samtidig eksponerte prøveplater og elektrokjemisk Zn/Zn-cell.



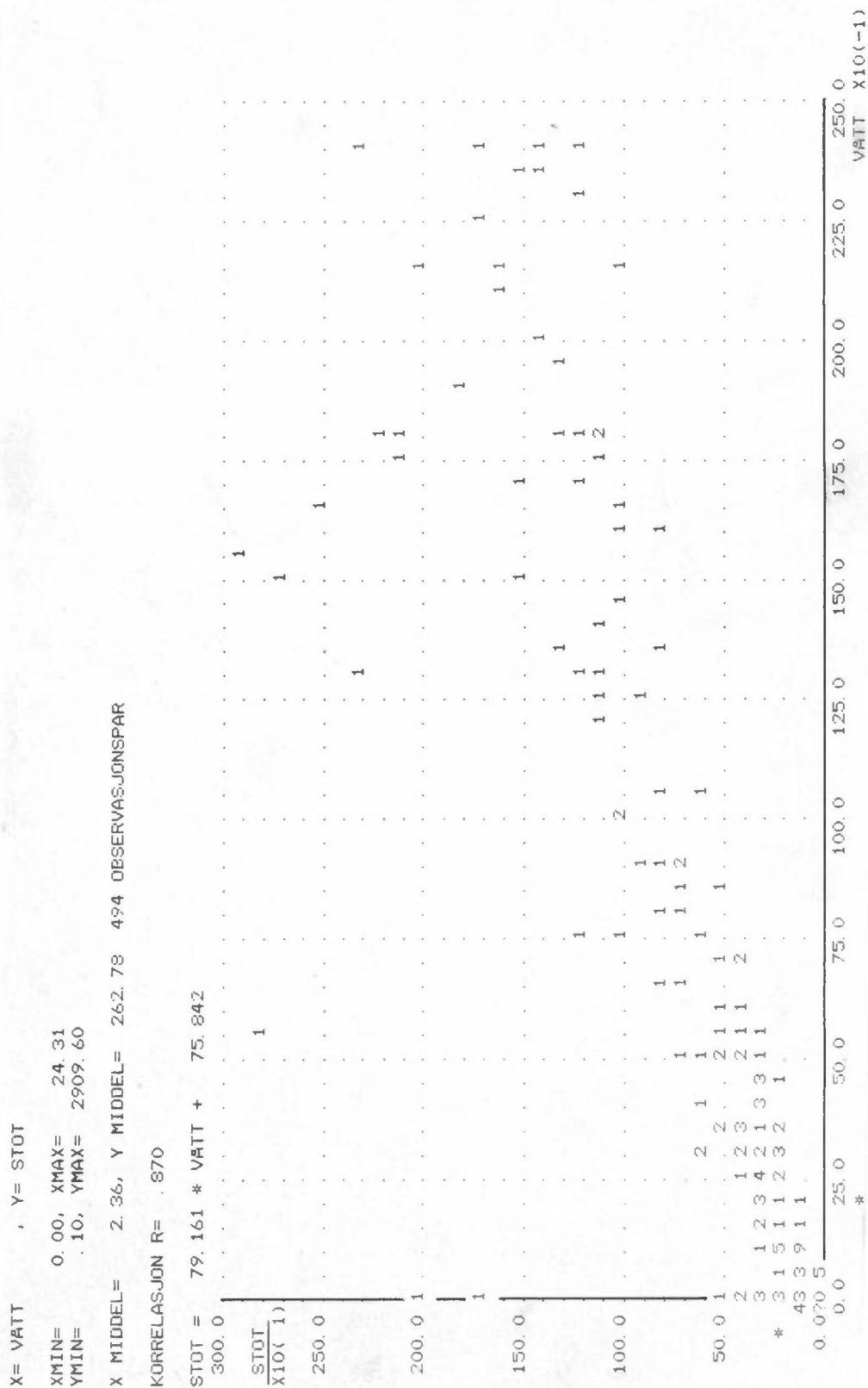
Figur 49: Korrosjon av kontinuerlig eksponerte Zn-plater og elektrokjemisk Zn/Zn-cell på Birkenes.



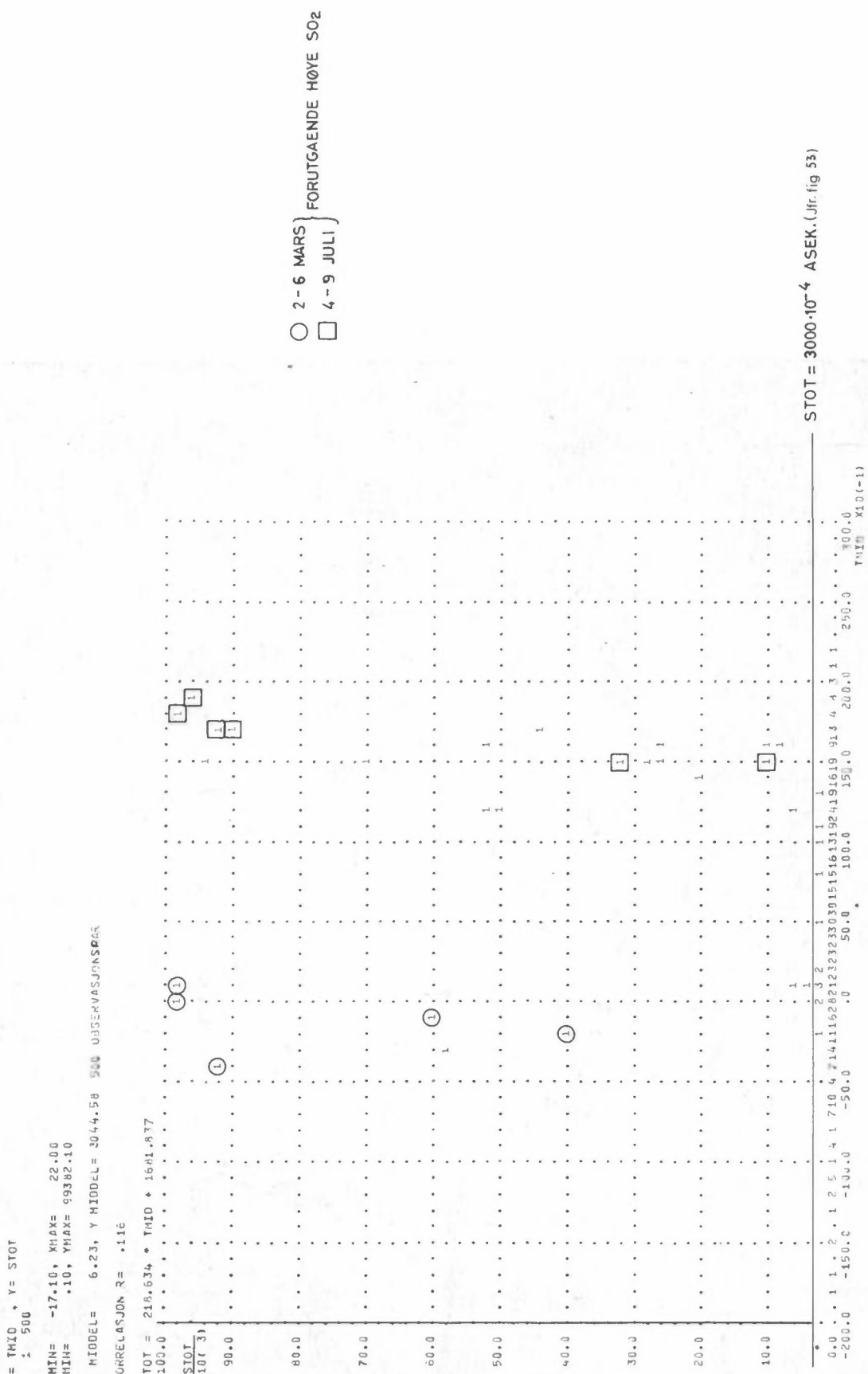
Figur 50: Månedlig sinkkorrasjon av store plater (100x150 mm)  
og av små plater (3,2 x 20 mm) tildekket på baksiden

Tabell 15: Korrelasjonsfaktorer og signifikansnivåer for enfaktorrelasjoner: korrosjon (Zn/Zn celle) vs f(meteorologiske, atmosfærisk/kjemiske parametre) på døgnbasis

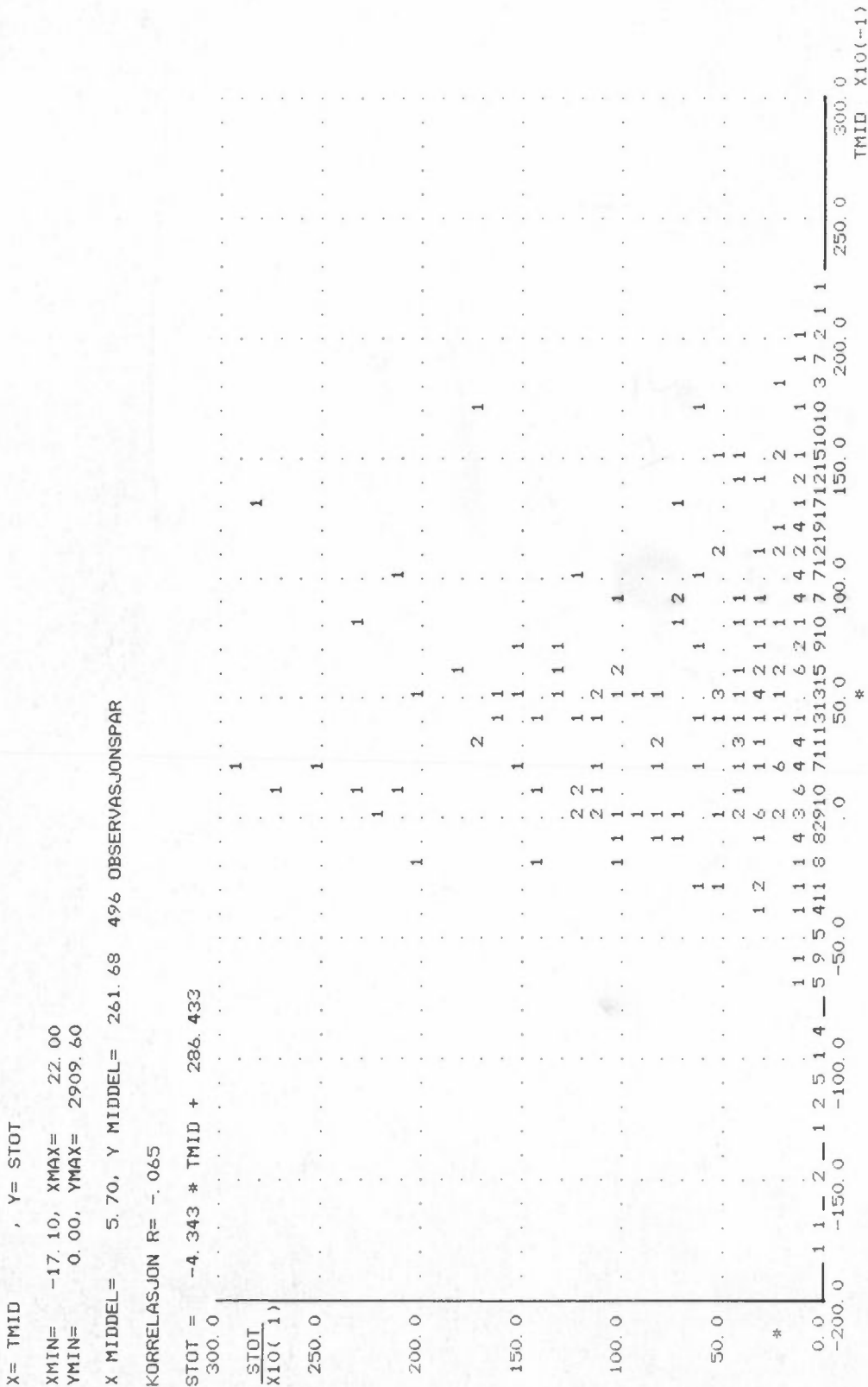
PARAMETRE	Ant.data	Total cellestrøm (STOT)	våttid(VÅTT)
Celle Total cellestrøm(STOT) Våttid celle (VÅTT)	-		
Temp. Middel temp.(TMID)	472	-0.07	-0.09
	205	-0.12(x)	-0.09
Fuktighet Mid.fuktigh.(FMID) Timer >85% RF (T>85) Timer >90% RF (T>90) Timer >95% RF (T>95)	488 " " "	0.47 xxx 0.51 xxx 0.53 xxx 0.21 xxx	0.49 0.55 0.58 0.18
Nedbør Timer nedb.pluviograf (TNED) mm nedbør pluviograf (MMPL) mm nedbør OECD-nett (MMOE)	177 " 158	0.62 xxx 0.56 xxx 0.53 xxx	0.70 0.62 0.62
Nedbør-kjemi pH (pH) Sterk syre (H <sup>+</sup> ) Sulfat (SO <sub>4</sub> ) Magnesium (Mg) Nitrat (NO <sub>3</sub> ) Ammonium (NH <sub>4</sub> ) Kalsium (CA) Klorid (Cl)	136 128 135 133 117 117 133 18	Kons(N) Belast(B) -0.18 x 0.18 x 0.02 0.55 xxx -0.06 0.31 xxx 0.06 0.47 xxx 0.09 0.43 xxx -0.10 0.32 xxx 0.44 x 0.65 xxx	-0.13 0.17 0.03 -0.06 0.06 0.12 -0.12 0.38
Luft Svoeldioksyd i luft SO <sub>2</sub> Sulfat i luft (SO <sub>4</sub> L)	485 427	-0.03 0.10	-0.03 0.11



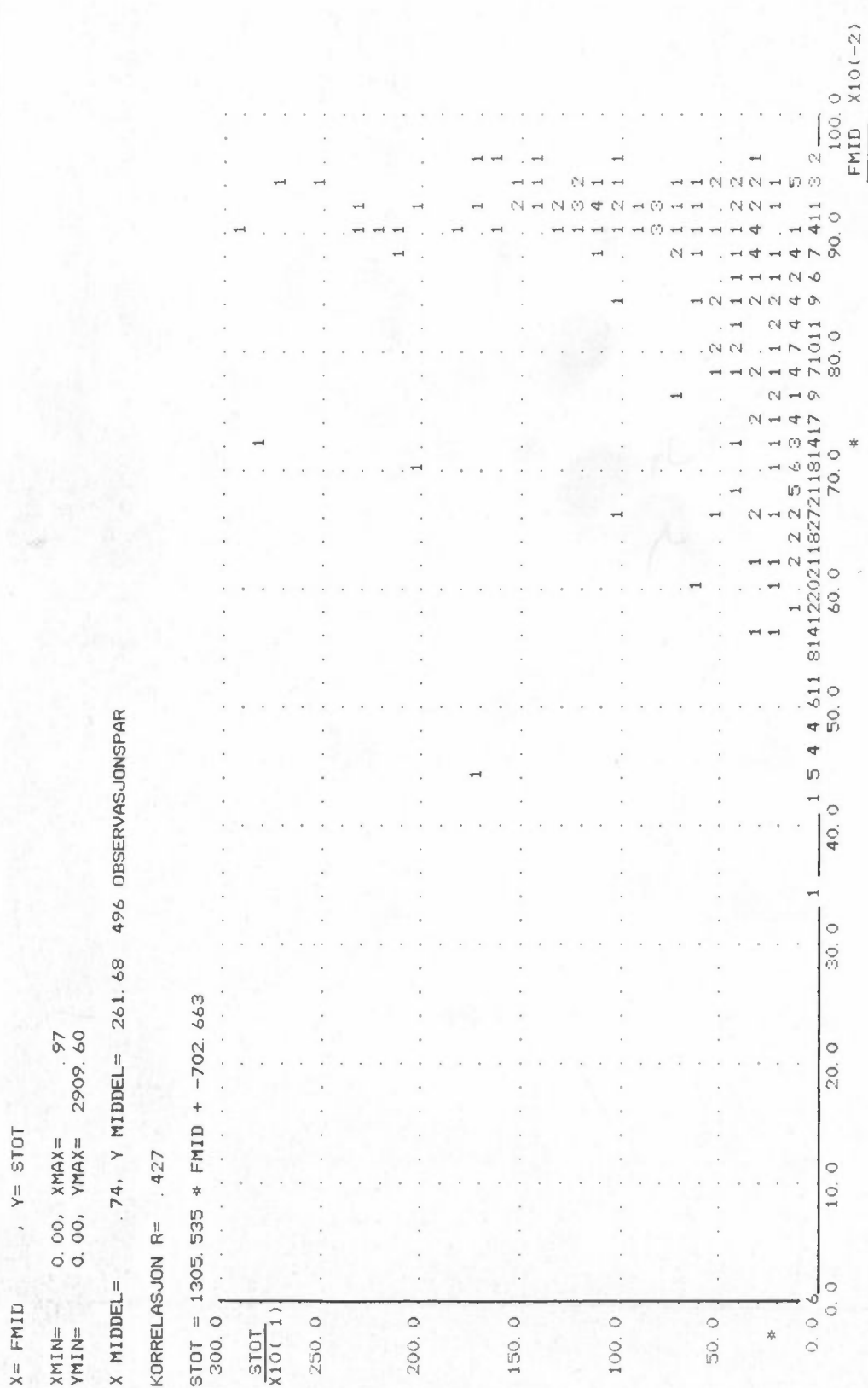
Figur 51:



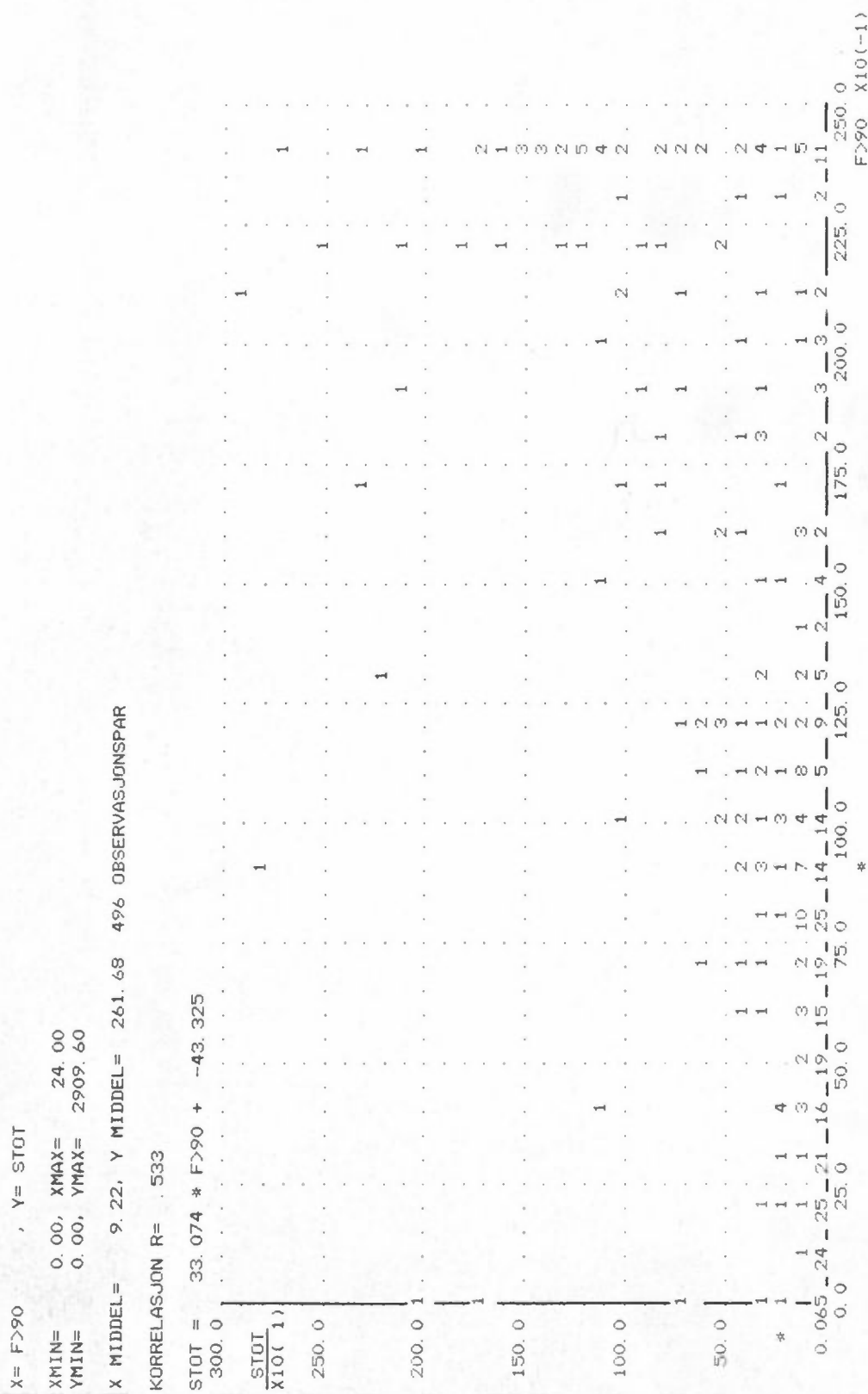
Figur 52:



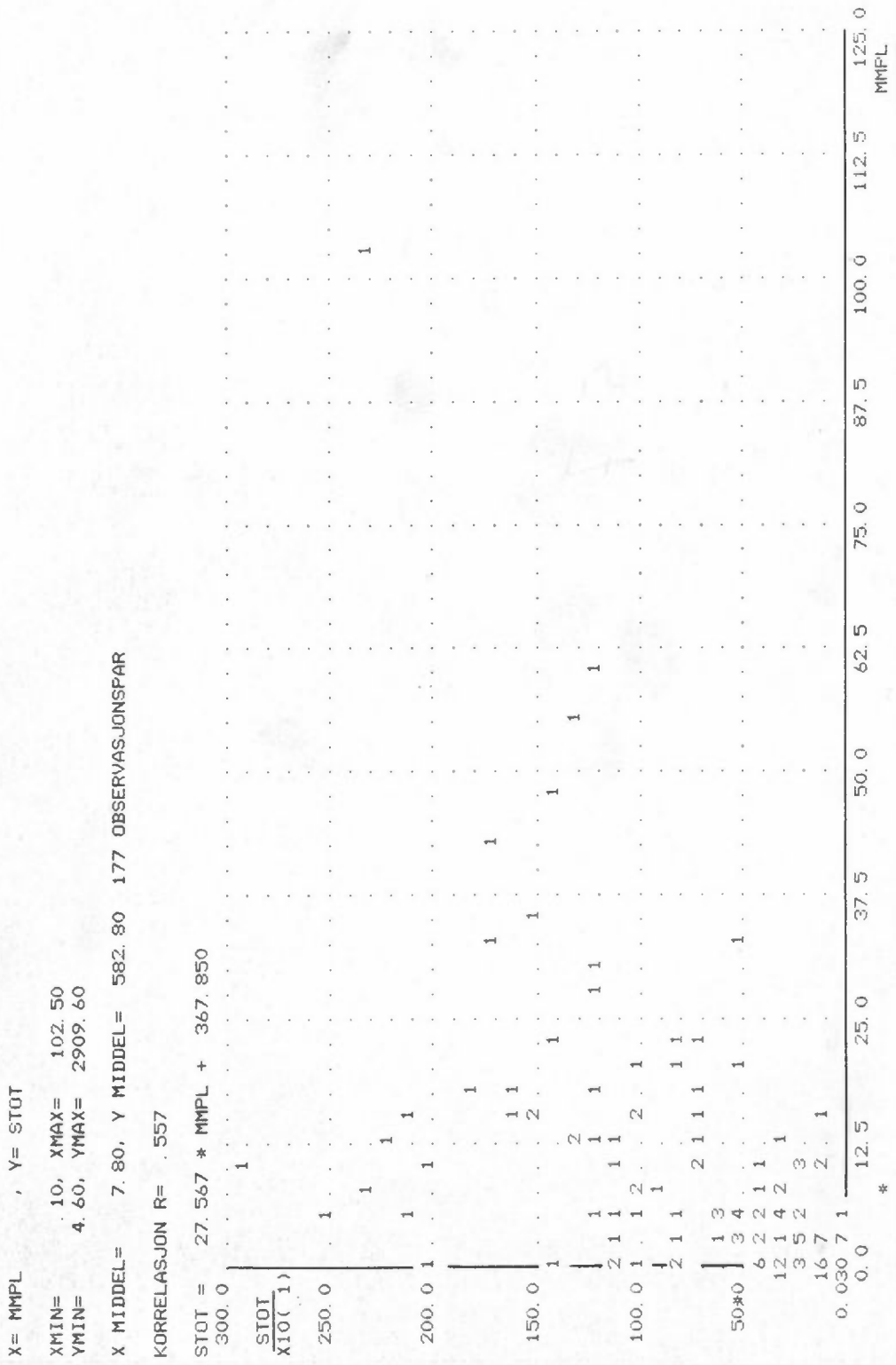
Figur 53:



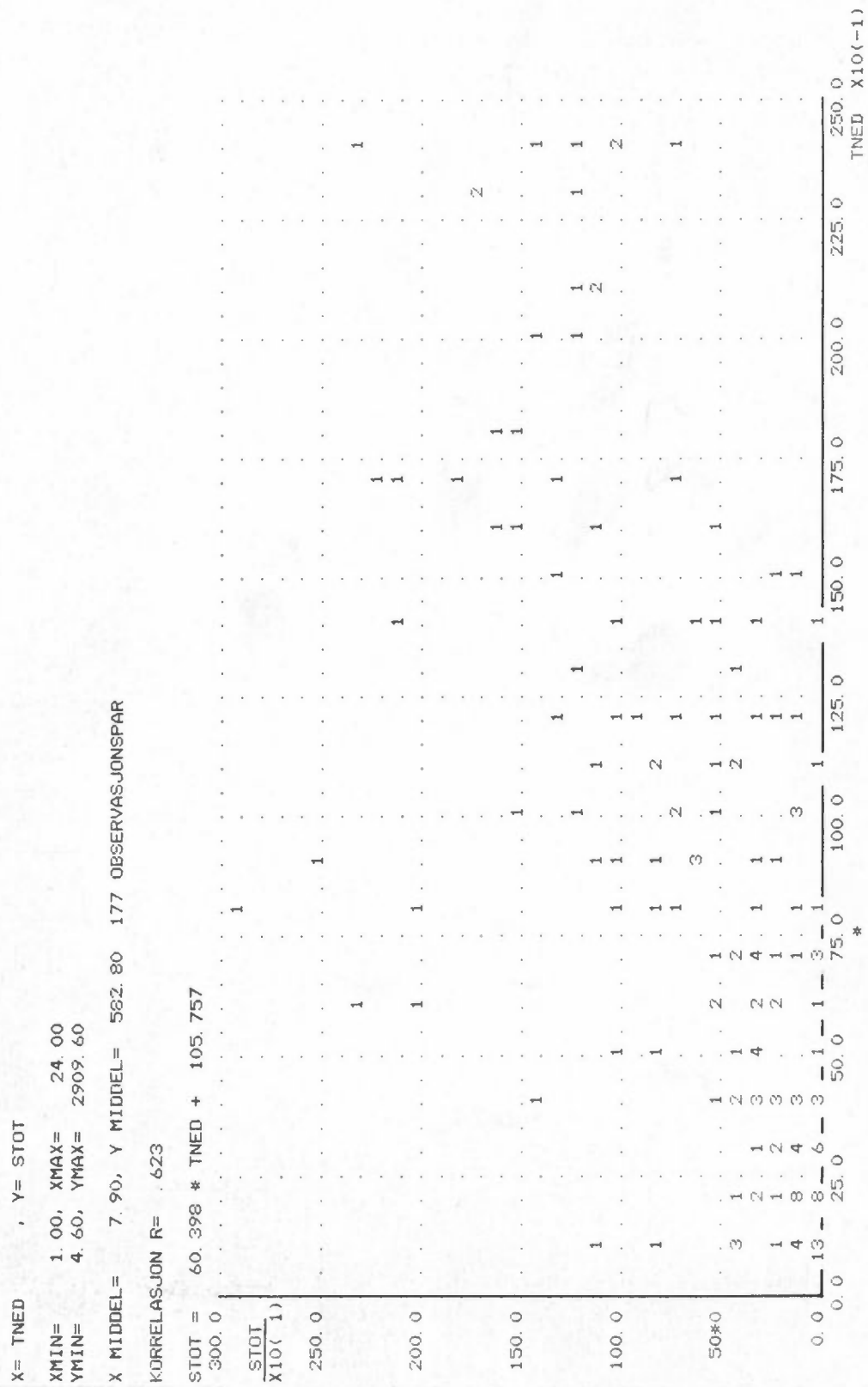
Figur 54:



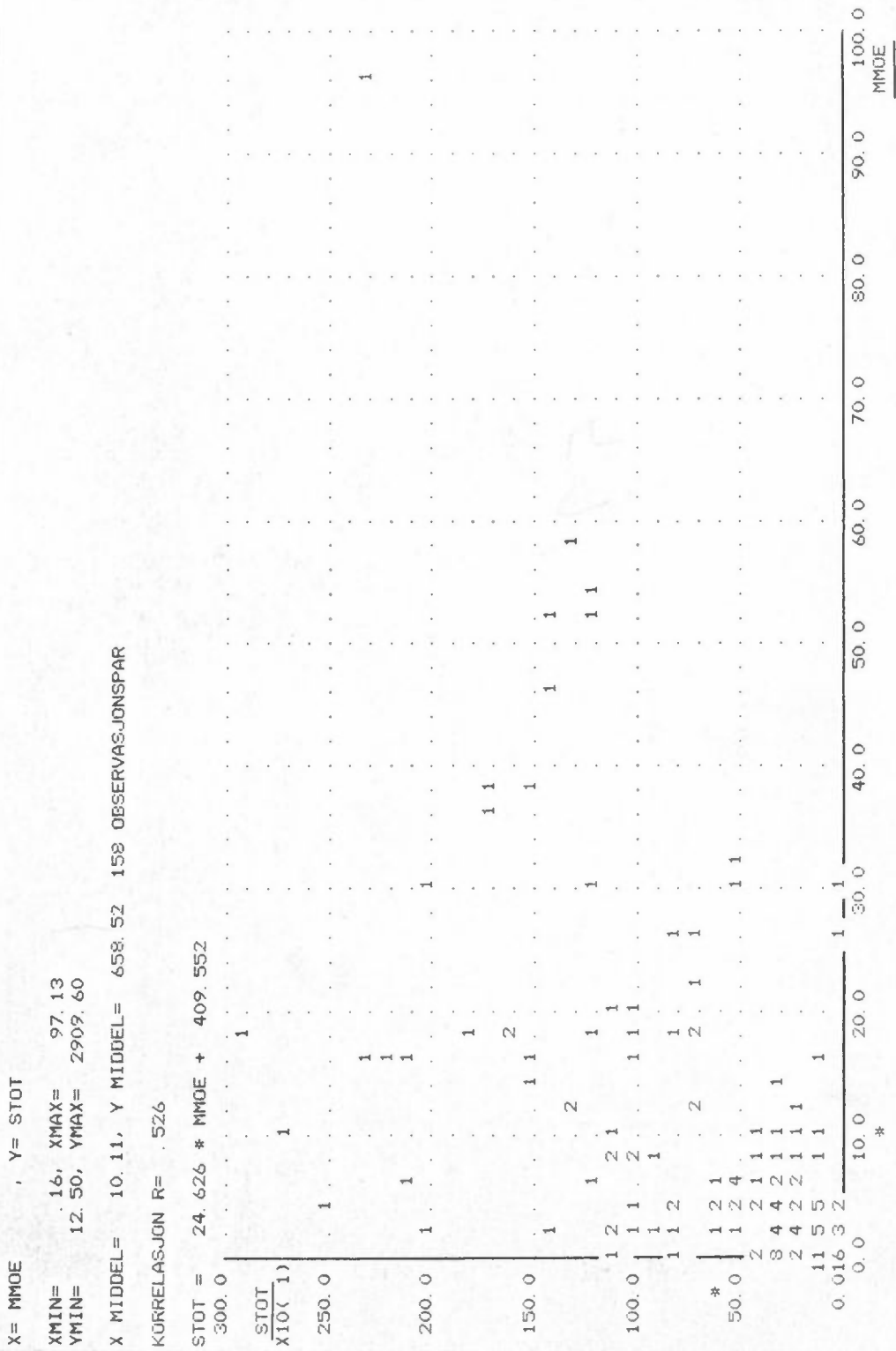
Figur 55:



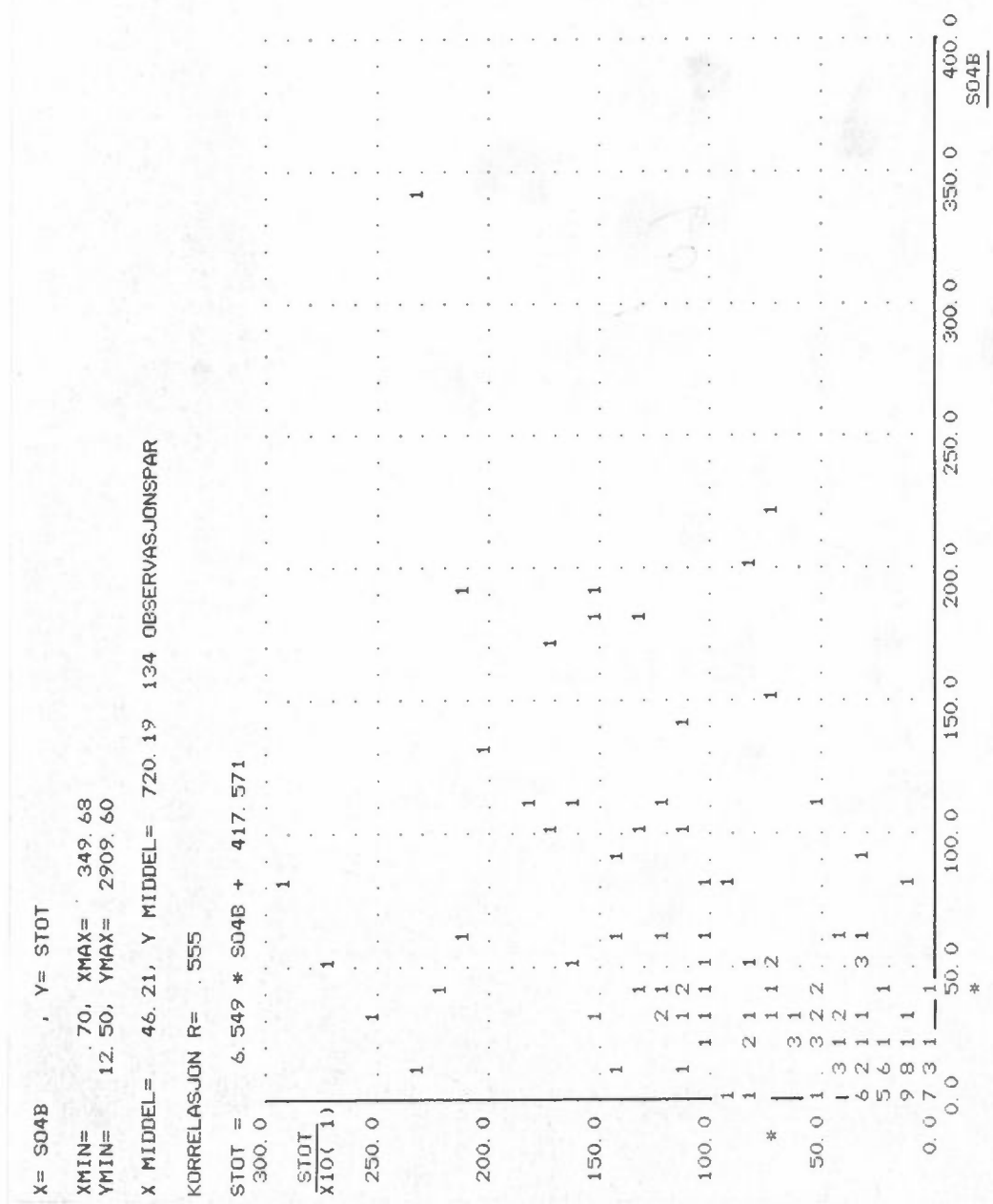
Figur 56:



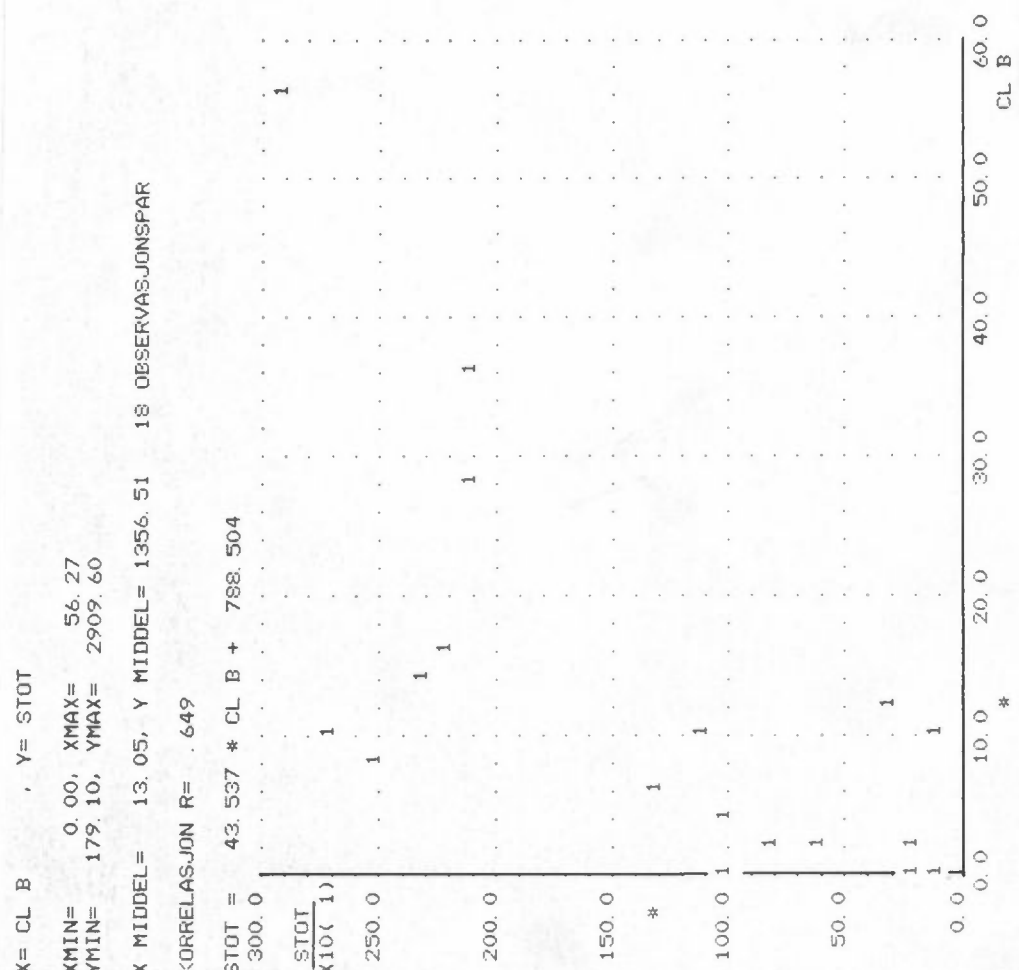
Figur 57:



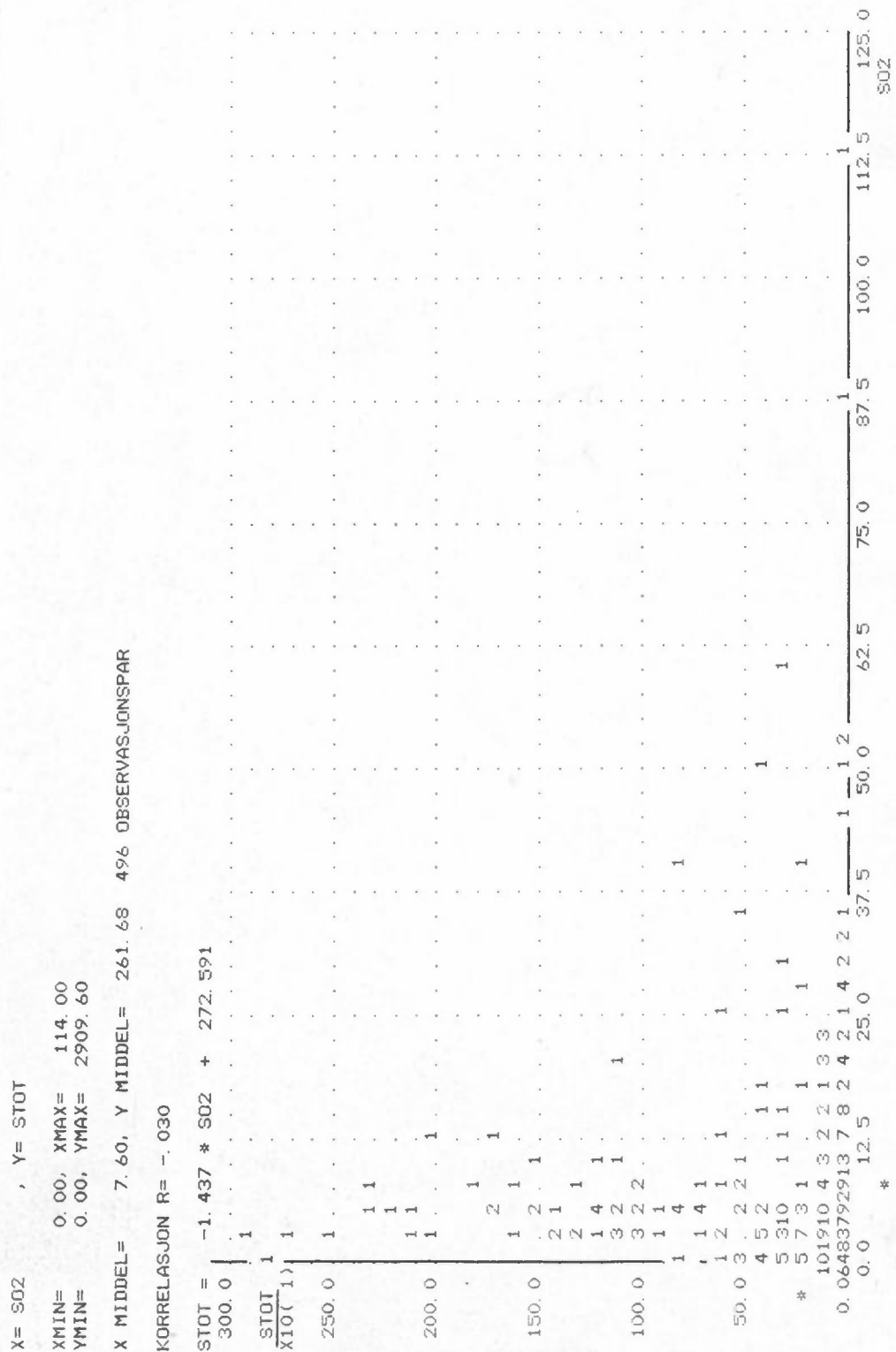
Figur 58:



Figur 59:



Figur 60:



Figur 61:

Tabell 16.

MULREG DOGNDATA BIRKENES

\*\*\* REG \*\*\*

\*\*\*\*\*  
98 DATASETT

MIDDELVERDI, MAKSUMUM OG STANDARD AVVIK

STOT	TMID	T<0	F>90	TNED	MMOE	H+	S02	S04L	S04B
872. 810	4. 874	4. 020	17. 051	10. 561	14. 301	83. 102	7. 143	3. 856	56. 595
2909. 600	17. 800	24. 000	24. 000	24. 000	97. 134	376. 000	42. 000	19. 500	349. 682
678. 139	4. 283	7. 081	6. 926	6. 554	15. 494	71. 396	6. 633	3. 182	60. 506
MG B	N03B	NH4B	CA B						
1. 508	7. 767	8. 092	2. 764						
11. 452	39. 252	55. 494	21. 917						
1. 822	8. 794	10. 480	3. 487						

\*\*\*\*\*

KORRELASJONSMATRISSEN:

STOT	TMID	T<0	F>90	TNED	MMOE	H+	S02	S04L	S04B	MG B	N03B	NH4B	CA B	
1. 000	- .155	- .112	.564	.428	.472	.197	- .130	.128	.488	.359	.441	.401	.265	
TMID	- .155	1. 000	-.673	-.337	-.143	-.037	.067	.014	.075	.099	-.176	.034	-.002	.168
T<0	-.112	-.678	1. 000	.239	.040	.015	-.147	.114	-.033	-.102	.162	-.080	.014	-.114
F>90	.564	-.337	.239	1. 000	.517	.461	.130	-.163	.062	.406	.337	.414	.364	.202
TNED	.428	-.143	.040	.517	1. 000	.666	.017	.088	-.015	.510	.466	.428	.385	.311
MMOE	.472	-.037	.015	.461	.666	1. 000	-.183	.107	-.040	.675	.462	.498	.491	.361
H+	.197	.067	-.147	.130	.017	-.183	1. 000	.073	.382	.307	.045	.410	.266	.024
S02	-.130	.014	.114	-.163	.088	.107	.073	1. 000	.395	.181	.183	.200	.240	.166
S04L	.128	.075	-.033	.062	-.015	.040	.382	.395	1. 000	.381	.051	.442	.483	.193
S04B	.488	.099	-.102	.406	.510	.675	.307	.181	.381	1. 000	.397	.879	.862	.542
MG B	.359	-.176	.162	.337	.466	.462	.045	.183	.051	.397	1. 000	.413	.380	.634
N03B	.441	.034	-.080	.414	.428	.498	.410	.200	.442	.879	.413	1. 000	.908	.466
NH4B	.401	-.002	.014	.364	.385	.491	.266	.240	.483	.862	.380	.908	1. 000	.502
CA B	.265	.168	-.114	.202	.311	.361	.024	.166	.193	.542	.634	.466	.502	1. 000
STOT	TMID	T<0	F>90	TNED	MMOE	H+	S02	S04L	S04B	MG B	N03B	NH4B	CA B	

\*\*\*\*\*

REGRESSJONSIGNINGENE:

STOT = -24. 5888*TMID + 992. 6679	R= -. 1553 , RR= . 9759
STOT = -10. 7557*T<0 + 916. 0525	R= -. 1123 , RR= . 9874
STOT = 55. 2064*F>90 + -68. 5147	R= . 5638 , RR= . 6821
STOT = 44. 3166*TNED + 404. 7731	R= . 4283 , RR= . 8166
STOT = 20. 6436*MMOE + 577. 5931	R= . 4717 , RR= . 7775
STOT = 1. 8742*H+ + 717. 0644	R= . 1973 , RR= . 9611
STOT = -13. 2508*S02 + 967. 4587	R= -. 1296 , RR= . 9832
STOT = 27. 3173*S04L + 767. 4712	R= . 1282 , RR= . 9836
STOT = 5. 4652*S04B + 563. 5100	R= . 4876 , RR= . 7622
STOT = 133. 5312*MG B + 671. 4684	R= . 3587 , RR= . 8713
STOT = 33. 9777*N03B + 608. 9050	R= . 4406 , RR= . 8059
STOT = 25. 9415*NH4B + 662. 8807	R= . 4009 , RR= . 8393
STOT = 51. 4540*CA B + 730. 5989	R= . 2646 , RR= . 9300

\*\*\*\*\*

RR=UFORKLART VARIANS/TOTAL VARIANS

Tabell 16 fortsett.

## DE 10 BESTE RELASJONER MED TO VARIABLE:

STOT =	42.	8843*F>90	+	3. 4698*SO4B	+	-54. 7831		R= .6308, RR= .6021
ST. AVIK	8. 5318			9766	143.	4092		
T-TEST	5. 0264			3. 5530	-	3820	OVERGANG FRA F>90 (R= .5638) TIL TO VARIABLE: F= 12. 62** NOBS= 98	
STOT =	-25.	12222*T<0	+	61. 3558*F>90	+	-72. 3669		R= .6187, RR= .6172
ST. AVIK	7. 9504			8. 1289	145.	1528		
T-TEST	-3. 1599			7. 5479	-	4986	OVERGANG FRA F>90 (R= .5638) TIL TO VARIABLE: F= 9. 98** NOBS= 98	
STOT =	43.	0718*F>90	+	11. 7747*MMOE	+	-29. 9946		R= .6123, RR= .6251
ST. AVIK	8. 9485			3. 9999	146.	6532		
T-TEST	4. 8133			2. 9437	-	2045	OVERGANG FRA F>90 (R= .5638) TIL TO VARIABLE: F= 8. 67** NOBS= 98	
STOT =	45.	0698*F>90	+	19. 2829*NO3B	+	-45. 4459		R= .6080, RR= .6303
ST. AVIK	8. 7617			6. 9003	146.	9073		
T-TEST	5. 1440			2. 7945	-	3094	OVERGANG FRA F>90 (R= .5638) TIL TO VARIABLE: F= 8. 61*, RR= .6379	
STOT =	47.	1693*F>90	+	14. 6085*NH4B	+	-49. 6924		R= .6018, RR= .6379
ST. AVIK	8. 6128			5. 6917	147.	7366		
T-TEST	5. 4767			2. 5667	-	3364	OVERGANG FRA F>90 (R= .5638) TIL TO VARIABLE: F= 7. 81** NOBS= 98	
STOT =	48.	9265*F>90	+	70. 8633*MG_B	+	-68. 2859		R= .5916, RR= .6500
ST. AVIK	8. 6021			32. 7031	148.	9483		
T-TEST	5. 6678			2. 1669	-	4585	OVERGANG FRA F>90 (R= .5638) TIL TO VARIABLE: F= 6. 59*, NOBS= 98	
STOT =	45.	7576*F>90	+	19. 3056*TNED	+	-111. 2947		R= .5860, RR= .6566
ST. AVIK	9. 5114			10. 0516	151.	3537		
T-TEST	4. 8108			1. 9267	-	7353	OVERGANG FRA F>90 (R= .5638) TIL TO VARIABLE: F= 4. 70*, NOBS= 98	
STOT =	52.	1017*F>90	+	30. 5941*CA_E	+	-100. 1345		R= .5845, RR= .6534
ST. AVIK	8. 3220			16. 5299	150.	8763		
T-TEST	6. 2697			1. 3508	-	6637	OVERGANG FRA F>90 (R= .5638) TIL TO VARIABLE: F= 3. 69 NOBS= 98	
STOT =	53.	6015*F>90	+	1. 1994*H+	+	-140. 8253		R= .5776, RR= .6664
ST. AVIK	8. 2709			8. 023	158.	3688		
T-TEST	6. 4807			1. 4948	-	3881	OVERGANG FRA F>90 (R= .5638) TIL TO VARIABLE: F= 3. 43 NOBS= 98	
STOT =	54.	6356*F>90	+	19. 3834*SO4L	+	-135. 4752		R= .5715, RR= .6734
ST. AVIK	8. 2601			17. 9801	163.	2502		
T-TEST	6. 6144			1. 1061	-	8299	OVERGANG FRA F>90 (R= .5638) TIL TO VARIABLE: F= 1. 22 NOBS= 98	

Tabell 16 forts.

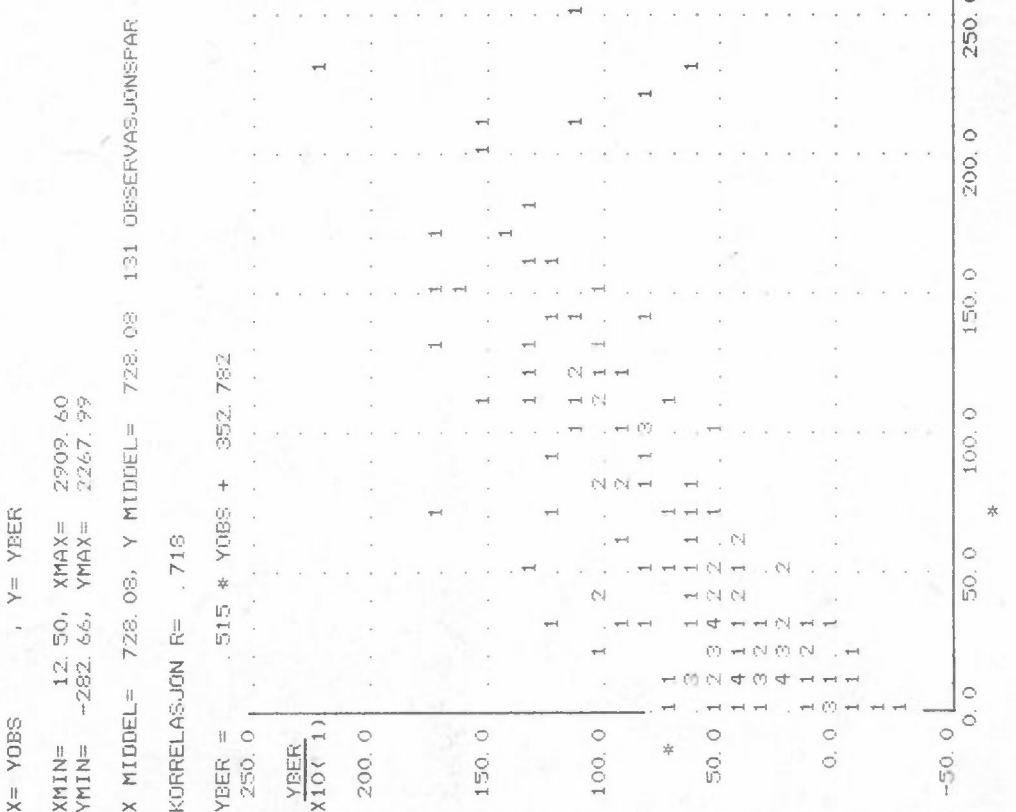
DE 10 BESTE RELASJONER MED TRE VARIABLE:

STOT = -19. 8574*T<0	+ 49. 7149*F>90	+ 2. 9151*SD4B + -60. 0233	R= .6606, RR= .5636
ST. AVVIK 7. 8378	8. 7254	.9748	139. 5016
T-TEST -2. 5335	5. 6977	2. 9605	-.4303
		OVERGANG FRA F>90 OG SD4B (R=	
STOT = -22. 3020*T<0	+ 49. 9490*F>90	+ 10. 5175*MMOE + -37. 6040	R= .6540, RR= .5723
ST. AVVIK 7. 7434	8. 9189	3. 8712	141. 0918
T-TEST -2. 9447	5. 6003	2. 7168	-.2665
		OVERGANG FRA T<0 OG F>90 (R=	
STOT = -26. 9186*T<0	+ 54. 6504*F>90	+ 80. 5135*MG_B + -72. 3824	R= .6511, RR= .5761
ST. AVVIK 7. 7527	8. 3072	31. 0761	140. 9761
T-TEST -3. 4721	6. 5799	2. 5908	-.5134
		OVERGANG FRA T<0 OG F>90 (R=	
STOT = -23. 6033*T<0	+ 53. 6841*F>90	+ 13. 2686*NH4B + -55. 0381	R= .6187, TIL TRE VARIABLE: F= 7. 38**
ST. AVVIK 7. 7796	8. 5377	5. 4785	141. 7532
T-TEST -3. 0340	6. 2879	2. 4219	-.3683
		OVERGANG FRA T<0 OG F>90 (R=	
STOT = -21. 4460*T<0	+ 52. 2865*F>90	+ 15. 5406*NO3B + -53. 2114	R= .6442, RR= .5850
ST. AVVIK 7. 9456	8. 8969	6. 8252	142. 3067
T-TEST -2. 6987	5. 8769	2. 2770	-.3739
		OVERGANG FRA T<0 OG F>90 (R=	
STOT = 37. 5297*F>90	+ 14. 5824*MMOE	+ 1. 9798*HH+	+ -140. 1741 R= .6437, TIL TRE VARIABLE: F= 5. 87*
ST. AVVIK 8. 9814	4. 0488	.7865	149. 2629
T-TEST 4. 1766	3. 6017	2. 5171	-.9391
		OVERGANG FRA F>90 OG MMDE (R=	
STOT = 39. 3571*F>90	+ -12. 9844*SU2	+ 3. 8919*SD4B + 74. 2133	R= .6422, RR= .5876
ST. AVVIK 8. 7835	8. 5201	1. 0086	165. 6761
T-TEST 4. 4808	-1. 5340	3. 8586	4479
		OVERGANG FRA F>90 OG SD4B (R=	
STOT = -38. 0417*TMID	+ -39. 7010*T<0	+ 56. 9994*F>90 + 245. 9596	R= .6419, RR= .5879
ST. AVVIK 17. 5703	10. 3047	8. 2254	204. 6913
T-TEST -2. 1651	-3. 8527	6. 9296	1. 2016
		OVERGANG FRA T<0 OG F>90 (R=	
STOT = 40. 6298*F>90	+ 3. 0872*SD4B	+ 40. 7704*MG_E + -56. 1655	R= .6384, RR= .5924
ST. AVVIK 8. 7007	1. 0217	32. 9297	143. 0130
T-TEST 4. 6697	3. 0216	1. 2381	-.3927
		OVERGANG FRA F>90 OG SD4B (R=	
STOT = 40. 2312*F>90	+ 5. 3101*MMOE	+ 2. 6759*SD4B + -40. 5533	R= .6366, RR= .5947
ST. AVVIK 8. 6697	4. 9073	1. 2208	143. 2825
T-TEST 4. 5358	1. 0621	2. 1920	-.2818
		OVERGANG FRA F>90 OG SD4B (R=	
		OVERGANG FRA F>90 OG SD4B (R=	

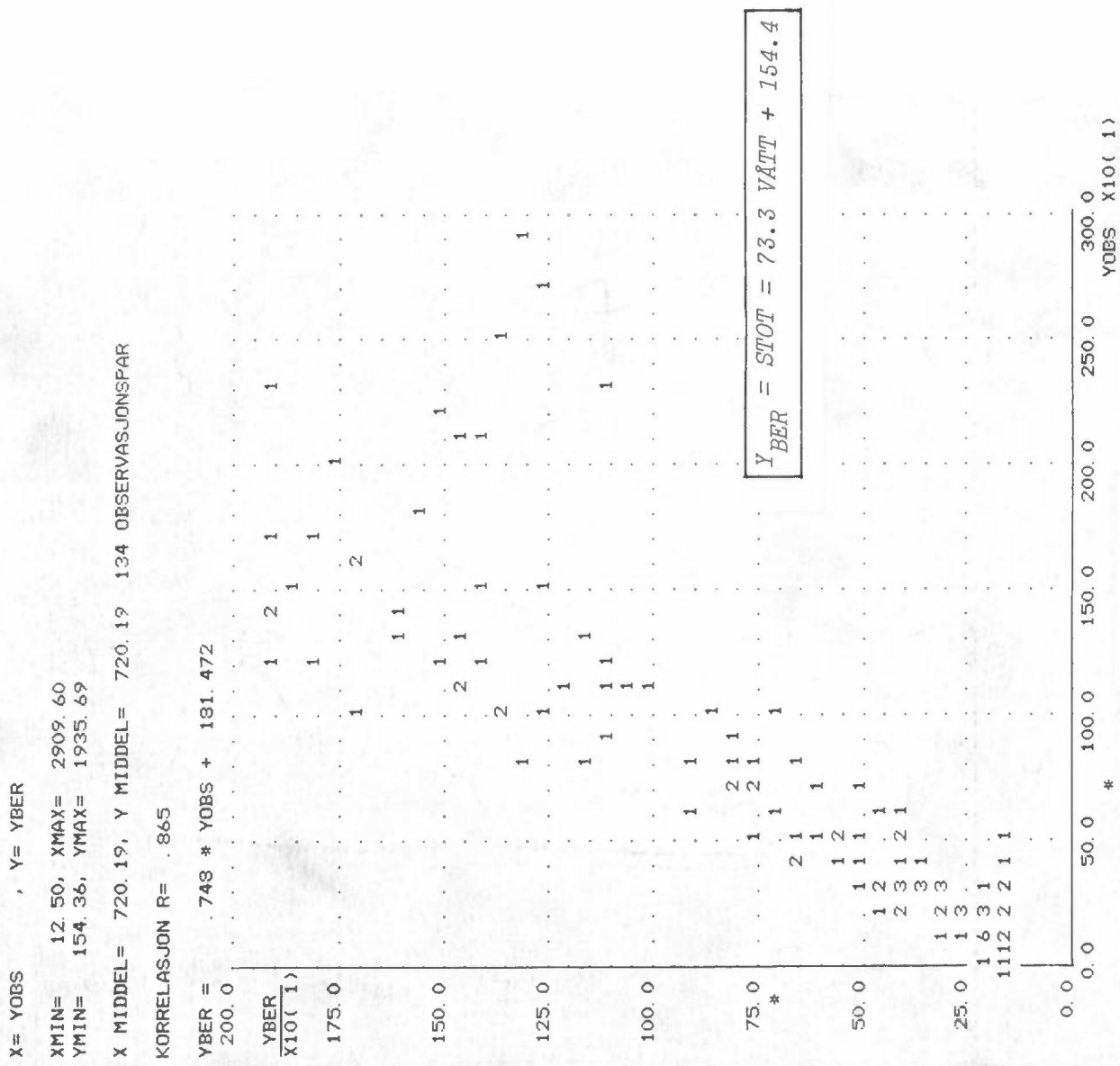
Tabell 16 forts.

## DE 10 BESTE RELASJONER MED FIRE VARIABLE:

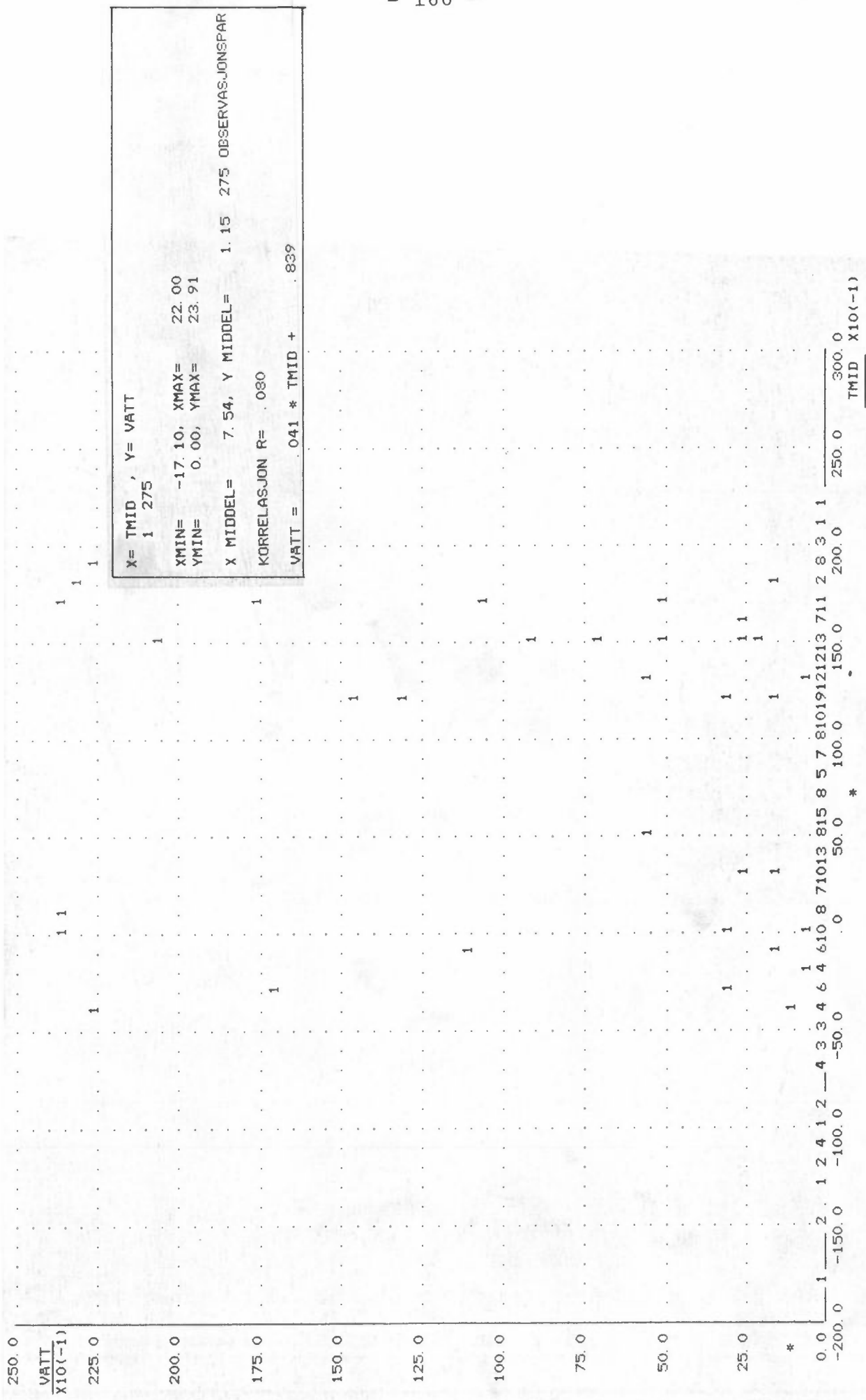
STOT = -43. 4130*T MID + -37. 5521*T <0 + 42. 2722*F>90 + 3. 3905*S04B + 347. 1021 R= . 6946, RR= . 5176
ST. AVVIK 16. 3285 9. 7321 8. 7952 9535 195. 1665
T-TEST -2. 8768 -3. 8558 4. 8063 3. 5557 1. 7785
OVERGANG FRA T<0 , F>90 0G S04B (R= . 6606) TIL FIRE VARIABLE: F= 8. 28**
STOT = -42. 7103*T MID + -38. 9775*T <0 + 44. 1110*F>90 + 11. 3906*MMDE + 322. 6788 R= . 6814, RR= . 5356
ST. AVVIK 16. 9321 9. 8917 3. 9783 3. 7812 196. 0724
T-TEST -2. 5225 -3. 9404 4. 9130 3. 0124 1. 6291
OVERGANG FRA T<0 , F>90 0G MMDE (R= . 6540) TIL FIRE VARIABLE: F= 6. 36*
STOT = -43. 3568*T MID + -40. 0437*T <0 + 47. 8334*F>90 + 14. 8005*NH4B + 303. 7653 R= . 6757, RR= . 5434
ST. AVVIK 17. 0911 9. 9606 8. 6155 5. 3608 199. 1862
T-TEST -2. 5368 -4. 0202 5. 5520 2. 7609 1. 5552
OVERGANG FRA T<0 , F>90 0G NH4B (R= . 6473) TIL FIRE VARIABLE: F= 6. 44*
STOT = -22. 1798*T <0 + 47. 4078*F>90 + 2. 3231*S04B + 56. 1701*MG B + -62. 5408 R= . 6739, RR= . 5458
ST. AVVIK 7. 8681 8. 7335 1. 0225 32. 2426 136. 0232
T-TEST -2. 8139 5. 4283 2. 2720 1. 7421 -. 4531
OVERGANG FRA T<0 , F>90 0G S04B (R= . 6606) TIL FIRE VARIABLE: F= 3. 03
STOT = -37. 3285*T MID + -41. 2002*T <0 + 50. 4747*F>90 + 79. 4437*MG B + 239. 9765 R= . 6724, RR= . 5479
ST. AVVIK 17. 0545 10. 0175 8. 3661 30. 4718 198. 6704
T-TEST -2. 1886 -4. 1128 6. 0333 2. 6071 1. 2079
OVERGANG FRA T<0 , F>90 0G MG B (R= . 6511) TIL FIRE VARIABLE: F= 4. 79*
STOT = -42. 1903*T MID + -37. 2473*T <0 + 46. 5489*F>90 + 17. 0935*NO3B + 301. 7446 R= . 6714, RR= . 5492
ST. AVVIK 17. 1502 10. 0591 8. 9754 6. 6787 200. 0937
T-TEST -2. 4660 -3. 7028 5. 1863 2. 5594 1. 5080
OVERGANG FRA T<0 , F>90 0G NO3B (R= . 6442) TIL FIRE VARIABLE: F= 6. 05*
STOT = -19. 3404*T <0 + 44. 5882*F>90 + 12. 8953*MMDE + 1. 5421*HH + -122. 2674 R= . 6711, RR= . 5496
ST. AVVIK 7. 8302 9. 2022 4. 0020 1. 7863 145. 5515
T-TEST -2. 4700 4. 8454 3. 2222 1. 9613 -. 8400
OVERGANG FRA T<0 , F>90 0G MMDE (R= . 6540) TIL FIRE VARIABLE: F= 3. 85
STOT = -24. 6621*T <0 + 48. 1594*F>90 + 7. 8202*MMDE + 56. 6982*MG B + -46. 5301 R= . 6672, RR= . 5549
ST. AVVIK 7. 7421 8. 8909 4. 1441 33. 1570 139. 7671
T-TEST -3. 1854 5. 4167 1. 8870 1. 7100 -. 3329
OVERGANG FRA T<0 , F>90 0G MMDE (R= . 6540) TIL FIRE VARIABLE: F= 2. 92
STOT = -20. 1540*T <0 + 46. 9692*F>90 + 5. 6998*MMDE + 2. 0546*S04B + -44. 8275 R= . 6670, RR= . 5551
ST. AVVIK 7. 8240 9. 0036 4. 7689 1. 2100 139. 7642
T-TEST -2. 5759 5. 2167 1. 1952 1. 6980 -. 3207
OVERGANG FRA T<0 , F>90 0G S04B (R= . 6606) TIL FIRE VARIABLE: F= 1. 43
STOT = -25. 4049*T <0 + 50. 3587*F>90 + 63. 4415*MG B + 9. 8955*NH4B + -59. 4556 R= . 6650, RR= . 5578
ST. AVVIK 7. 7182 8. 5787 32. 2572 5. 6628 139. 6570
T-TEST -3. 2916 5. 8702 1. 9667 1. 7475 -. 4257
OVERGANG FRA T<0 , F>90 0G MG B (R= . 6511) TIL FIRE VARIABLE: F= 3. 05



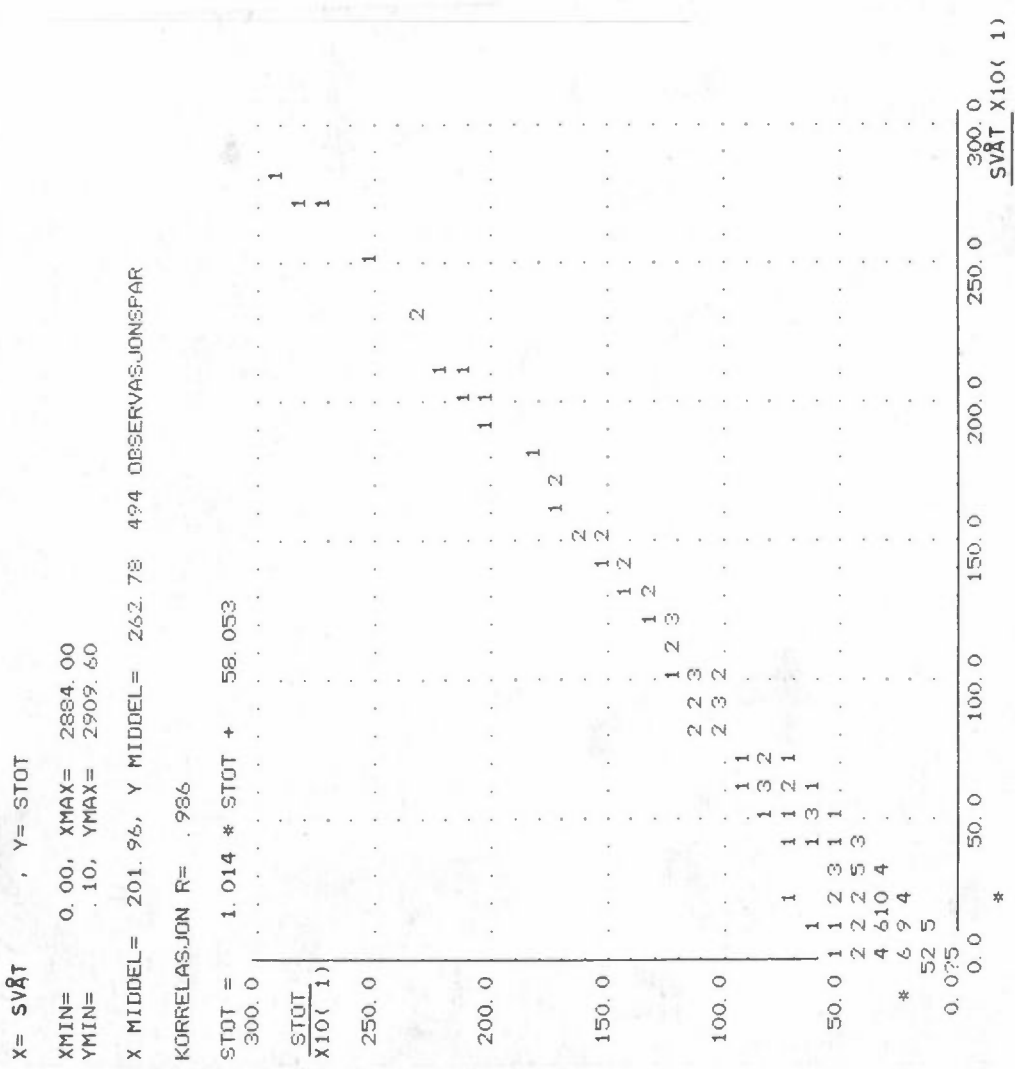
Figur 62:



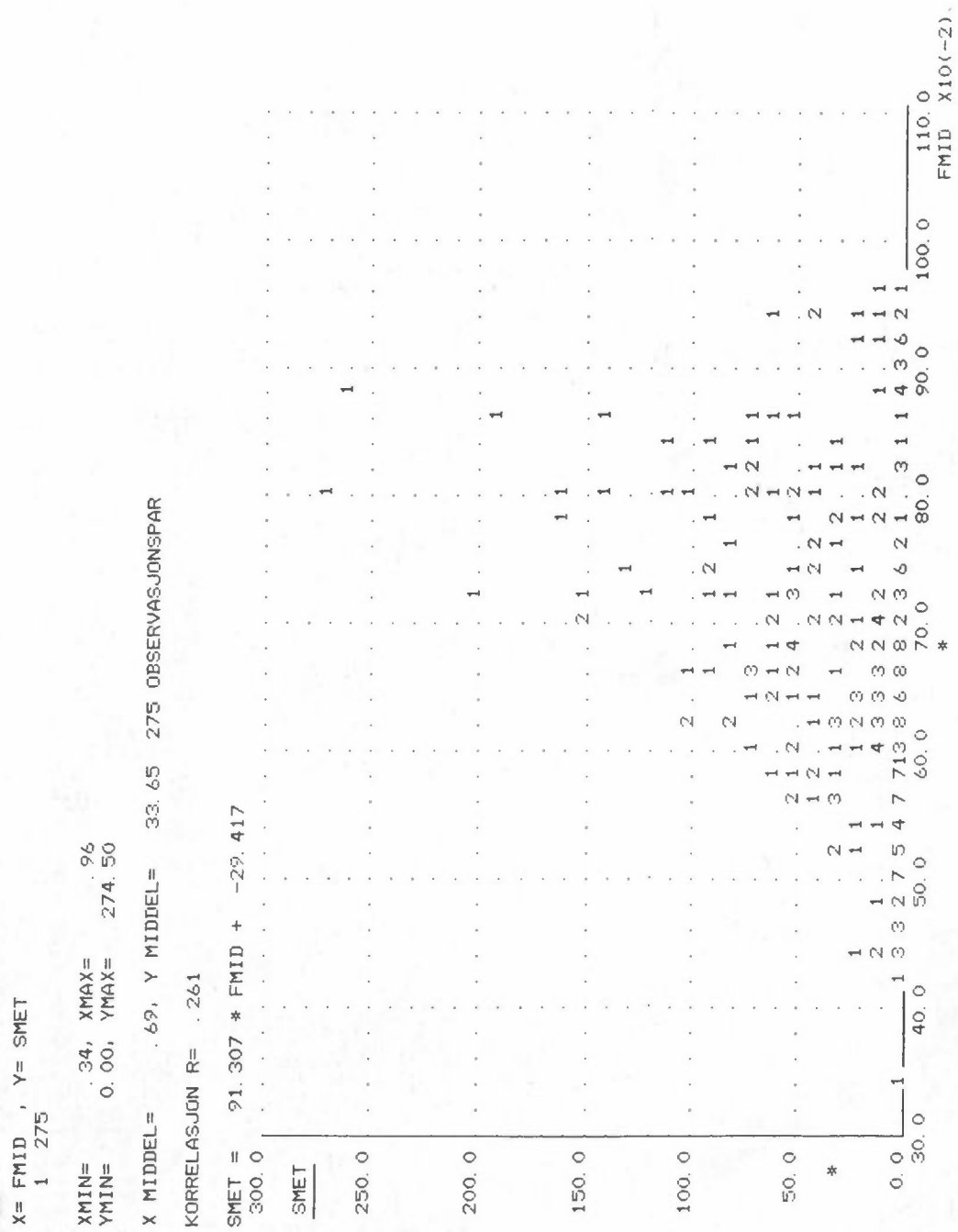
Figur 63:



Figur 64:



Figur 65:



Figur 66:

Tabell 17.

MULREG DØGNDATA BIRKENES

\*\*\* REG \*\*\*

\*\*\*\*\*  
112 DATASETT

MIDDELVERDI, MAKSIMUM OG STANDARD AVVIK

VATT	TMID	T<0	F>90	TNED	MMOE	H+	SO2	SO4L
8. 513	4. 837	4. 152	16. 661	9. 759	12. 731	86. 402	7. 491	3. 963
24. 310	17. 800	24. 000	24. 000	24. 000	97. 134	376. 000	51. 000	19. 500
7. 770	4. 477	7. 106	6. 976	6. 532	15. 077	73. 864	7. 754	3. 445

\*\*\*\*\*

KORRELASJONSMATRISEN:

VATT	1. 000	-. 107	-. 132	. 619	. 621	. 619	. 141	-. 129	. 124
TMID	-. 107	1. 000	-. 675	-. 329	-. 106	-. 026	. 031	. 021	. 132
T<0	-. 132	-. 675	1. 000	. 225	. 026	. 002	-. 175	. 073	-. 115
F>90	. 619	-. 329	. 225	1. 000	. 489	. 453	. 153	-. 192	. 026
TNED	. 621	-. 106	. 026	. 489	1. 000	. 693	-. 027	. 024	-. 044
MMOE	. 619	-. 026	. 002	. 453	. 693	1. 000	-. 192	. 047	-. 058
H+	. 141	. 031	-. 175	. 153	-. 027	-. 192	1. 000	. 064	. 410
SO2	-. 129	. 021	. 073	-. 192	. 024	. 047	. 064	1. 000	. 409
SO4L	. 124	. 132	-. 115	. 026	-. 044	-. 058	. 410	. 409	1. 000
VATT	TMID	T<0	F>90	TNED	MMOE	H+	SO2	SO4L	

\*\*\*\*\*

REGRESSJONSIGNINGENE:

VATT =	-. 1856*TMID +	9. 4109	R= -. 1069 , RR= . 9886
VATT =	-. 1446*T<0 +	9. 1136	R= -. 1322 , RR= . 9825
VATT =	. 6899*F>90 +	-2. 9803	R= . 6193 , RR= . 6164
VATT =	. 7385*TNED +	1. 3060	R= . 6209 , RR= . 6145
VATT =	. 3190*MMOE +	4. 4524	R= . 6190 , RR= . 6169
VATT =	. 0148*H+ +	7. 2327	R= . 1409 , RR= . 9801
VATT =	-. 1292*SO2 +	9. 4810	R= -. 1289 , RR= . 9834
VATT =	. 2808*SO4L +	7. 4005	R= . 1245 , RR= . 9845

RR=UFORKLART VARIANS/TOTAL VARIANS

DE 10 BESTE RELASJONER, TOTALT SETT:

TNED =	. 3001*MMOE +	5. 9386	R= . 6926 , RR= . 5203
TMID =	-. 4250*T<0 +	6. 6010	R= -. 6745 , RR= . 5450
VATT =	. 7385*TNED +	1. 3060	R= . 6209 , RR= . 6145
VATT =	. 6899*F>90 +	-2. 9803	R= . 6193 , RR= . 6164
VATT =	. 3190*MMOE +	4. 4524	R= . 6190 , RR= . 6169
F>90 =	. 5217*TNED +	11. 5699	R= . 4885 , RR= . 7614
F>90 =	. 2095*MMOE +	13. 9942	R= . 4527 , RR= . 7951
H+ =	8. 8008*SO4L +	51. 5208	R= . 4104 , RR= . 8316
SO2 =	. 9204*SO4L +	3. 8430	R= . 4089 , RR= . 8328
TMID =	-. 2113*F>90 +	8. 3569	R= -. 3292 , RR= . 8916

Tabell 17 forts.

DE 10 BESTE RELASJONER MED TO VARIABLE:

VATT = ST. AVVIK T-TEST	. 4751*F>90 + . 0822 . 5. 7783	. 2195*MMOE + . 0380 . 5. 7691	. -2. 1965 . 1. 3303 . -1. 6511	R= . 7265, RR= . 4722
VATT = ST. AVVIK T-TEST	. 4623*F>90 + . 0850 . 5. 4390	. 4974*TNEDE + . 0908 . 5. 4792	. -4. 0432 . 1. 3528 . -2. 9688	R= . 7188, RR= . 4833
VATT = ST. AVVIK T-TEST	. -3131*T<0 + . 0789 . -3. 9685	. 7617*F>90 + . 0804 . 9. 4783	. -2. 8777 . 1. 4135 . -2. 0359	R= . 6793, RR= . 5386
VATT = ST. AVVIK T-TEST	. 4394*TNEDE + . 1167 . 3. 7653	. 1871*MMOE + . 0506 . 3. 7011	. 1. 2430 . 1. 9977 . 1. 8471	R= . 6739, RR= . 5459
VATT = ST. AVVIK T-TEST	. 3457*MMOE + . 0372 . 9. 2948	. 0284*H+ + . 0076 . 3. 7384	. 1. 6600 . 1. 0363 . 1. 6019	R= . 6732, RR= . 5463
VATT = ST. AVVIK T-TEST	. 7436*TNEDE + . 0875 . 8. 4971	. 0166*H+ + . 0077 . 2. 1446	. -7. 1775 . 1. 2373 . -1. 1435	R= . 6406, RR= . 5876
VATT = ST. AVVIK T-TEST	. 3238*MMOE + . 0380 . 3. 5189	. 3634*SOAL + . 1664 . 2. 1842	. 2. 9504 . 1. 0152 . 2. 9061	R= . 6395, RR= . 5910
VATT = ST. AVVIK T-TEST	. 7465*TNEDE + . 0877 . 8. 5125	. 3432*SD4L + . 1663 . 2. 0637	. -1. 1322 . 1. 2415 . -1. 1065	R= . 6392, RR= . 5914
VATT = ST. AVVIK T-TEST	. 32228*MMOE + . 0380 . 8. 4906	. 1585*SO2 + . 0739 . -2. 1446	. 5. 5914 . 1. 9169 . 6. 0980	R= . 6388, RR= . 5919
VATT = ST. AVVIK T-TEST	. -1. 1625*T<0 + . 0806 . -2. 0151	. 7432*TNEDE + . 0877 . 8. 4722	. 1. 9354 . 1. 0747 . 1. 8008	R= . 6384, RR= . 5924
		OVERGANG FRA TNED (R= . 6209)	OVERGANG FRA MMDE (R= . 6209)	OVERGANG FRA MMDE (R= . 6209)
		TIL TO VARIABLE: F= . 33. 28** NOBS= 112	TIL TO VARIABLE: F= . 29. 58** NOBS= 112	TIL TO VARIABLE: F= . 15. 75** NOBS= 112

Tabel 17 forts.

DE 10 BESTE RELASJONER MED TRE VARIABLE:

VATT = ST. AVVIK T-TEST	- 2675*T<0 + 0701 -3. 8140	5521*F>90 + 0801 6. 8898	. 2036*MMOE + 0361 5. 6366	-2. 1656 R= . 7641, RR= . 4162
VATT = ST. AVVIK T-TEST	- 2754*T<0 + 0706 -3. 8983	5406*F>90 + 0824 6. 5579	. 4644*TNED + 0858 5. 4121	-3. 8825 R= . 7592, RR= . 4237
VATT = ST. AVVIK T-TEST	- 4153*F>90 + 0832 4. 9920	2903*TNED + 1098 2. 6432	. 1449*MMOE + 0466 3. 1119	-3. 0632 R= . 7460, RR= . 4435
VATT = ST. AVVIK T-TEST	- 4157*F>90 + 0833 4. 9890	2494*MMOE + 0388 6. 4254	. 0186*H+ 0071 2. 6023	-3. 1952 R= . 7454, RR= . 4444
VATT = ST. AVVIK T-TEST	- 4649*F>90 + 0810 5. 7358	2258*MMOE + 0375 6. 0134	. 3138*S04L + 1466 2. 1402	-3. 3499 R= . 7396, RR= . 4530
VATT = ST. AVVIK T-TEST	- 4531*F>90 + 0840 5. 3963	5092*TNED + 0897 5. 6753	. 2993*S04L + 1485 2. 0157	-5. 1904 R= . 7309, RR= . 4658
VATT = ST. AVVIK T-TEST	- 4539*F>90 + 0847 5. 3615	2256*MMOE + 0385 5. 8640	. 0712*S02 + 0680 -1. 0473	-1. 3877 R= . 7297, RR= . 4675
VATT = ST. AVVIK T-TEST	- 0888*TMID + 1226 7244	4979*F>90 + 0882 5. 6458	. 2154*MMOE + 0385 5. 5892	-2. 9530 R= . 7281, RR= . 4699
VATT = ST. AVVIK T-TEST	- 4400*F>90 + 0862 5. 1010	5120*TNED + 0911 5. 6231	. 0097*H+ 0071 1. 3634	-4. 6506 R= . 7245, RR= . 4751
VATT = ST. AVVIK T-TEST	- 1446*TMID + 1224 1. 1810	4962*F>90 + 0896 5. 5404	. 4902*TNED + 0908 5. 3979	-5. 2363 R= . 7231, RR= . 4771
		OVERGANG FRA F>90 OG MMOE (R= . 7265) TIL TRE VARIABLE: F= 14. 55**		
		OVERGANG FRA F>90 OG TNED (R= . 7188) TIL TRE VARIABLE: F= 15. 20**		
		OVERGANG FRA F>90 OG MMOE (R= . 7265) TIL TRE VARIABLE: F= 6. 99**		
		OVERGANG FRA F>90 OG MMOE (R= . 7265) TIL TRE VARIABLE: F= 6. 77*		
		OVERGANG FRA F>90 OG MMOE (R= . 7265) TIL TRE VARIABLE: F= 4. 58*		
		OVERGANG FRA F>90 OG MMOE (R= . 7265) TIL TRE VARIABLE: F= 4. 06*		
		OVERGANG FRA F>90 OG MMOE (R= . 7265) TIL TRE VARIABLE: F= 1. 10		
		OVERGANG FRA F>90 OG MMOE (R= . 7265) TIL TRE VARIABLE: F= . 52		
		OVERGANG FRA F>90 OG TNED (R= . 7188) TIL TRE VARIABLE: F= 1. 86		
		OVERGANG FRA F>90 OG TNED (R= . 7188) TIL TRE VARIABLE: F= 1. 39		

Tabel 17 forte.

DE 10 BESTE RELASJONER MED FIRE VARIABLE:

VATT =	-	2609*T<0	+	4933*F>90	+	2759*TNED	+	1331*MMOE	+	-3.0090	R=	.7808, RR=	.3903
ST. AVVIK	.	0683	+	0810	.	1036	.	0440	.	1.2611			
T-TEST	-3.	8206		6. 0389	OVERGANG FRA T<0 ,	F>90 OG MMDE (R=	3. 0259	-2.	3861				
VATT =	-	3367*TMID	+	4000*T<0	+	5039*F>90	+	2112*MMOE	+	.7185	R=	.7765, RR=	.3971
ST. AVVIK	.	1484	+	0903	.	0814	.	0356	.	1.7699			
T-TEST	-2.	2664		-4. 4312	OVERGANG FRA T<0 ,	F>90 OG MMDE (R=	5. 9315	4059					
VATT =	-	2339*T<0	+	5025*F>90	+	2257*MMOE	+	0125*H+	+	-2.8392	R=	.7717, RR=	.4045
ST. AVVIK	.	0721	+	0842	.	0379	.	0071	.	1.3007			
T-TEST	-3.	2461		5. 9662	OVERGANG FRA T<0 ,	F>90 OG MMDE (R=	1. 7550	-2.	1829				
VATT =	-	2509*T<0	+	5393*F>90	+	2095*MMOE	+	2459*S04L	+	-3.0714	R=	.7716, RR=	.4046
ST. AVVIK	.	0701	+	0797	.	0359	.	1405	.	1.3463			
T-TEST	-3.	5787		6. 7655	OVERGANG FRA T<0 ,	F>90 OG MMDE (R=	1. 7504	-2.	2815				
VATT =	-	2566*TMID	+	3776*T<0	+	5097*F>90	+	4643*TNED	+	-1.7054	R=	.7665, RR=	.4125
ST. AVVIK	.	1506	+	0922	.	0837	.	0851	.	1.7959			
T-TEST	-1.	7040		-4. 0950	OVERGANG FRA T<0 ,	F>90 OG TNED (R=	5. 4650	-9496					
VATT =	-	2602*T<0	+	5292*F>90	+	4753*TNED	+	2305*S04L	+	-4.7747	R=	.7658, RR=	.4135
ST. AVVIK	.	0707	+	0821	.	0854	.	1.4118	.	1.3776			
T-TEST	-3.	6789		6. 4438	OVERGANG FRA T<0 ,	F>90 OG TNED (R=	1. 6254	-3.	4659				
VATT =	-	2617*T<0	+	5393*F>90	+	2072*MMOE	+	0372*S02	+	-1.7434	R=	.7649, RR=	.4149
ST. AVVIK	.	0711	+	0834	.	0368	.	0650	.	1.4586			
T-TEST	-3.	6824		6. 4653	OVERGANG FRA T<0 ,	F>90 OG MMDE (R=	5. 5726	-1.	1953				
VATT =	-	3648*F>90	+	2688*TNED	+	1781*MMOE	+	0172*H+	+	-3.9399	R=	.7616, RR=	.4199
ST. AVVIK	.	0639	+	1077	.	0475	.	0070	.	1.3538			
T-TEST	4.	3492		2. 4953	OVERGANG FRA F>90 ,	TNED OG MMDE (R=	3. 7504	-2.	9103				
VATT =	-	2660*T<0	+	5292*F>90	+	4713*TNED	+	0038*H+	+	-4.1275	R=	.7599, RR=	.4225
ST. AVVIK	.	0729	+	0853	.	0870	.	0069	.	1.3521			
T-TEST	-3.	6513		6. 2047	OVERGANG FRA T<0 ,	F>90 OG TNED (R=	5. 4180	-3.	0526				
VATT =	-	2711*T<0	+	5309*F>90	+	4701*TNED	+	0287*S02	+	-3.5794	R=	.7597, RR=	.4229
ST. AVVIK	.	0716	+	0857	.	0871	.	0654	.	1.4531			
T-TEST	-3.	7866		6. 1949	OVERGANG FRA T<0 ,	F>90 OG TNED (R=	5. 3950	-2.	4633				